

784-8
1989



საქართველოს სსრ მეცნიერებათა აკადემიის მაცნე
ИЗВЕСТИЯ АКАДЕМИИ НАУК ГРУЗИНСКОЙ ССР
PROCEEDINGS OF THE ACADEMY OF SCIENCES
OF THE GEORGIAN SSR

გიორგი თავაშვილი
სერია
БИОЛОГИЧЕСКАЯ

1989 N6 · თავი 15 · მაცნე
ТБИЛИСИ · ТОМ 15 · TBILISI VOL.

15

СПИСОК РАЗДЕЛОВ БИОЛОГИИ, ПО КОТОРЫМ ПРИНИМАЮТСЯ СТАТЬИ

Теоретическая биология
Физиология человека и животных (норм. и патол.)
Морфология
 Анатомия
 Эмбриология и гистология
 Цитология
 Патологическая морфология
Биохимия
Фармакология
Ботаника (экспер. и теорет.)
Физиология растений
Зоология (экспер. и теорет.)
Энтомология
Паразитология
Гельминтология
Палеобиология
Биогеоценология
Экология
Микробиология
Вирусология
Иммунология
Генетика
Радиobiология
Биофизика
Молекулярная биология
Бионика и биокибернетика

**საქართველოს სსრ მეცნიერებათა აკადემიის მაცნე
(Сакартвелос ССР мецниеребата академииис мацнე
биологиис серия)**

ИЗВЕСТИЯ АКАДЕМИИ НАУК ГРУЗИНСКОЙ ССР



**ბ ი ლ ლ ი გ ა ლ ე ს ე რ ი ა
СЕРИЯ БИОЛОГИЧЕСКАЯ**

**ტომი 15, № 6
Том**

**ეურნალი დაარსებულია 1975 წლის იანვარში
Журнал основан в январе 1975 года
გამოდის წელიწადში 6-ჯერ
Выходит 6 раз в год**

**თბილისი
ТБИЛИСИ**

**„მეცნიერება“
«МЕЦНИЕРЕБА»**

● 1989

სარედაქციო ორგანიზაცია:

მთავარი რედაქტორი გ. იურავა

მთავარი რედაქტორის მოადგილე თ. ლიხანი

სწავლული მდივანი გ. ბეჭაძა

ლ. გაბუნია, მ. ზაალიშვილი, გ. თუმანიშვილი, გ. ქანდელაკი,

ა. ნადარეიშვილი, გ. ნახუცენიშვილი, გ. სანაძე, ბ. ყურაშვილი, თ. ჭანიშვილი,

ხ. ჯვახიშვილი

პასუხისმგებელი მდივანი ს. ლაბაძე

РЕДАКЦИОННАЯ КОЛЛЕГИЯ:

Главный редактор В. М. Окуджава

Зам. главного редактора Т. Н. Онiani

Ученый секретарь Г. Л. Бекая

Л. К. Габуния, Н. А. Джавахишвили, М. М. Заалишвили, Г. В. Канделаки, Б. Е. Курашвили, К. Ш. Надарейшвили, Г. Ш. Нахутишвили, Г. А. Санадзе, Г. Д. Туманишвили, Т. Г. Чанишвили

Ответственный секретарь С. Р. Лабадзе

EDITORIAL BOARD:

Editor-in-Chief V. M. Okujava

Associate Editor T. N. Oniani

Editorial Secretary G. L. Bekaya

T. G. Chanishvili, N. A. Djavakhishvili,

L. K. Gabunia, G. V. Kandelaki, B. E. Kurashvili,

K. Sh. Nadareishvili, G. Sh. Nakhutsrishvili,

G. A. Sanadze, G. D. Tumanishvili, M. M. Zaalishvili

Executive Secretary S. R. Labadze

რედაქციის მისამართი:

380060, თბილისი-60, ქუთუმბოვის ქ. 19,

ტელ. 37-86-78

Адрес редакции:

380060, Тбилиси-60, ул. Кутузова, 19,

тел. 37-86-78

СОДЕРЖАНИЕ—ЗОБЗАМЕНО—CONTENTS





ГАУНЦИЗИМ

6. ყიფშიძე, ნ. კარსანოვი, [თ. მანიგადა]. ვ. გუჩა. ინორინის, ოქსი-ბლების და მათი სხვადასხვა კომბინაციის მოქმედება მოუკიდის ენტრიკეტის მომრავებასა და კონტრაქტულ ცილების სისტემის შეკუმშევის უნარზე იმედის ზონისა და გულის ორიშემოტრ უბანში კორონარული არტერიის ოკლუზის დროს. 408
- N. N. Kipshidze, N. V. Karsanov, [T. N. Machitadze], E. I. Guchua. Effect of inosine, oxyfedrine, contrical and their various combinations on energy supply and contractility of myocardial contractile protein system in coronary artery occlusion in ischemic and non ischemic cardiac areas.
- ვ. ი. გოვარდოვსკი, ნ. ი. ჩხეიძე. Фоторецепторы и зрительные пигменты сетчаток некоторых змей. 415
- ვ. გოვარდოვსკი, ნ. ჩხეიძე. ზოგიერთი ველების ბალერის ფოტორეცეპტორები და მხედველობის პიგმენტები.
- V. I. Govardovski, N. I. Chkhcheidze. Retinal photoreceptors and visual pigments in certain snakes.
- ვ. ე. კურაშვილი, ლ. კ. ვერხვაძე, ზ. ვ. ორჯონიქიძე, ნ. ა. მაისურაძე, მ. გ. სხირთაძე, ი. შ. დგებუაძე. Характеристика биологических свойств и чувствительность к антибиотикам грамотрицательных бактерий, выделенных из крови детей раннего возраста. 421
- ვ. ე. კურაშვილი, ლ. კ. ვერხვაძე, ზ. ვ. ორჯონიქიძე, ნ. ა. მაისურაძე, მ. გ. სხირთაძე, ი. შ. დგებუაძე. Characteristics of biological properties and sensitivity to antibiotics of gram-negative bacteria, isolated from the blood of children.
- ა. ი. გოგელია, ნ. შ. თოიძე, ნ. ა. ჯანგულაშვილი, მ. მ. დვამაშვილი, მ. ა. პიროსმანიშვილი, ც. გ. მეგრელიშვილი, მ. შ. ბრეგვაძე. Влияние этианола на хромосомный аппарат человека. 426
- ა. გოგელია, ნ. თოიძე, ნ. ჯანგულაშვილი, მ. დამაშვილი, მ. ფარსმანიშვილი, ც. მეგრელიშვილი, მ. ბრეგვაძე. ეთანოლის გაელვა ადამიანის ქრომოსომულ აპარატზე.
- A. I. Gogelia, N. Sh. Toidze, N. A. Jangulashvili, M. M. Dzamashvili, M. A. Pirosmianiishvili, Ts. G. Megrelishvili, M. A. Bregvadze. Influense of ethanol on the chromosome some apparatus in man.
- Краткие сообщения**
შოთარები
Short Communications
- Ц. ხ. Салия, Г. Г. Жадан, В. Л. Шнурков. Идентификация тепловых переходов в мембранах эритроцитов крыс. 426
- ც. სალია, გ. ჟადანი, ვ. შნურკო. სითბორ გარდაქმნათა იდენტიფიკაცია კორთოვების ერთორციტულ შემსრუნველობის.
- Ts. Kh. Salia, G. G. Zhadani, V. L. Shnurov. Identification of thermal transitions in rat erythrocyte membranes.
- Алфавитный указатель авторов 15 тома. 430

УДК 616.38—001.1 : 616—039 : 612.411

ФИЗИОЛОГИЯ ЧЕЛОВЕКА И ЖИВОТНЫХ

НОВЫЙ МЕТОД ЛИМФОСОРБЦИИ ПРИ ЛЕЧЕНИИ ГНОЙНОГО ПЕРИТОНITA В ЭКСПЕРИМЕНТЕ

Р. Г. Бочоришвили, Г. Д. Иоселиани

Институт экспериментальной и клинической хирургии им. акад. К. Д. Эристави
МЗ ГССР, Тбилиси

19/105
19/6

При лечении гнойного перitonита в эксперименте предложено использование в качестве сорбента для лимфосорбции донорской селезенки. Показана возможность и эффективность детоксикации лимфы донорской селезенкой. Метод биологической лимфосорбции не только не уступает традиционным методам лечения, но и обладает рядом преимуществ, главным из которых является сокращение сроков лечения и выраженная стимуляция неспецифической резистентности организма.

Проблема лечения острого гнойного перитонита одна из самых актуальных и трудноразрешимых в современной медицине [1, 7, 8, 22]. Недовлетворительные результаты, высокая летальность диктуют необходимость постоянного поиска новых и совершенствования существующих методов лечения. В комплексе лечебных мероприятий важное место занимает борьба с интоксикацией. С этой целью, в последние годы, с успехом используются различные методы экстракорпоральной, сорбционной детоксикации организма, из которых теоретически наиболее обоснованным представляется лимфосорбция [6, 10, 12, 13, 14, 17, 19, 22, 23]. Несмотря на явную эффективность, метод не лишен ряда недостатков, существенным из которых является удаление из организма, наряду с токсичными продуктами, и жизненно важных веществ [2, 14].

С целью совершенствования процесса детоксикации лимфы нами предложено использование в качест-

ве сорбента донорской селезенки. Высокая сорбционная активность донорской селезенки (свиной) по отношению к микробам и токсинам показана в многочисленных экспериментальных и клинических исследованиях [4, 9, 15, 18, 25]. Биологическая гемосорбция с использованием донорской селезенки с успехом применяется при различных гноино-септических процессах [9, 20]. Лечебный эффект обусловлен селективностью сорбции, которая не распространяется на «полезные» компоненты крови, а также и тем, что изолированная селезенка способна продуцировать биологически активные вещества, стимулирующие иммунную систему [3].

Исходя из вышеприведенного, основной целью настоящей работы явилось изучение возможности и целесообразности применения донорской селезенки в качестве сорбента для лимфосорбции, т. е. проведения биологической лимфосорбции при лечении острого гнойного перитонита.

МАТЕРИАЛ И МЕТОДЫ ИССЛЕДОВАНИЯ

Было проведено 64 эксперимента на половозрелых беспородных собаках в 4-х сериях. В I контрольной серии (19 собак) воспроизвели гнойный перитонит внутрибрюшинным вве-

дением 24-часовой культуры золотистого стафилококка (штамм № 74).

Во II серии (16 собак) лечение проводили традиционными методами (антибиотики, трансфузионная тера-

ния; лимфосорбция на сорбенте СКН-1К). В III серии (15 собак) проводили биологическую лимфосорбцию аллогенной селезенкой, в IV серии (16 собак) — лимфосорбцию ксеногенной (свиной) селезенкой. Биологическая лимфосорбция отличалась от общепринятой методики лимфосорбции лишь этапом детоксикации лимфы — проводилась перфузия лимфы роликовым насосом через заранее отмытую от крови изолированную донорскую селезенку в течение 45—60 мин. Изучали: динамику клинического состояния, общий анализ крови, лей-

коцитарный индекс интоксикации (ЛИИ), фагоцитарную активность лейкоцитов (ФАЛ), метаболическую активность лейкоцитов (МАЛ) — содержание гликогена и липидов в нейтрофилах, активность миелопероксидазы в нейтрофилах, активность α -глицерофосфатдегидрогеназы (α -ГФДГ) и сукцинатдегидрогеназы (СДГ) в лимфоцитах, содержание среднемолекулярных пептидов (МСМ) в крови и лимфе, количество колоний золотистого стафилококка в крови и лимфе. Срок наблюдения за животными — 30 дней.

РЕЗУЛЬТАТЫ ИССЛЕДОВАНИЯ И ИХ ОБСУЖДЕНИЕ

Результаты исследований в I серии показали, что уже через 24 ч после моделирования развивается тяжелый гнойно-септический процесс, с ярко выраженной картиной «перито-

ми. Клинические проявления тяжелой интоксикации подтверждались высоким лейкоцитозом (до $25-30 \cdot 10^9/l$), нейтрофилезом, выраженной лимфопенией, тромбоцитопенией. ЛИИ повышался до 15—18, уровень МСМ — в 2—3 раза, отмечалась массивная бактериемия. Особенно нужно отметить резкое угнетение неспецифической резистентности, о чем свидетельствует депрессия ФАЛ (рис. 1), а также изменение МАЛ (рис. 2) — угнетение активности α -ГФДГ и СДГ в лимфоцитах, уменьшение активности миелопероксидазы в нейтрофилах, повышение в нейтрофилах содержания гликогена и уменьшение содержания липидов. Именно с угнетением ФАЛ и МАЛ связывают генерализацию хирургической инфекции и развитие летальных септических осложнений при перitonите [8, 16, 23].

Результаты исследований в II, III, IV сериях свидетельствуют об эффективности как традиционных методов, так и метода биологической лимфосорбции. Это подтверждается значительным снижением общей летальности после проведенного лечения до 43,8% во II серии, 40% — в III и 31,3% в IV сериях. В контрольной серии пик летальности приходится на 1—2 сутки после моделирования, а во II, III и IV сериях — на 2—3 сутки. Однако выявилось и то, что степень эффективности и механизмы лечебного воздействия этих методов различны. Особенно было выражено влияние проведенного лечения на лейкоцитарный состав крови. Уже через 24 ч после начала лечения количест-

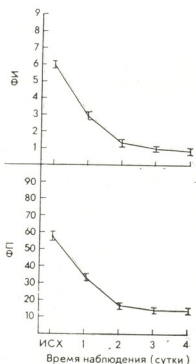


Рис. 1. Изменение ФАЛ (ФП и ФИ) в контрольной серии

неального сепсиса». Летальность составила 84,2%, средняя продолжительность жизни 4 дня. Наблюдалась корреляция между клинической картиной и лабораторными показателями

во лейкоцитов в III серии снизилось на 37%, в IV — на 38%, в то время как во II серии снижение недостоверно. В дальнейшем снижение продолжается, но в III и IV сериях ононосит намного выраженный и резкий характер, чем во II серии и быстрее

водили, — результатом специфического воздействия биологической фагосорбции, что можно объяснить крайней мере, двумя механизмами. Первый механизм — прямое удаление микробов из лимфы донорской селезенкой. Второй, на наш взгляд

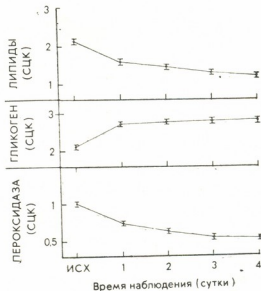
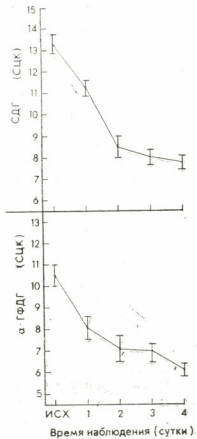


Рис. 2. Изменение МАЛ в контрольной серии: А — активность α -ГФДГ и СДГ в лимфоцитах, Б — активность пероксидазы, а также содержание гликогена и липидов в нейтрофилах; СЦК — средний цитохимический коэффициент

достигает нормы. Уменьшение лейкоцитоза, нейтрофилеза, повышение абсолютного количества лимфоцитов, тромбоцитов, снижение ЛИИ можно интерпретировать как положительный результат проведенного лечения, указывающий на снижение микробной инвазии и токсикоза. Это подтверждается и микробиологическими исследованиями. При этом, если снижение бактериемии во II серии является следствием успешной антибактериальной терапии, то в III и IV сериях, где антибиотикотерапию не про-

известно, — результатом специфического воздействия биологической фагосорбции, что можно объяснить крайней мере, двумя механизмами. Первый механизм — прямое удаление микробов из лимфы донорской селезенкой. Второй, на наш взгляд

особенно существенный механизм, — элиминация микробов из крови и тканей за счет стимуляции неспецифической резистентности. Это предположение подтверждается результатами исследований ФАЛ и МАЛ (рис. 3 и 4). Так, уже через 24 ч после начала лечения фагоцитарный показатель (ФП) как в III, так и в IV серии повышается на 90%, а фагоцитарный индекс (ФИ) в обеих сериях повышается в 1,2—1,3 раза. К этому же

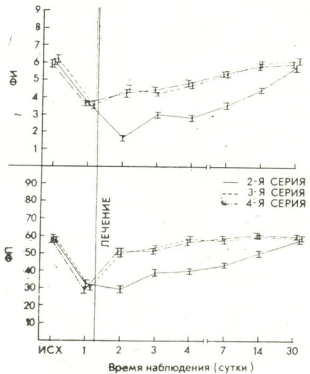


Рис. 3. Влияние проведенного лечения на ФАЛ (ФП и ФИ) в II, III, IV сериях

этапу во II серии как ФП, так и ФИ еще больше уменьшается. Такое явное повышение ФАЛ можно объяснить только стимулирующим влиянием биологически активных веществ, выделяемых в лимфу донорской селезенкой в процессе перфузии. Весьма существенным является то, что факт стимуляции сохраняется в течение продолжительного времени после однократного сеанса биологической лимфосорбции. Также стимулирующим влиянием можно объяснить повышение МАЛ. Как показывают исследования, донорская селезенка, в отличие от сорбента СКН-ИК, не сорбирует среднемолекулярные нептиды, несмотря на это уровень МСМ в крови и лимфе значительно снижается как во II, так и в III—IV сериях. Однако механизм снижения МСМ после биологической лимфосорбции не ясен и требует дальнейшего изучения.

Сравнивая результаты исследований в III и IV сериях, можно отметить, что различие между положительным влиянием лимфосорбции с применением аллогенной и ксеногенной (свиной) селезенки минимально и недостоверно, что позволяет сделать заключение о возможности применения в клинической практике как аллогенной, так и ксеногенной (свиной) селезенки.

Таким образом, результаты проведенных исследований свидетельствуют об эффективности метода биологической лимфосорбции с применением донорской селезенки при лечении острого гнойного перитонита. Этот метод не только не уступает традиционным методам лечения, но имеет и ряд существенных преимуществ, главным из которых является иммуномодулирующее влияние на организм.

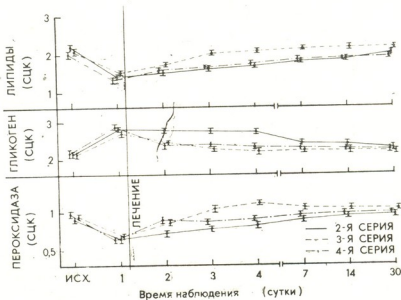
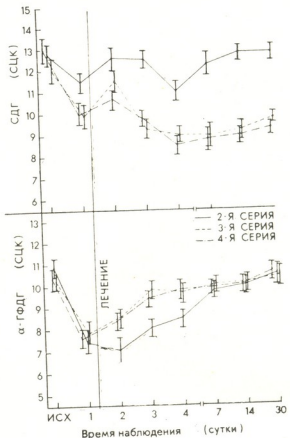


Рис. 4. Влияние проведённого лечения на МАЛ во II, III, IV сериях
 А—активность α -ГФДГ и СДГ в лимфоцитах; Б—активность пероксидазы, а также содержание гликогена и липидов в нейтрофилах;
 СЦК—средний цитохимический коэффициент



ЛИТЕРАТУРА

- Белов Н. Н., Бобовникова В. Т., Данилюк Т. В. Хирургия, 7, 123—127, 1987.
 - Брискин Б. С., Яценко А. А., Филонов А. В., Фукарова Т. Н. Хирургия, 12, 109—111, 1986.
 - Бурдина Г. В., Мануйлов Б. М. Трансплантация и искусственные органы (Труды НИИТИО МЗ СССР). М., 1986, 48—52.
 - Гриев М. В., Цыпин А. Б., Тарелкина Н. Н., Макаров А. А., Пивоварова Л. П., Разумова Н. К., Фролов Г. М., Цибин Ю. Н. Вестник хирургии, II, 81—85, 1986.
 - Гостишев В. К., Синовец А. А. Вестник хирургии, 12, 43—46, 1986.
 - Датхав Ю. И., Шалонов П. М., Азамшоев М. А. XXXI Всесоюзный съезд хирургов (Тез. докл. и сообщений), Ташкент, 1986, 35—36.
 - Доценко А. П., Синовец А. А. Клин. хирургия, I, 10—12, 1987.
 - Ерюхин И. А. Вестник хирургии, 7, 3—7, 1986.
 - Жидков К. П., Медведев Ю. А., Добринский Е. К., Копылов С. М., Белов Л. А. Вестник хирургии, II, 86—91, 1986.
 - Зубарев П. Н. Вестник хирургии, I, 14—19, 1974.
 - Заневич В. П., Синицын И. В. Вестник хирургии, 4, 51—54, 1984.
 - Ивашкевич Г. А., Вуйв Г. П., Химка А. С. Хирургия II, 74—77, 1977.
 - Ковалев М. М., Чепкий Л. П., Зарицкий Г. В. Комплексное лечение больных перитонитом, «Здоровья», Киев, 1981.
 - Лопухин Ю. М., Молоденков М. Н. Гемосорбция, «Медицина», М., 1985.
 - Макаров А. А., Цыпин А. Б., Прокоров В. Л., Филиппов А. М. Трансплантация и искусственные органы (Труды НИИТИО МЗ СССР), М., 1986, 99—102.
 - Маломан Е. Н. Диагностика и лечение острого разлитого перитонита, Кишинев, «Штиэнцица», 1985.
 - Панченков Р. Т., Выренков Ю. Е., Ярема И. В., Уртаев Б. М. Лимфосорбция, М., «Медицина», 1982.
 - Подпрятов С. Е., Фалюш В. А., Ломшанский Я. М., Хохоля А. В., Жулсий В. В., Медведцкий Е. Б., Захаров И. Б. Клин. хирургия, I, 6—9, 1987.
 - Русньяк И., Фёлди М., Сабо Д. Физиология и патология лимфообращения, Будапешт, Изд-во Академии наук Венгрии, 1957.
 - Сафаров С. Ю. Экстракорпоральное подключение донорской селезенки при лечении хирургической инфекции. Докт. дисс., Махачкала, 1985.
 - Станиславский О. К., Курыгин А. А. Вестник хирургии, II, 104—107, 1986.
 - Autio V. Acta Chir. scand., 321, 3—31, 1964.
 - Simmons R., Ahruholz D. Biology of peritonitis, New York, Academic Press, 1982.
 - Smith T., Jonson R. Amer. J. Pediatr., Hematol. Oncol., 1, 355—362, 1979.
 - Singer D. Postsplenectomy sepsis. Perspectives in pediatric Pathology. Chicago, Year Book Medical Publishers, 1, 1973, 285—311.

ლიკავოსორგების ახალი მთოლი ჩირქოვანი პრიტონის
გაურჩალობისას მცსპრივისათვის

ၬ. ဘဏ္ဍာဏရေးဒဂါလ္လာ၊ ၈. ဂုဏ်ပြုရေး

ສຳພັກຕະຫຼາດນີ້ ສຳລັບ ຖະນິດຕະຫຼາດນີ້ ແລະ ໄດ້ມີຄວາມສຳເນົາໃຫຍ່ ທີ່ຈະໄດ້ຮັບອະນຸຍາຍ

Digitized by srujanika@gmail.com

ჩირქეთვანი პეტრონიტის მეურნალბის კომპლექსში ღიმფოსორბციისათვის სორბენტად გამოყენებულია ღონისძიებელი ელექტრო ნაჩვენებია ღონისძიების ელექტრო მიერ ღიმფის დეტოქსიკაციის შესაძლებლობა-ეფექტურობა. ბიოლოგიური ღიმფოსორბციის მიღობაზე არა თუ ჩამოუვარ-

დება მცურნალობის ტრადიციულ მეთოდებს, არამედ მას გააჩინა მთელი რიგი უპირატესობანი, რომელთა შორის უმთავრესია მცურნალობის ვალების შემოკლება და ორგანიზმის არაპერიფიური რეზისურენტობის სტიმულაცია.



THE NEW METHOD OF LYMPHOSORPTION IN THE TREATMENT OF PURULENT PERITONITIS IN THE EXPERIMENT

R. G. BOGORISHVILI, G. D. IOSELIANI

K. D. Erislavi Institute of Experimental and Clinical Surgery, Georgian Ministry of Health, Tbilisi, USSR

Summary

For the treatment of purulent peritonitis donor spleen is offered as a sorbent for lymphosorption. The effectiveness and possibilities of detoxication of lymph by donor spleen were demonstrated. The method of biological lymphosorption was

found to be more effective than the conventional methods in a number of cases, the most important of advantages is the shortening of the period of treatment and stimulation of nonspecific resistance of the organism.

УДК 612.822.3

ФИЗИОЛОГИЯ ЧЕЛОВЕКА И ЖИВОТНЫХ

ОТРИЦАТЕЛЬНЫЙ СДВИГ ПОТЕНЦИАЛА КОРЫ МОЗГА КОШКИ ПРИ РАЗДРАЖЕНИИ МОЗОЛИСТОГО ТЕЛА

К. Г. Кикабидзе, З. В. Самадашвили, И. В. Очерашвили

Институт физиологии им. И. С. Бериташвили АН ГССР, Тбилиси

Поступила в редакцию 01.06.88

В острых опытах на кошках под нембуталовым наркозом изучался отрицательный сдвиг потенциала (ОСП) коры, возникающий в супрасильвиеевой извилине при раздражении мозолистого тела. Нанесение на мозолистое тело 20 стимулов с частотой 50–100 Гц приводит к развитию ОСП, длительность которого достигает 4–5 с, а амплитуда — 2–3 мВ. Предполагается, что ОСП, возникающий при транскаллозальном раздражении, и ОСП, вызываемый раздражением мозолистого тела, имеют одинаковую природу.

Ранее было показано, что при тетаническом раздражении супрасильвиеевой извилины в противоположной симметричной области коры развивается ОСП, длительность которого достигает нескольких секунд, и высказано предположение о том, что в генезе ОСП существенную роль играют

глиальные клетки [1, 2]. В настоящей работе, с целью дальнейшего анализа ОСП, будут представлены некоторые результаты опытов с раздражением мозолистого тела, когда импульсы направляются в кору как орто-, так и антидромными путями (смешанные ответы).

МАТЕРИАЛ И МЕТОДЫ

Опыты ставились на кошках под нембуталовым наркозом (60–70 мг/кг, подкожно). Раздражение мозолистого тела производилось двумя покрытыми изоляцией константановыми проволоками, которые внедрялись по средней линии как задней, так и средней части мозолистого тела, где проходят волокна, соединяющие супра-

сильвиеевы извилины [см. 3]. Отводящий макроэлектрод устанавливался в средней части супрасильвиеевой извилины, а индифферентный закреплялся в пазухе между кожей и мышцами в области шеи. Усиление потенциалов производилось по постоянному току.

РЕЗУЛЬТАТЫ ИССЛЕДОВАНИЯ И ИХ ОБСУЖДЕНИЕ

На рис. 1 показано, что при раздражении мозолистого тела 20 стимулами в супрасильвиеевой извилине возникал ОСП, амплитуда которого возрастала по мере повышения частоты раздражения. На фоне ОСП регистрировались вызванные смешанные каллозальные ответы, которые приняли форму пика из-за медленной

развертки луча осциллографа. Из рис. 1А видно, что отрицательная фаза вызванных ответов на первые 2–5 стимулы несколько увеличивалась по сравнению с первым (т. е. наблюдался хорошо известный эффект облегчения вызванных ответов [4]), а затем прогрессивно ослабевала по мере нарастания ОСП. Ослабе-

ление отрицательной фазы вызванных ответов усиливалось по мере увеличения амплитуды ОСП в связи с повышением частоты раздражения (рис. 1Б, В). При частоте раздражения 33 и 100 Гц (рис. 1Г, Д) наблюдалось формирование (по-видимому,

при раздражении мозолистого тела) 10 стимулами амплитуда ОСП равна 1,3 мВ, а при раздражении 30 стимулами — 2,5 мВ (рис. 1Г).

Из представленных записей видно, что ОСП может возникнуть при прямом раздражении мозолистого тела.

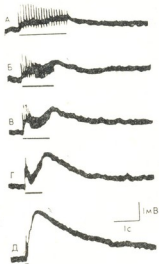


Рис. 1. Зависимость ОСП коры от частоты раздражения мозолистого тела; наносится 20 стимулов (90 В, 0,7 мс); А — частота раздражения 10 Гц, Б — 17, В — 20, Г — 33, Д — 100 Гц. Горизонтальные линии под осциллограммами показывают период раздражения мозолистого тела

из отрицательной фазы вызванных ответов) отрицательного потенциала, предшествовавшего развитию ОСП.

На рис. 2 показано, что амплитуда ОСП зависит также от количества стимулов, наносимых на мозолистое тело. Так из рис. 1Б видно, что

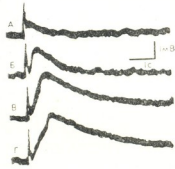


Рис. 2. Зависимость отрицательного сдвига потенциала коры от количества стимулов, наносимых на мозолистое тело; частота раздражения — 50 Гц; параметры стимулов — 90 В, 0,8 мс; А — наносится 5 стимулов, Б — 10, В — 20, Г — 30

Характеристики этого ОСП совпадают с таковыми при транскаллозальном раздражении. Длительность ОСП в обоих случаях порядка 4—5 с, а амплитуда их составляет примерно 2—3 мВ (ср. с [2]). Ранее было высказано предположение о том, что возникновение ОСП при транскаллозальном раздражении обусловлено возбуждением системы каллозальных волокон, а не активацией других подкорковых структур. Это предположение подкрепляется представленными выше данными с прямым раздражением мозолистого тела.

ЛИТЕРАТУРА

- Кикабидзе К. Г., Очерашивили И. В. Сообщения АН ГССР, 124, 593—596, 1986.
- Кикабидзе К. Г., Очерашивили И. В. Физиол. ж. СССР, 73, 1032—1038, 1987.
- Мосидзе В. М., Рижинашвили

- Р. С., Тотибадзе Н. К., Кеванишвили З. Ш., Акбардия К. К. В книге: «Расщепленный мозг», «Мецнериба», Тбилиси, 1972, 10—127.
- Самадашвили З. В., Мосидзе В. М., Гедеванишвили Н. С. Физиол. ж. СССР, 52, 569—575, 1986.



გათის თავის ტვინის მირზი კორპიანი სხიულის გაღიზიანიბისა და აღმოცენიბული უარყოფითი პოტენციალის გადახრა

ქ. ჭიქაბიძი, ჭ. სავადავიძი, ი. ოჩერაშვილი

საქართველოს სსრ მეცნიერებათა აკადემიის ი. ბერიტაშვილის სახელობის
ტუზიოლოგიის ინსტიტუტი, თბილისი

რ ე ზ ი უ მ ე

ცდები ტარდებოდა ზრდასრულ კატებზე, ნემბუტალის ღრმა ნარკოზის ქვეშ. კორპიანი სხეულის რითმული გაღიზიანებისას (20—30 სტიმული, 50—100 ჸც) სუპრასილვიური ხვეულში წარმოიქმნებოდა

4—5 წმ ხანგრძლივობის და 2—3 მვ ამ-პლიტულის ნელი უარყოფითი გაღიზრა. განხილულია ამ პოტენციალის ზოვიერთი თავისებურება.

SLOW NEGATIVITY EVOKED BY STIMULATION OF THE CORPUS CALLOSUM IN THE CAT'S CEREBRAL CORTEX

K. G. KIKABIDZE, Z. V. SAMADASHVILI, I. V. OCHERASHVILI

I. S. Beritashvili Institute of Physiology, Georgian Academy of Sciences, Tbilisi, USSR

Summary

Acute experiments were carried out on cats under nembutal anaesthesia. Rhythmic stimulation (20—30 stimulus, 50—100 Hz) of the corpus callosum evoked slow ne-

gativity with duration of 4—5 s and amplitude of 2—3 mV in the g. suprasylvius. Some peculiarities of this potential are discussed.

УДК 615.465 : 678.7 : 615.9.015.44

МОРФОЛОГИЯ

ОЦЕНКА БИОСОВМЕСТИМОСТИ СОПОЛИАМИДА НА ОСНОВЕ ПРОИЗВОДНЫХ α -АМИНОКИСЛОТ IN VITRO И IN VIVO

М. Г. Бурчуладзе, Н. А. Галатенко, Н. Н. Буфиус,
Л. И. Кирмелашивили, Д. П. Харадзе, Г. А. Пхакадзе,
Л. А. Эдилашвили, Р. Д. Кацарава

Институт молекулярной биологии и биологической физики АН ГССР, Тбилиси

Институт органической химии АН УССР, Киев

Поступила в редакцию 21.03.88

Проведена оценка биосовместимости сополиамида на основе производных двух α -аминокислот — валина и фенилаланина. Была изучена местная тканевая реакция при имплантации образцов этого сополиамида экспериментальным животным. Изучена также гистотоксичность полимера методом тканевой культуры соединительной ткани.

В настоящее время большое внимание уделяется изысканию новых полимерных материалов для создания эндопротезов, обладающих способностью рассасываться в организме по мере регенерации тканей. Перспективы их практического применения связаны с возможностью избежать повторного хирургического вмешательства для удаления протеза [4—6].

Одним из наиболее перспективных путей создания таких полимеров является введение в их состав ферментативно «узнаваемых» боковых группировок [3, 7]. Однако при этом особое внимание следует обратить на оценку биосовместимости данных полимеров, так как продукты деструкции, образующиеся на месте использования полимерного изделия, могут оказывать неблагоприятное действие на окружающие ткани.

МЕТОДИКА

Был исследован сополиамид гексаметилендиамина и производных двух α -аминокислот: N,N'-терефталоил-бис-DL-валина и N,N'-терефталоил-бис-

Одним из наиболее распространенных методов оценки степени биосовместимости полимерных материалов является имплантационный тест, свидетельствующий о состоянии тканей, окружающих имплантат [8]. Широкое распространение в настоящее время получили исследования на тканевых и клеточных культурах, позволяющие оценить влияние химических веществ, входящих в состав данного полимера, непосредственно на клетку [1, 2].

Целью наших исследований было изучение местной тканевой реакции при имплантации сополиамида на основе производных α -аминокислот в организм экспериментальных животных, а также определение их гистотоксичности методом тканевой культуры соединительной ткани.

DL-фенилаланина, синтез которого описан ранее [3]. Указанный сополиамид может фрагментироваться в организме до соответствующих амино-

кислот. Полимерные образцы были использованы в виде пористых пленок размером $1 \times 1 \text{ см}^2$, которые готовили по методике, описанной в [3]: полимер растворяли в трифтормукусной кислоте и поливали на стеклянные пластинки, гидрофобизированные диметилдихлорсиланом. После удаления части растворителя при атмосферном давлении и комнатной температуре (время сушки от 3 до 12 ч) пластинки помещали в воду и после сформирования пористой, непрозрачной пленки ее снимали с подложки и тщательно промывали водой до нейтральной реакции промывных вод. Отметим, что по такой технологии поры образуются лишь с одной стороны; поверхность пленки, примыкающая к стеклянной подлож-

ке, гладкая и лишена пор. Пленки имплантировали кроликам породы шиншилла в мышцу в области бедра под местным обезболиванием 0,5% новокаином. Имплантировались пленки двух видов — с большими и средними порами. Исследования реакции тканей, окружающих имплантат, проводили на 4, 8, 9-й месяц. Материал фиксировали в 10%-ном нейтральном формалине, окрашивали гематоксилином-эозином и по ван Гизону. Оценку гистотоксичности проводили методом тканевой культуры [1]. В качестве объекта культивирования использовали подкожную клетчатку белых беспородных крыс, дающую в условиях культивирования рост фибробластов, являющихся структурными элементами соединительной ткани.

РЕЗУЛЬТАТЫ ИССЛЕДОВАНИЯ И ИХ ОБСУЖДЕНИЕ

Гистологические исследования показали, что вокруг полимерного имплантата, как с крупными, так и со средними порами, через 4 месяца после операции отмечается тонкая соединительная капсула, состоящая из продольно ориентированных коллагеновых волокон, включающих 3—4 ряда фибробластов веретенообразной формы. Соединительнотканная капсу-

(рис. 1). На внутренней поверхности капсулы, граничащей с имплантатом, а также в порах полимера обнаруживаются единичные макрофаги, по-видимому, активно участвующие в процессе деструкции образца. Признаки, указывающие на раздражающее или токсичное действие полимера, не выявлены. В порах, далеко отстоящих от края полимера, местами отмечаются сгустки фибринова, форменные элементы крови — лимфоциты.

Через 8 месяцев после имплантации полимерный образец со средними порами ($\varnothing \approx 0,002$ — $0,01 \text{ мм}$) окружен тонкой соединительнотканной капсулой. Толщина капсулы со всех сторон одинакова и представлена 3—4 рядами фибробластов. Под соединительнотканной капсулой отмечается прорастание клеточных элементов в полимер. Как отмечалось выше, строение полимерного имплантата неоднородно, и со стороны гладкой поверхности прорастание не интенсивное. На противоположной стороне имплантата отмечаются многочисленные узуры, которые заполнены круглоклеточным инфильтратом и соединительной тканью (рис. 2). В дефектах полимера клеточный инфильтрат представлен в основном макрофагами. В центральной части имплантата поры заполнены фибринозно-геморрагическим экс-



Рис. 1. Тяж грануляционной ткани (A) в полимерном имплантате (B) через 4 месяца после имплантации. Окраска гематоксилином-эозином. Об. 16, ок. 3,2^х.

ла плотно спаяна с полимерным имплантатом. Встречаются тяжи грануляционной ткани, уходящие вглубь полимера и заполняющие его поры

судатом. Следует отметить наличие гигантских клеток инородного тела в порах имплантата. Полимерный имплантат с крупными порами ($\varnothing \approx 0,01-0,1$ мм) также окружен тонкой соединительной капсулой, представленной 3-4 рядами фибробластов. Поры заполнены фибринозно-геморрагическим экссудатом и круглоклеточными элементами. Отмечается также

что своеобразная грануляционно-пористая структура полимера, появившаяся, способствуют деструкции и прорастанию соединительнотканых элементов в поры имплантата. Следует принять во внимание еще один аспект взаимодействия полимер — ткань — плотную спайку ткани и полимера, что, возможно, является хо-



Рис. 2. Полимерный имплантат со средними порами через 8 месяцев после имплантации: А — пора полимера, заполненная клеточным инфильтратом и грануляционной тканью; В — полимерный образец. Окраска гематоксилином - эозином.

Об. 16, ок. 10

прорастание соединительной ткани в поры полимера и наличие в них гигантских клеток инородного тела, что говорит об ослаблении фагоцитарной функции макрофагальных элементов к данному сроку исследования (8 месяцев). Площадь имплантата, подвергшаяся деструкции, приблизительно равна 1/10 всей поверхности имплантата. Поры большего диаметра способствуют разрушению полимера за счет более активного врастания соединительной ткани в имплантат.

На более поздних сроках исследования (9 месяцев) гистологическая картина почти идентична вышеописанной. Вокруг полимерных имплантатов как с крупными, так и со средними порами сформирована плотная соединительная капсула без признаков воспаления, что говорит об отсутствии раздражающего действия полимера и его продуктов на окружающие ткани (рис. 3).

Гистологические исследования позволили сделать вывод о том,

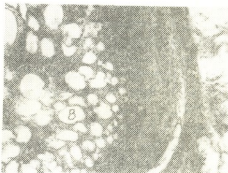


Рис. 3. Соединительнотканная капсула (А) вокруг полимерного имплантата (В) со средними порами через 9 месяцев после имплантации. Окраска гематоксилином-эозином. Об. 16, ок. 20

что показателем при эндопротезировании.

Исследования на тканевой культуре показали, что влияние вытяжек из полимера, помещенных в среду культивирования, практически не меняет характера роста и развития тканевой культуры и не отличается от контроля. Миграция фибробластов, так же как и в контроле, начиналась на 3-е сутки, на 5-7-е сутки происходит формирование 3-х зон роста — компактной, сетевидной и зоны единичных мигрирующих клеток. До 10-х суток происходит увеличение площадей роста и появляются первые признаки дегенеративных изменений в клетках в виде вакуолизации цитоплазмы и дезориентации клеточных элементов. К 14 суткам происходит полная дегенерация клеточной культуры. Показатель гистотоксичности равен $0,82 \pm 0,01$, что свидетельствует о нетоксичности полимера.

На основании проведенных исследований можно заключить, что образцы сополиамида на основе производных природных аминокислот, подвер-

гаясь деструкции в организме, не оказывает раздражающего действия на окружающие ткани, не вызывают изменений в характере роста тканей.

ЛИТЕРАТУРА

- Галатенко Н. А., Яценко В. П., Пхакадзе Г. А., Липатова Т. Э. ДАН УССР, сер. «Б», 4, 57—60, 1986.
 - Елизарова О. Н., Рязанова Р. А. Клеточные культуры как биологическая модель в токсикологических исследованиях, «Медицина», М., 1982.
 - Кацарава Р. Д., Харадзе Д. П., Кирмелашивили Л. И., Заалишвили М. М. Acta Polymerica, 36, 1, 29—38, 1985.
 - Липатова Т. Э., Снегирев А. И., Пхакадзе Г. А. Укр. биохим. журн., 55, 5, 539—543, 1983.
 - Пхакадзе Г. А. Морфологические и биохимические аспекты биодеструкции полимеров, «Наукова думка», Киев, 1986.
 - Фельдштейн Н. М., Якубович В. С., Раскина Л. П., Даурова Т. Т. Итоги науки и техники. Химия и технология высокомолекулярных соединений, 16, Химия и технология медико-биологических полимеров, «ВИНИТИ», М., 1981, 120—151.
 - Agraki T., Hayase S. J. Polymer Sci. Polymer Chem., Ed., 17, 1877—1881, 1979.
 - Uscher F. I., Wallage S. A. Arch. Surg., 76, 6, 997—998, 1958.

вой культуры, являются биосовместимыми и могут быть рекомендованы для клинических испытаний в конкретных ситуациях.

ა-ამინომჰების ფარმაცულების საცუქვილზე სიცოგნირობული კოლეგიამდები პიონერთა მემკაფიობის შეფასება IN VITRO და IN VIVO

8. ପୁଣକ୍ଷତ୍ୟାବ୍ଦ, 9. ତାଳାକାରିଙ୍ଗନ, 10. ପରାମିଶର, 11. ବିନୋଦଲାଭବିଲ୍ଲାଙ୍ଗ, 12. କରିବାର,
13. ଆକାଶବାନ, 14. ତୈରିଲାଭବିଲ୍ଲାଙ୍ଗ, 15. କାହାରାବା

საქართველოს სსრ მუნიციპალური აკადემიის მოლეკულური ბიოლოგიისა და ბიოლოგიური ფიზიის ინსტიტუტი, თბილისი

უკრაინის სსრ შეცნოერებათა ეკადემიის ორგანული ქიმიის ინსტიტუტი, კიევი

Digitized by srujanika@gmail.com

შეფასებულ იქნა ჰექსამეთოლენდიმზნისა და ორი შეუცვლელი ბუნებრივი ამინომჟავის წარმოებული — N,N'-ტეტრეფტალოილ-DL-ვალინისა და N,N'-ტეტრეფტალოილ-DL-ფენილალანინის საფუძველზე სინთეზირებული თანაპოლიამინის ბიოშეთავსებადობა. ლინიშნულ თანაპოლიამინს ორგანიზმში შეუძლია დაიშალოს შესაბამის ამინომჟავებად. შესწავლილია ქსოვილების რეაქცია კურდლლის ორგანიზმში იმპლონტირებულ პოლიამინის საფუძველზე დამზადებულ ფორმულის ფიზიკურული მარტინი.

ტების ჰისტორიუმში ისტორიულია შემავრთებელი
ქსოვილის კულტივირების შეთანდით. ჩა-
ტარებული კვლევის საფუძველზე შეიძ-
ლება დავასკვნათ, რომ ბუნებრივი ამინო-
მჟავების საფუძველზე დამზადებული პო-
ლიმერის ნიმუშები ორგანიზმში დასტრუ-
ქციის დროს არ იწვევენ მიმღებარე ქსო-
ვილების გაღიზიანებას, გაელენს არ ა-
დენენ ქსოვილთა კულტურის ზრდის ხა-
სიათზე, არიან ბიოშეთაგებადები. აღნიშ-
ნული პოლიმერი შეიძლება რეკომენდი-
რებული იყოს კლინიკური გამოცდისათვის
კონკრეტულ სიტუაციებში.

THE IN VITRO AND IN VIVO INVESTIGATION OF BIOCOMPATABILITY OF POLYAMIDE BASED ON α -AMINO ACID DERIVATIVES

M. G. BURCHULADZE, N. A. GALATENKO, N. N. BUFIUS, L. I. KIRMELASHVILI,
D. M. KHARADZE, G. A. PKHAKADZE, L. A. EDILASHVILI, R. D. KATSARAVA

Institute of Molecular Biology and Biological Physics, Tbilisi, USSR

Institute of Organic Chemistry, Ukrainian Academy of Sciences, Kiev, USSR

Summary

The biocompatibility of copolyamide on the base of hexamethylenamine and derivatives of two essential amino acids: N,N'-terephthaloyl-DL-valine and N,N'-terephthaloyl-DL-phenylalanine has been estimated. This copolyamide in the living organism can be fragmented to the corresponding amino acids. Using the implantation test for the porous films on the base of the copolyamide the local tissue reactions as well as their histotoxicity in

tissue culture of connective tissue were studied. According to the experiments it can be concluded that samples of copolyamide being degraded in the living organism have shown lack of irritating action on the surrounding tissue; being biocompatible they reveal no changes in the dynamics of tissue culture growth. After clinical studies this copolyamide can be recommended for the use in concrete surgical situations.

УДК 616.316—006—076.5

ЦИТОЛОГИЯ

ДИФФЕРЕНЦИАЛЬНАЯ ДИАГНОСТИКА ОПУХОЛЕВЫХ И НЕОПУХОЛЕВЫХ ЗАБОЛЕВАНИЙ БОЛЬШИХ СЛЮННЫХ ЖЕЛЕЗ С ПОМОЩЬЮ ЦИТОЛОГИЧЕСКОГО МЕТОДА ИССЛЕДОВАНИЯ

Н. В. Цикаришвили

Онкологический научный центр МЗ ГССР, Тбилиси

Поступила в редакцию 01.06.88

Изучалась цитоморфология опухолевых и неопухолевых процессов больших слюнных желез по пунктатам и отпечаткам с операционного материала 205 больных. Опухолевый процесс был установлен в 177 случаях, у 38 больных были поставлены следующие цитологические диагнозы: киста околоушной железы — 7 случаев, сиаладенит — 7 случаев, синдром Шегрена — 3 случая, слюнокаменная болезнь — 3 случая, лимфаденит преаурикулярного и подчелюстного лимфатических узлов — 18 случаев. Данные цитограммы отдельных форм неопухолевых процессов больших слюнных желез.

Опухолевые и неопухолевые процессы больших слюнных желез часто имеют сходное течение, поэтому ошибки в клинической диагностике опухолей больших слюнных желез довольно часты. По данным А. И. Пачеса, диагнозы направивших учреждений не подтвердились в 60%, ошибочный диагноз в стационаре был поставлен в 10% [1]. Одной из причин частых диагностических ошибок является игнорирование современных методов диагностики, в частности цитологического метода исследования,

позволяющего более чем в 30% дифференцировать опухолевые и неопухолевые процессы. В свою очередь, цитолог, занимающийся диагностикой опухолей больших слюнных желез, должен знать цитоморфологию и клинику неопухолевых заболеваний этой локализации. Целью данной работы явилась разработка цитоморфологических критериев дифференциальной диагностики опухолевых и неопухолевых процессов больших слюнных желез.

МАТЕРИАЛ И МЕТОДЫ

Нами было обследовано 205 больных, обратившихся в ОНЦ МЗ ГССР с предварительным диагнозом — опухоль большой слюнной железы. Всем больным производилась аспирационная биопсия образования — тонкой иглой, по общепринятой методике. В 170 случаях цитоморфология опухолей изучалась по отпечаткам и соскобам с операционного материала. Достоверность цитологической диагностики проверялась путем сопоставления результатов исследования с окончатель-

ным клиническим диагнозом, гистологическим диагнозом и изучением ближайших и отдаленных результатов лечения.

Опухолевый процесс подтвердился в 177 случаях. У 38 больных были выявлены неопухолевые заболевания и поставлены следующие диагнозы: киста околоушной железы — 7 случаев, сиаладенит околоушной и подчелюстной желез — 7 случаев, синдром Шегрена — 3 случая, слюнокаменная болезнь — 2 случая, лим-

фаденит преаурикулярного и подчелюстного лимфатических узлов — 18 случаев.

Кисты чаще встречаются в околоушной железе и составляют 2—6% всех заболеваний этой локализации [5, 6]. Для кисты околоушной железы было характерно получение при пункции прозрачной, иногда слизистой жидкости. При микроскопии центрифугата в мазках находили лимфоциты, сегментоядерные лейкоциты в не-

аденомы (рис. 1 а). Поставить диагноз кисты помогало наличие значительного количества серозной жидкости (7—10 мл), полное исчезновение опухоли после пункции. Кроме того, при мономорфной аденоме чаще встречаются железистоподобные и папиллярные структуры, клетки с более крупными ядрами и признаками секреции.

В двух случаях в пунктатах наблюдали уплощенные клетки с крупными

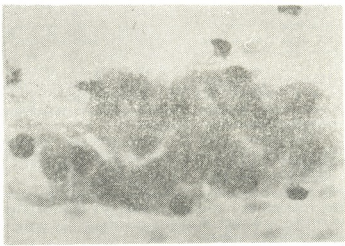
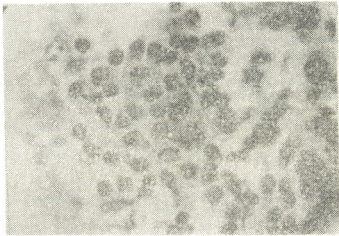


Рис. 1. Киста околоушной железы: а — пласт клеток цилиндрического эпителия с дистрофическими изменениями; б — уплощенные клетки выстилки кисты. Окраска по Паппенгейму. х 400

большом количестве макрофаги. В трех случаях мы наблюдали мономорфный цилиндрический и кубический эпителий в виде пластов с дистрофическими изменениями, который был похож на эпителий мономорфной

ядрами (рис. 1 б). Возникали трудности в дифференциальной диагностике с мукоэпидермоидной опухолью. Мукоэпидермоидная опухоль также часто имеет кистозные полости, однако содержит их кровянистое, имеет



слизистый характер. Эпидермидные клетки в ней сочетаются со слизьпродуцирующими клетками, чего не наблюдалось в наших случаях. Поэтому уплощенные клетки были расценены как элементы выстилки кисты. Во всех случаях кист цитологический диагноз был подтвержден гистологическим исследованием.

Таким образом, цитограммы при кистах могут быть различными, но установление диагноза до операции с помощью аспирационной биопсии тонкой иглой возможно с большой степенью точности при хорошем знании цитоморфологии данной патологии.

Хронический сиаладенит представляет собой заболевание слюнных желез невыясненной этиологии. Наиболее часто поражаются околоушные железы (85), реже — подчелюстные (6%). Характерными клиническими признаками являются незаметное начало, длительное (десятилетиями) течение процесса [2, 6]. При одностороннем увеличении слюнной железы дифференцировать хронический сиаладенит с опухолями по клиническим симптомам сложно. Цитологическое исследование в таких случаях с успехом может быть использовано для дифференциальной диагностики. В пунктатах при хроническом сиаладените наблюдалось большое количество сегментоядерных лейкоцитов, макрофаги, лимфоциты и единичные клетки цилиндрического эпигелла.

При синдроме Шегрена в больших слюнных железах в гистологических срезах находят лимфоидную инфильтрацию, замещающую нормальные зоны и протоки. Встречаются эпителиальные остривки, образованные клетками, содержащими кератин, в ранних стадиях — миоэпителиальными клетками [3, 4]. В пунктатах из увеличенных слюнных желез в наших случаях мы наблюдали лимфоидные элементы, представленные лимфоци-

тами и лимфобластами, единичные уплощенные клетки. Дифференциальный диагноз нужно было проводить с adenолимфомой. Аденолимфома отличается медленным ростом, чаще слюнная железа поражается с одной стороны. В цитограммах при adenolимфоме на фоне лимфоидных элементов можно видеть цилиндрический, кубический эпителий и клетки с эозинофильной гранулированной цитоплазмой. В наших случаях анамнез был 2—3 месяца, двустороннее поражение околоушных желез в одном случае сопровождалось кератоконъюнктивитом, в другом — бронхиальной астмой. На основании цитограмм пунктов и клинических данных был поставлен диагноз синдрома Шегрена, который подтвердился хорошим эффектом от соответствующей терапии. Дифференциальный диагноз синдрома Шегрена необходимо проводить также с лимфосаркомой, лимфогрануломатозом, лимфаденитом, что не представляет трудности при достаточном материале в пункте.

Среди обследованных нами больных было два случая слюнокаменной болезни. В обоих случаях конкременты были обнаружены во время операции. Пунктат содержал сегментоядерные лейкоциты, цилиндрический эпителий с дистрофическими изменениями. Цитологическое исследование может быть использовано в таких случаях для исключения опухолевого процесса. Однако наличие камня и его локализацию можно определить лишь при рентгенологическом исследовании.

Цитологическое исследование пунктов с успехом может быть использовано для дифференциальной диагностики опухолевых и неопухолевых процессов больших слюнных желез, а также для верификации характера неопухолевого заболевания данной локализации.

ЛИТЕРАТУРА

1. Пачес А. И. Опухоли головы и шеи, «Медицина», М., 1983, 202—236.
2. Ромачева И. Ф., Юдин Л. А., Афанасьев В. В., Морозов А. Н. Заболевания и повреждения слюнных желез, «Медицина», М., 1987, 121—173.
3. Рыбакова М. Г. Архив патологии, 15, 61, 36—43, 1979.
4. Daniels Troy E. Scand. J. Rheumatol., 15, 61, 36—43, 1986.
5. Gläser A. Klinische Pathologie der Geschwülste VEB Georg Thieme, Leipzig, 191—192, 1979.
6. Seifert G. Pathologe, 8, 3, 141—151, 1987.

სამედიცინული ჯილდოვლების არასიმსიმური და სიმსიმური
აროვედების ღიაზერანციული ღიაგენოსტიკა ციტოლოგიური
გათოვას საშუალებით

5. რიცხვითი მიზანი

საქართველოს სსრ განმრთელობის დაცვის სამინისტროს ონკოლოგიის სამეცნიერო ცენტრი, თბილისი

რეზიუმე

პუნქტუატურებისა და საოპერაციო მასალის ანალიტიკური გამოკვლევის საფუძველზე შესწოლით 205 ავადმყოფის დადგი სანერტუვე ჭირკვლების არასიმსიმური და სიმსიმური პროცესების ციტომორფოლოგია.

სიმსიმური პროცესი აღინიშნა 177 შემთხვევაში, 38 ავადმყოფს დაუდგინდა შემდეგი ციტოლოგიური დიაგნოზი: ყბა-ყურა ჭირკვლის კისტა — 7 შემთხვევა,

სიალადენიტი — 7, შეგრენის სინდრომი — 3, სანერტუვე ჭირკვლის კენტოვანი დაავადება — 3, პრეაურიკულური და ყბის-ჭეშა ლიმფური კვანძების ლიმფადენიტი — 18 შემთხვევა.

ნაჩვენებია ციტოლოგიური მეთოდის როლი სანერტუვე ჭირკვლების არასიმსიმური და სიმსიმური პროცესების დიფერენციულ დიაგნოსტიკაში.

DIFFERENTIAL DIAGNOSTICS OF TUMOROUS AND NONTUMOROUS DISEASES OF THE SALIVARY GLANDS WITH CYTOLOGICAL METHOD

N. V. TSIKARISHVILI

Scientific Centre of Oncology, Georgian Ministry of Health, Tbilisi, USSR

Summary

Cytomorphology of tumorous and nontumorous processes of the major salivary glands in punctates and imprints in surgical material was studied in 205 patients. Tumoural process was established in 177 cases. In 38 patients the following diseases were cytologically diagnosed: the parotid cyst in 7 cases, the sialadenitis in 7 cases, the Sjögren's syndrome

in 3 cases, the salivary calculasal disease in 3 cases, lymphadenitis of preauricular and submandibular lymphatic nodes each in 18 cases. The cytogrammes of separate nontumorous diseases are presented. The important role of cytological method in differential diagnostics of tumorous and nontumorous processes of the salivary glands is shown.

УДК 616.686—091—098

ПАТОЛОГИЧЕСКАЯ МОРФОЛОГИЯ

НЕКОТОРЫЕ ДАННЫЕ МОРФОГИСТОХИМИЧЕСКИХ И МИКРОБИОЛОГИЧЕСКИХ ИССЛЕДОВАНИЙ ВЕЗИКУЛИТОВ

Г. А. Вадачкория, Р. Г. Салакая, Н. Б. Амирян,
М. О. Чхендзе, О. В. Цинцадзе

ННИ урологии и нефрологии им. А. П. Цулукидзе МЗ ГССР, Тбилиси

Поступила в редакцию 05.03.88

Изучаются морфогистохимические изменения и этиологическая структура везикулитов в разных возрастных группах на секционном материале.

Установлено, что острый воспалительный процесс в семенных пузырьках характеризуется крупными инфильтратами, состоящими преимущественно из сегментоядерных лейкоцитов. В этих участках ШИК-позитивные вещества почти отсутствуют, сульфатированные гликозамингликаны — в большом количестве. Хронический везикулит отличается разрастанием соединительной ткани, мелкими инфильтратами из лимфоидных и плазматических клеток. Отмечается ШИК-позитивная реакция и отсутствие гликозамингликанов. Выявлены основные бактериальные возбудители везикулитов.

Среди полиэтиологических, длительно текущих воспалительных заболеваний мужской мочеполовой сферы везикулит является наименее изученной патологией. В работах, имеющихся в настоящее время [1—3, 5, 6—11], хронический везикулит изучен в основном в связи с хроническим простатитом и мужским бесплодием. Имеются данные клинико-лабораторных исследований хронического везикулита [4], по которым из 47 обследованных больных лишь 12 был поставлен диагноз хронического простатовезикулита, а у 34 отмечены пиоспермия и нарушение половой функции.

МАТЕРИАЛЫ И МЕТОДЫ ИССЛЕДОВАНИЯ

Материал брали при судебно-медицинских вскрытиях у лиц, погибших в результате травмы или внезапной смерти в возрасте от 18 до 75 лет не позднее 6—8 часов (158 случаев).

Для проведения структурно-гистохимических исследований участки ткани семенных пузырьков фиксировали в 12%-ном формалине. После соответ-

ствующей обработки ткани полученные срезы окрашивали гематоксилином и эозином по ван Гизону и по методу Маллори. Гликоген выявлялся по Шабадашу, нейтральные муко polysахариды — по Хочкиссу и комбинированным методом по Риттеру и Олесону, гликозамингликаны — по Стидмену альциновым синим и мета-

Цель настоящего исследования — проследить за изменениями в морфогистохимической картине и этиологической структуре семенных пузырьков при воспалениях.

струющей обработки ткани полученные срезы окрашивали гематоксилином и эозином по ван Гизону и по методу Маллори. Гликоген выявлялся по Шабадашу, нейтральные муко polysахариды — по Хочкиссу и комбинированным методом по Риттеру и Олесону, гликозамингликаны — по Стидмену альциновым синим и мета-

хроматической реакцией с толуидиновым синим (при pH — от 2,8 до 7,5). Применялись и контрольные реакции.

Ткань семенных пузырьков изучали также микробиологическими методами. Посевы ткани и идентификацию возбудителей проводили общепринятыми бактериологическими методами;

для выявления бактериальных антигенов (изучено 31 семенных пузырьков) применяли непрямой метод Имунофлюса. Выявление хламидий в соскобах проводили по общепринятой методике [12]. Кроме этого, семенные пузырьки исследовались на наличие трихомонад (*Tr. vaginalis*).

РЕЗУЛЬТАТЫ ИССЛЕДОВАНИЯ И ИХ ОБСУЖДЕНИЕ

В семенных пузырьках лиц от 18 до 40 лет хорошо выражена складчатость слизистой оболочки, наличие разного количества секрета с содержанием слущенного эпителия. Однажды было обнаружено, что с возра-

стом утолщается собственная пластинка выстилающего эпителия (рис. 1).

В 38,1% случаев наблюдается резкое нарушение строения структуры семенных пузырьков. Выстилающий эпителий слущен и в полости обнаруживаются скоплениями разной величины. Секрет сравнительно в меньшем количестве, густой консистенции и вакуолизирован. Часто собственные пластинки оголены. В строме и под эпителием обнаруживаются воспалительные инфильтраты разной величины, содержащие в основном лимфоидные и плазматические клетки, редко с примесью сегментоядерных нейтрофилов.

В семенных пузырьках нейтральные мукополисахариды (НМПС) преобладают над гликозамингликанами, которые располагаются в подэпителиальных клетках и в основном представлены сульфатированными глико-

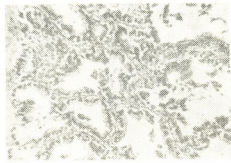


Рис. 1. Нормальная структура везикулов; возраст—24 г. Окр. гематоксилин-эозином. $\times 108$

Таблица
Виды возбудителей везикулита и частота их выявления
по данным бактериологической диагностики

Выделенный возбудитель	Семенные пузырьки (трупный материал)		
	18—40 лет n=84	41—55 лет n=40	56—75 лет n=34
Кишечная палочка	4 4,8%	2 5%	5 14,7%
Протей	—	—	—
Синегнойная палочка	—	—	—
Эпидермальный стафилококк	5 5,9%	4 10%	—
Энтерококк	24 28,6	8 20%	10 29,4%
Трихомонады	—	—	—
Хламидии*	3 11%	2 7%	3 11%

* На хламидии были исследованы семенные пузырьки в 74 случаях



замнгликанами. Исследование показало, что по сравнению с нормальными семенными пузырьками, в воспалительных участках резко падает количество НМПС, в то время как количество сульфатированных гликозамингликанов значительно возрастает.

Результаты микробиологических исследований ткани семенных пузырьков представлены в таблице.

Из данных явствует, что среди обследованных 84 лиц в возрасте от 18 до 40 лет в 39,3% случаев семенные пузырьки инфицированы бактериальной флорой. Основным возбудителем оказался — энтерококк, в единичных случаях выявлялся эпидермальный стафилококк и кишечная палочка.

У лиц в возрастной группе 41—55 лет в нормальных семенных пузырьках наблюдается лишь понижение высоты выстилающего эпителия. В тех случаях, где наблюдались воспалительные изменения, отмечается резкое нарушение складчатости. Надо также отметить, что полости семенных пузырьков резко сужены и между складками слизистой оболочки образуется узкая щель, вызванная разрастанием наружной адвентициальной оболочки. В большинстве случаев собственная пластинка резко утолщена. Стенки полости семенных пузырьков лишь местами выстланы эпителием, остальные части полностью оголены. Воспалительные инфильтраты были разной величины, располагались под эпителием и в строме, содержали лимфо-гистоцитарные и плазматические клетки. В некоторых случаях в инфильтратах преобладали сегментоядерные нейтрофильные лейкоциты.

Гистохимические исследования показали, что в воспалительных участках количество НМПС резко уменьшено, в то время как уровень сульфатированных гликозамингликанов значительно возрастает.

Данные микробиологических исследований ткани семенных пузырьков у лиц в группе 41—55 лет были схожи с таковыми в возрасте от 18 до 40 лет, хотя отмечается несколько меньшее число случаев инфицирования (см. табл.). Наиболее часто встречающийся возбудитель — энтерококк, реже — кишечная палочка и эпидермальный стафилококк.

В возрастной группе 56—75 лет в семенных пузырьках структура нарушена. В участках эпителии теряют строение, в других пластиинки полностью оголены от эпителиальных клеток и создают крупную ячеистую структуру; значительная часть этих клеток слущена и выявляется в полостях скоплениями (рис. 2). С возрастом

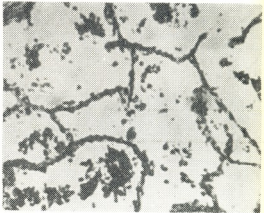


Рис. 2. Утолщение собственной пластиинки; возраст — 31 г. Окр. гематоксилин - зозином. х 108

(60 лет и выше) отмечается резкое разрастание соединительной ткани в адвентициальной части железы и значительное сужение полостей семенных пузырьков, а складчатость слизистой оболочки, как правило, полностью отсутствует. В большинстве случаев окаймляет полость эпителиальный покров разной толщины. Воспалительные инфильтраты разной величины, располагающиеся под эпителием и в строме, чаще содержат сегментоядерные нейтрофили, реже лимфоидные лейкоциты с примесью плазматических клеток.

Гистохимические исследования показали резкое увеличение количества сульфатированных гликозамингликанов, в то время как количество НМПС значительно снижено.

При изучении видового состава возбудителей, выяснилось, что преобладающим здесь оказался энтерококк; однако выявлена несколько большая частота инфицирования органа кишечной палочкой, по сравнению с предыдущими исследованиями.



В секрете семенных пузырьков трихомонады не были выявлены, а хламидийная инфекция в соскобах везикул обнаруживается достаточно часто (таблица).

Таким образом, в выявленных нами случаях везикулитов острый воспалительный процесс характеризуется крупными инфильтратами, расположеннымми в основном в подэпителиальном слое и состоящими преимущественно из сегментоядерных лейкоцитов. В пределах инфильтратов ШИК-позитивные вещества почти отсутствуют, в то время как сульфатированные гликозамингликаны содержатся в большом количестве.

Хронический везикулит характеризуется разрастанием соединительной ткани, мелкими инфильтратами, расположеннымми в основном в строме и состоящими преимущественно из лимфоидных и плазматических клеток. В инфильтратах наблюдается ШИК-позитивная реакция и отсутствие сульфатированных гликозамингликанов.

Воспалительный процесс в семенных пузырьках вызван условно патогенными микроорганизмами. Среди выделенных культур в подавляющем большинстве случаев обнаружен энтерококк (26,6%), сравнительно реже — кишечная палочка (6,9%) и эпидермальный стафилококк (5,6%), хламиды обнаружены в 10,8 случаев.

ЛИТЕРАТУРА

1. Авгушенко С. С. Клинико-лабораторное изучение роли микоплазм при воспалительных заболеваниях мужского мочеполового тракта, Автореф. канд. дисс., Л., 1973.
2. Войно-Ясенецкий А. М., Веневский В. Г. Урология и нефрология, 4, 58—59, 1976.
3. Гаврилюк И. А., Гаврилюк Н. А. Врач. дело, 8, 108—113, 1977.
4. Горпинченко И. И. Врач. дело, 5, 67—70, 1980.
5. Гришин М. А., Кукарецки Ю. В., Пеленин В. П. Проблемы сексапатологии и бесплодия, «Здоров'я», Киев, 1973, 49—51.
6. Нохуров А., Ким Т. Здравоохранение Туркменистана, 8, 21—22, 1975.
7. Синев Н. Ф. Проблемы сексапатологии и бесплодия, «Здоров'я», Киев, 1973, 45—49.
8. Суходольская А. Е., Юнда И. Ф., Руденко А. В. Урология и нефрология, 2, 35—36, 1977.
9. Цулукидзе А. П. Хирургия мочевых и половых органов и забрюшинного пространства, М., 1959, 405—412.
10. Юнда И. Ф., Синев Н. Ф. Проблемы сексапатологии и бесплодия, «Здоров'я», Киев, 1973, 192—195.
11. Leader A. I. IAMA, 168, 8, 995—999, 1958.
12. Schachter I. N., Dawson C. R. Human Chlamydial Infections, Littleton, 122, 1978.

30% от всех мужчин с определенными симптомами в семенных пузырьках и 20% от мужчин с бесплодием

8. Задеев А.М., А. Садыкова, Б. Абданова, В. Каневский, М. Овчинников

Следует отметить, что в семенных пузырьках обнаружены хламидии, а также инфекции, вызываемые кишечной палочкой и эпидермальным стафилококком.

Литература

Следует отметить, что в семенных пузырьках обнаружены хламидии, а также инфекции, вызываемые кишечной палочкой и эпидермальным стафилококком.

Мы хотим выразить благодарность

за предоставленную информацию о хламидиях в семенных пузырьках, а также за помощь в выполнении исследования. Мы благодарим профессора А. П. Цулукидзе за предоставленную информацию о хламидиях в семенных пузырьках, а также за помощь в выполнении исследования.



უბანში ნეიტრალური მუკოპოლისაქარი-
დები თითქმის არ ვლინდება, იმ დროს,
როდესაც სულფატირებული გლიკოზამინ-
გლუკანები დიდი რაოდენობითაა.

ქრონიკული ვეზიკულიტები ხასიათდე-
ბა შემაერთი ქსოვილის გამრავლებით,
მცირე ზომის ინფილტრატებით, რომლე-
ბიც ძირითადად სტრომაშია განლაგებული

და შედგებიან ლიმფოიდური ჭიათურების
რი უგრედებისაგან.

ინფილტრაციის უბანში ნეიტრალური
მუკოპოლისაქარიდები საკმაო რაოდენო-
ბითაა, იმ დროს როდესაც სულფატირე-
ბული გლიკოზამინგლუკანები არ ვლინდე-
ბიან.

SOME DATA OF MORPHOHISTOCHEMICAL AND MICROBIOLOGICAL STUDY OF VESICULITIS

G. A. VADACHKORIA, R. G. SALAKAIA, N. B. AMIRIAN, M. O. CHKHEIDZE,
O. V. TSINTSADZE

A. Tsulukidze Institute of Urology, Georgian Ministry of Health, Tbilisi, USSR

Summary

Some morphohistochemical and microbiological changes in vesiculitis in the patients of different ages were studied in autopsy material.

In acute vesiculitis the inflammatory changes are characterized by large infiltrates disposed mainly under the epithelial layer, mostly containing neutral segment—nuclear leucocytes. In the site of infiltration there is hardly any mucopolysaccharides, while there is abund-

ance of sulphated glycosaminoglycans.

Chronic vesiculitis is characterized by generation of connective tissue, small size infiltrates that are mainly located in the stroma and are composed of lymphoid and plasmatic cells.

In the site of infiltration there is a sufficient amount of neutral mucopolysaccharides, while no sulphated glycosaminoglycans can be found.

УДК 577.154

БІОХІМІЯ

ГІББЕРЕЛЛІНСВЯЗЫВАЮЩИЙ БЕЛОК В КЛЕТКАХ ЭПІКОТИЛЕЙ ФАСОЛИ

Н. Н. Тевзадзе, Д. И. Джохадзе

Інститут біохімії растеній АН ГССР, Тбіліси

Поступила в редакцию 09.06.88

С целью выявления локализации гиббереллинспецифического фактора в растительных клетках исследовались отдельные клеточные фракции эпикотилей фасоли по их способности связываться с гормоном. Инкубация в соответствующих условиях клеточных ядер, хлоропластов и фракций микросом с митохондриями с радиоактивным гиббереллином показала, что сродство с гормоном обнаруживается в основном в пробах с ядрами и хлоропластами. Показано также, что фактор, специфически связывающийся с гормоном, присутствует в кариоплазме ядер эпикотилей фасоли. Установлена белковая природа фактора, выявлены его некоторые физико-химические характеристики.

Исследования последних лет, касающиеся механизмов действия фитогормонов в регуляции функционирования генетического аппарата клетки, привели к выводу, что эффект этих веществ осуществляется с помощью специфических факторов, так называемых рецепторных белков. Такие белки идентифицированы и частично охарактеризованы для ауксинов [6], цитокининов [2], некоторых видов гиббереллина [11]. Имеются литературные данные о существовании фитогормонсвязывающих белков, выделенных из клеточных мембран [12], цитоплазмы [11] и ядер [5, 10].

Опытами, выполненными в нашей лаборатории, было показано, что гибберелловая кислота ($\text{ГК-}\text{A}_3$) стиму-

лирует эндогенную транскрипционную активность клеточных ядер и хроматина молодых листьев фасоли. При этом, с пересчетом на количество ДНК, степень стимуляции гораздо сильнее выражена в ядрах, чем в хроматине [3]. На основании этих данных было высказано предположение о присутствии в ядрах гиббереллинспецифического фактора, который принимает участие в фитогормонависимой стимуляции процесса транскрипции и, по-видимому, теряется при выделении хроматина из ядер.

В настоящей работе приводятся экспериментальные данные об этом факторе, в частности, о его локализации в клетках эпикотилей фасоли и его природе.

МАТЕРИАЛЫ И МЕТОДИКА

В качестве объекта были использованы молодые 6—8-дневные растения фасоли (*Phaseolus vulgaris*; сорт «Мухранула»). Для определения локализации в клетке фактора, специфически связываемого с $\text{ГК-}\text{A}_3$, из эпикотилей фасоли получали отдельные клеточные фракции. Препарацию

проводили следующим образом: эпикотили гомогенизировали в тканеизмельчителе типа РТ-1 с ножами, врачающимися со скоростью 8 000 об/мин. Гомогенизацию проводили в среде выделения (вес:объем — 1:5), содержащей следующие компоненты: Трис- HCl , pH 7,8 — 50 mM;

сахарозу — 400 мМ; MgCl₂ — 10 мМ; 2-меркаптоэтанол — 10 мМ. Гомогенат центрифугировали при 1200 г в течение 10 мин. Из осадка препарировали ядра и хлоропласты по методу Боттомлея и др. [7], модифицированному в нашей лаборатории [1]. Цитоплазматическую фракцию получали центрифугированием супернатанта при 105 000 g в течение 2 ч. Супернатант содержал цитозоль, а осадок — грубую микросомальную фракцию с митохондриями. Чистоту фракций ядер и хлоропластов контролировали с помощью светового микроскопа. Для получения ядерного сока кариоплазмы ядра лизировали гипотоническим шоком в растворе, содержащем: Трис-HCl, pH 7,5 — 50 мМ; MgCl₂ — 10 мМ; NaCl — 50 мМ; фенилметилсульфонилфторид — 3 мкМ; 2 меркаптоэтанол — 10 мМ. Смесь суспензировали в ручном стеклянном гомогенизаторе в течение 10 мин. Суспензию центрифугировали при 1000 g в течение 10 мин. В супернатанте, представляющем кариоплазму, определяли способность связывания с гиббереллином.

Определение специфического связывания различными клеточными фракциями с гормоном проводили их инкубацией с радиоактивной гибберелловой кислотой (¹⁴C-ГК, Amersham, удельная активность 370 МБк/мМ) в среде, содержащей следующие компоненты: Трис-HCl, pH 7,5 — 50 мМ; MgCl₂ — 10 мМ; CaCl₂ — 1 мМ; фенилметилсульфонилфторид — 3 мкМ; ¹⁴C-ГК — 1 нМ. Условно такая смесь обозначалась как «А». Во второй смеси, обозначенной «Б», содержались те же компоненты и 1000-кратное количество немеченоей ГК-А₃ (в конечной концентрации 1 мкМ). Пробы инкубировали при 0°C в течение 90 мин, после чего наносили на стекловолокнистые фильтры (GF/B,

Whatman). Пробы с фракциями цитозоля и кариоплазмы наносили на фильтры, заранее обработанные 0,3%-ным раствором полиэтиленамина, pH 10, после чего фильтры приобретали положительный заряд и способность удерживать макромолекулы с помощью электростатических сил. Их тщательно промывали холодной инкубационной средой без ГК и после высушивания на сцинтиляционном счетчике измеряли радиоактивность SL-30, «InterTechnique» (Франция). О наличии гиббереллинсвязывающего фактора в данной фракции и степени его связывания с ¹⁴C-ГК судили по разнице радиоактивности между общим связыванием ¹⁴C-ГК (пробы «А») и связыванием в присутствии немеченого гормона (пробы «Б»). Радиоактивность проб пересчитывали на количество общего белка в данной фракции [9].

Дополнительную проверку специфического связывания ¹⁴C-ГК кариоплазматическими фракциями эпикотиляй фасоли проводили с помощью гель-фильтрации на колонке сефадекса G-25 (1×11 см). Элюцию проводили буфером, содержащим: Трис-HCl, pH 7,5 — 50 мМ; MgCl₂ — 10 мМ; NaCl — 100 мМ; фенилметилсульфонилфторид — 3 мкМ; 2-меркаптоэтанол — 10 мМ. Собирали фракции по 5 мл и определяли содержание белка и радиоактивность [9].

Для подтверждения того, что ¹⁴C-ГК связывается именно с белком, в отдельные пробы инкубационной смеси добавляли фермент протеиназу (Fluka, AG). Количество белка определяли по методу Бретфорда [8].

В таблицах представлены средние трех параллельных определений трех разных опытов. Результаты обрабатывались статистическим методом для малых выборок [4].

РЕЗУЛЬТАТЫ ИССЛЕДОВАНИЯ И ИХ ОБСУЖДЕНИЕ

В табл. 1 приведены результаты опытов, в которых разные клеточные фракции испытывались на способность связывания ¹⁴C-ГК. Из этих данных видно, что ¹⁴C-ГК наиболее интенсивно связывается с фракциями ядер и хлоропластов, а с фракциями цитозоля и микросом с митохондриями специфическое связыва-

ние в описанных условиях не наблюдается. Эти данные свидетельствуют о том, что в клетках эпикотилей фасоли присутствует макромолекулярный фактор, обладающий способностью связываться с ¹⁴C-ГК и в основном сосредоточенный в ядрах клетки эпикотиляй фасоли. В табл. 2 приведены результаты опытов, в которых

связанные с ^{14}C -ГК цитоплазматические и кариоплазматические макромолекулы фильтровались на предварительно обработанных раствором полиэтиленимина фильтрах, после чего опасность потери растворимых белков цитозоля и кариоплазмы во время фильтрации на GF/B фильтрах отпадает. Результаты, приведенные в табл. 2, показывают, что специфическое связывание, наблюдаемое в фракциях кариоплазмы, довольно высокое, что придает убедительность результатам табл. 1.

Для подтверждения полученных результатов белки кариоплазмы, связанные с ^{14}C -ГК, наносили на колонку сефадекса G-25 и проводили гель-фильтрацию со скоростью 2 мл/ч. Неспецифическое связывание определяли, как обычно, разведением ^{14}C -ГК 1000-кратным избытком немеченного гормона. Гель-фильтрацию проводили в описанных в методике условиях. Результаты представлены на рис. 2, который показывает, что в зоне выхода белка с колонки общее связывание было намного выше, чем

Таблица 1

Связывание ^{14}C -ГК отдельными клеточными фракциями эпикотилей фасоли

Клеточная фракция	Радиоактивность, имп/мин на мг белка		
	Общее связывание ("A")	Неспецифическое связывание ("B")	Специфическое связывание в % ("A" — "B")
Целый гомогенат ткани	47190 ± 908	27520 ± 1376	41
Цитозоль	44950 ± 3399	42790 ± 1716	5
Ядра	68640 ± 4728	37330 ± 1866	46
Хлоропласти	49810 ± 1261	31470 ± 1573	36
Микросомальная фракция с митохондриями	24530 ± 1612	22530 ± 1351	8

Доказательством того, что фактор кариоплазмы эпикотилей фасоли, связывающийся с ^{14}C -ГК, является белком, могут служить результаты, приведенные на рис. 1, согласно которым при добавлении протеиназы в инкубационную смесь для связывания ^{14}C -ГК с ядерными фракциями, специфическое связывание гормона не наблюдается.

неспецифическое. Это еще раз свидетельствует о специфическом связывании гормона с кариоплазматическими фракциями эпикотилей фасоли и косвенно указывает на белковую природу связывающего фактора.

Резюмируя полученные экспериментальные данные, можно заключить, что в клетках эпикотилей фа-

Таблица 2

Связывание ^{14}C -ГК ядерными и цитоплазматическими фракциями из листьев эпикотилей фасоли

Фракция	Радиоактивность, имп/мин на мг белка		
	Общее связывание ("A")	Неспецифическое связывание ("B")	Специфическое связывание в % ("A" — "B")
Кариоплазма	21200 ± 1150	8864 ± 443	58
Цитозоль	3900 ± 286	1125 ± 67	28

согласно присутствует фактор белковой природы, обладающий способностью специфически связываться с ^{14}C -ГК и в основном локализованный в кариоплазме ядер, хотя идентификация

изучаемого белка или гормон-белкового комплекса из цитоплазмы в ядро клетки. Можно предположить, что гиббереллинсвязывающий белок является рецепторным белком гормона.

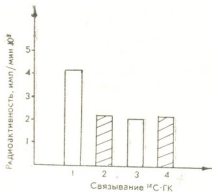


Рис. 1. Влияние протеиназы на связывание ^{14}C -ГК кариоплазмой эпикотиля фасоли: 1 — кариоплазма+ ^{14}C -ГК (контроль); 2 — кариоплазма+1000-кратное количество ГК-А₃; 3 — кариоплазма+протеиназа; 4 — кариоплазма+протеиназа±1000-кратное количество ГК - А₃

таких белков в ядерных фракциях клетки эпикотиля фасоли не исключает возможности перехода части

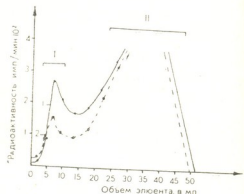


Рис. 2. Связывание ^{14}C -ГК ядерными белками эпикотиля фасоли при гель-фильтрации на мини-колонках Sephadex G-25: 1 — общее связывание; 2 — неспецифическое связывание; I — зона выхода белка; II — зона выхода свободного ^{14}C -ГК

на или же белком, имеющим сродство к ГК и принимающим участие в гиббереллинзависимой активации процесса транскрипции.

ЛИТЕРАТУРА

- Джохадзе Д. И., Балашвили М. И. Биохимия, 41, 1, 161—165, 1976.
- Романов Г. А., Таран В. Я., Хвойка Л., Кулаева О. Н. Физиол. раст., 33, 1, 93—103, 1985.
- Тевзадзе Н. Н., Амзашвили М. Г., Джохадзе Д. И. Физиол. раст., 30, 2, 404—406, 1983.
- Терентьев П. В., Ростова Н. С. Практикум по биометрии, Л., 1977, 28—30.
- Федина А. Б., Бурханова Э. А., Харченко В. И. Физиол. раст., 34, 2, 324—327, 1987.
- W. Bottomly, D. Spenser, A. Whiffeld, P. Arch. Biochem., 143, 1, 269—275, 1971.
- M. Bradford, Anal. Biochemistry, 72, 248—254, 1976.
- R. Brans, R. F. Lawson-Wendling, K. Pugsley, T. A. Anal. Biochemistry, 132, 1, 74—79, 1983.
- T. Niponogi, S. Yukiko, K. Tadaski, Plant and cell physiol., 24, 6, 1087—1092, 1983.
- B. Keith, S. Brown, L. M. Srivastava, Proc. Natl. Acad. Sci. USA, 79, 5, 1515—1520, 1982.
- M. Lobler, D. Klammt, J. Biol. Chem., 260, 17, 9848—9857, 1985.

6. თბილისი, დ. ჭოხაძი

საქართველოს სსრ მეცნიერებათა აკადემიის მცენარეთა ბიოქიმიის ინსტიტუტი,
 თბილისი

ჩ ე ზ ი უ მ ე

მცენარეულ უჯრედში გიბერელინსპეციფიური ცილის იდენტიფიკაციისა და
 ლინგვალიზაციის დადგენის მიზნით, შეისწავლებოდა პორმონის სპეციფიური კავშირი ლობიოს ეპიკოტილების სხვადასხვა უჯრედულ ფრაქტიურში.

ბირთვების, ქლოროპლასტების, მიკროსომებისა და ციტოპლაზმური ფრაქტიურების ინკუბაციით რადიაქტიურ გიბერელინთან, დადგენილია უჯრედულ ბირთვებსა და ქლოროპლასტებში გიბერე-

ლინსპეციფიური ფაქტორის არსებობა. ნაჩენებია აგრეთვე, რომ ეს ფაქტორი ლოკალიზებულია ლობიოს ეპიკოტილების ბირთვების კარიოპლაზმაში.

დადგენილია პორმონსპეციფიური ფაქტორის ცილოვანი ბუნება და მისი ზოგიერთი ფიზიკო-ქიმიური მახასიათებელი. მიღებული შედეგების საფუძველზე გამოთქმულია აზრი ლობიოს ეპიკოტილების უჯრედების ბირთვებში გიბერელინსპეციფიური ცილის არსებობის შესახებ.

GIBBERELLIN-BINDING PROTEIN IN THE CELLS OF KIDNEY BEAN EPICOTYLS

N. N. TEVZADZE, D. I. JOKHADZE

Institute of Plant Biochemistry, Georgian Academy of Sciences, Tbilisi, USSR

Summary

With a view to identifying the localization of gibberellin specific factor in the plant cells the specific binding of gibberellin acid to cell fractions was studied.

Incubation of nuclear, chloroplast, microsome and cytosome fractions with gibberellin revealed the presence of gibberellin specific factor. This factor was

shown to be localized in the nuclear cytoplasm of kidney bean epicotyls.

This hormone specific factor was shown to be of protein nature and some of its physico-chemical characteristics were established.

The results obtained indicate the presence of gibberellin binding protein in plant cells and its localization in the cytoplasm of nuclei.

УДК 612.015/127.002 : 616.127/099 : 621.311

ФАРМАКОЛОГИЯ

ДЕЙСТВИЕ ИНОЗИНА, ОКСИФЕДРИНА, КОНТРИКАЛА И
РАЗЛИЧНЫХ ИХ КОМБИНАЦИЙ НА ЭНЕРГЕТИЧЕСКУЮ
ОБЕСПЕЧЕННОСТЬ И СОКРАТИТЕЛЬНУЮ СПОСОБНОСТЬ
СИСТЕМЫ КОНТРАКТИЛЬНЫХ БЕЛКОВ МИОКАРДА
ПРИ ОККЛЮЗИИ КОРОНАРНОЙ АРТЕРИИ В ЗОНЕ ИШЕМИИ
И ВНЕИШЕМИЧЕСКИХ ОБЛАСТЯХ СЕРДЦА

Н. Н. Кипшидзе, Н. В. Қарсанов, Т. Н. Мачитадзе, Э. И. Гучуа

Институт экспериментальной и клинической терапии МЗ ГССР, Тбилиси

Поступила в редакцию 30.05.88

В острых опытах на собаках с окклюзией коронарной артерии 2—2,5-часовой продолжительности, проведенных в условиях открытой грудной клетки и управляемого дыхания атмосферным воздухом, показано, что одноразовое внутривенное введение инозина (40 мг/кг) совместно с оксифедрином (0,25—0,5 мг/кг) или контрикала капельно (10 тыс. ед.) полностью устраняет энергодефицитное состояние миокарда и нормализует сократительную способность системы контрактильных белков миокарда не только внеишемической области левого и правого желудочков сердца, но и зоны ишемии. Только инозин или только оксифедрин в той же дозе, что и в комбинации, оказывают более мягкое действие — нормализуют сократительную активность системы контрактильных белков миокарда лишь внеишемической области левого и не затронутого ишемией правого желудочков и повышают синтез АТФ ровно настолько, чтобы его содержание осталось в пределах величины, наблюдаемой при ишемии. При этом о влиянии инозина на синтез адениловых нуклеотидов свидетельствует повышение общего содержания нуклеотидов.

Применение контрикала в комбинации с инозином и дополнительной дозой гепарина заметного дополнительного влияния на энергетику не оказывает, но сократительные свойства системы контрактильных белков зоны ишемии повышают в большей степени, чем один только контрикал. Комбинация контрикала с инозином и оксифедрином, если не считать повышения в миокарде правого желудочка в случае применения оксифедрина АДФ (что может отражать чрезмерную активацию его сократительной деятельности или отставание в ресинтезе АТФ) и связанного с этим увеличения общего содержания адениловых нуклеотидов и снижения отношения АТФ/АДФ, также дополнительного эффекта не дает.

Лечение инфаркта миокарда в раннем периоде развития заболевания комбинацией инозина с оксифедрином и контрикалом рассматривается как патогенетическая терапия.

Лечение инфаркта миокарда, осложненного острой недостаточностью сердца и кардиогенным шоком, представляет трудную задачу, так как требует применения лекарств, стимулирующих сократительную активность сердца — увеличение расхода

энергии, АТФ, что в условиях энергетического дефицита, особенно в зоне ишемии, приводит к ее расширению и росту числа некротизирующихся кардиомиоцитов. Поэтому поиск средств и их комбинаций, которые наряду со стимулированием сократи-

тельной активности контракtilного аппарата клетки сбалансировано активировали бы синтез АТФ, представляет важную практическую задачу.

Установлено, что инозин [21, 50, 59, 74, 81, 85, 87], оксифедрин [13, 36], а также контрикал [23, 45] и их различные комбинации при инфаркте миокарда [45, 46, 52] и окклюзии коронарной артерии в эксперименте [23, 45, 46] оказывают положительное инотропное действие [13, 21, 74, 81] и улучшают периферическое кровообращение [21, 26, 63].

Также установлено, что инозин свое воздействие на ишемизированный миокард осуществляет путем стимулирования синтеза адениловых и гуаниловых нуклеотидов [64, 85, 86], включаясь в нуклеотиды [79] после распада до гипоксантина [86, 88], активации образования АТФ [80], резкого усиления коронарного кровотока [31, 43, 47, 74, 82] и коллатерального кровообращения [66], в частности, через табезиевые сосуды [68].

Оксифедрин [83] (и его отечественный аналог ионахлазин [12]) в малой дозе действует как частичный бета-адренергический агонист (значительно более слабый, чем адреналин [13]) и повышает содержание в миокарде цАМФ [48, 71], а в высокой — как ингибитор [13, 71, 76]. Он тоже усиливает коронарный кровоток [31, 43, 47, 74, 82] и коллатеральное кровообращение в зоне ишемии [13, 36, 47, 60, 77] и в связи с этим особенно полезен больным с низким коронарным резервом и на-

чальными признаками недостаточности сердца [22]. Применение оксифедрина уменьшает приступы [23, 36, 39, 40], улучшает ЭКГ показатель, повышает толерантность к физической нагрузке [10, 31, 39, 40], а в остром периоде инфаркта миокарда предотвращает развитие недостаточности сердца [6].

Контрикал свое действие производит путем угнетения калликреин-кининовой системы, активность которой при инфаркте миокарда [4, 7, 8, 9, 19, 30, 35] и окклюзии коронарной артерии [8, 9] возрастает. В результате увеличивается продукция вазоактивных пептидов, что ведет к нарушению микроциркуляции, усугублению ишемии и снижению сократительной функции миокарда [25, 45]. Контрикал снимает этот момент и тем самым улучшает коронарное кровообращение.

Оказалось, что контикал [26, 27, 42, 56, 58], инозин [53], оксифедрин [60] и их различные комбинации, активируя сократительную деятельность сердца, одновременно ограничивают зону некрозации миокарда.

Наше настоящее исследование посвящено выяснению характера действия этих препаратов при окклюзии коронарной артерии на сократительную способность системы контракильных белков миокарда и энергетическую обеспеченность мышцы сердца зоны ишемии, внеишемической области левого и не «затронутого» ишемией правого желудочка сердца.

МАТЕРИАЛ И МЕТОДЫ ИССЛЕДОВАНИЯ

Работа проведена на тех же беспородных собаках обоего пола массой 16—25 кг, на которых в условиях открытой грудной клетки изучено действие одноразового введения инозина, оксифедрина, контикала и различных их комбинаций на внутрижелудочковую гемодинамику при окклюзии коронарной артерии 2—2,5-часовой продолжительности путем оценки кривой левожелудочкового давления (Р), его первой производной (dP/dt), индекса сократимости Верагута и конечного диастолического давления [23, 24].

Острая очаговая ишемия миокарда воспроизводилась путем перевязки передней исходящей коронарной артерии в средней ее трети под эфирным наркозом. При этом премедикацию проводили смесью фентанила (0,005% — 2 мл), димедрола (1% — 1 мл) и дроперидола (0,25% — 2 мл); вводный наркоз осуществляли тиопенталом натрия (1—2 мл через 30—40 мин после премедикации); интубацию трахеи — после введения листенона (2% — 3 мл); искусственную вентиляцию легких — атмосфер-

ным воздухом с парами эфира через респиратор РО-5 (500—600 мл/кг веса животного). Левостороннюю торакотомию проводили в IV или V межреберье. Для предотвращения тромбирования катетеров животным предварительно вводили 1 мл гепарина (10 тыс. ед.).

Лекарства вводили через 2—2,5 ч после перевязки коронарной артерии внутривенно из расчета: инозин (фирмы «Морисита фармацевтикал КолТД», Япония) — 40 мг/кг массы животного, оксифедрин (фирмы «Homburg Pharma Degussa», ФРГ) — 0,25—0,5 мг, контрикал (фирмы «Gesmed», ГДР) — 10 тысяч АТрЕ, а гепарин (СССР) — 10 тыс. ед. в сутки. При этом контрикал, разведенный в 100 мл физиологического раствора, вводили капельно в течение 45 мин.

Материал для исследований брали в момент максимального эффекта (в среднем через 30 мин после введения препарата). Нуклеотиды адениловой системы экстрагировали по Г. В. Воскобойникову [5], разделяли их на ионнообменной колонке с сильным анионитом (ДАУЭКС 1×4 100—200 меш (фирмы «Serva») в хлорной

РЕЗУЛЬТАТЫ ИССЛЕДОВАНИЯ

Влияние перевязки коронарной артерии 2—2,5-часовой продолжительности на энергетическую обеспеченность и сократительную способность системы контракtilных белков миокарда

Содержание АТФ в миокарде левого желудочка, не затронутого ишемией, снижается на 34,2% ($P < 0,001$), зоны ишемии на 36,7% ($P < 0,001$), а правого желудочка на 31,8% ($P < 0,01$). Содержание АДФ в соответственных участках сердца уменьшается на 13,9, 25,4 и 20% (во всех случаях недостоверно), а суммарное содержание нук-

Действие инозина, оксифедрина и их комбинации

Под воздействием одноразового внутривенного введения инозина и оксифедрина (табл. 1) в отдельности содержание АТФ в миокарде левого желудочка вне зоны ишемии, а также зоны ишемии и правого желудочка достоверно не изменяется. Но содержание АДФ, особенно под влиянием инозина, в миокарде всех этих

форме) и количественно определяли спектрофотометрически [1]. Энергетический заряд системы адениловых нуклеотидов рассчитывали по Аткинсон [49].

Сократительную способность системы контракtilных белков исследовали путем изучения сократительной способности пучков глицеринизированных волокон миокарда (ПГВМ). ПГВМ из трабекул левого и правого желудочек, а также зоны ишемии готовили по Сент-Дьерди, выдерживая их в 50%-ном глицерине один месяц. Напряжение, развиваемое ПГВМ, изучали в аукстоническом режиме сокращения в среде, содержащей 20 mM трип-НСl буфер, 50 mM KCl, 5 mM MgCl₂ (рН=8,2, рСа=5,7). Величину развивающегося ПГВМ напряжения измеряли тензометрически [15].

Достоверность различий средних определяли по формулам, предложенным для малых, разновеликих групп с использованием критерия t-Стюдента [2].

леотидов адениловой системы на 28,1 ($P < 0,01$), 33,3 ($P < 0,001$) и 33,4% ($P < 0,01$). Заряд системы АТФ—АДФ—АМФ ни в одном из исследованных участков миокарда существенно не изменяется, а отношение АТФ/АДФ достоверно падает (табл. 1).

Напряжение, развиваемое системой контракtilных белков миокарда этих областей, существенно уменьшается: левого желудочка, не затронутого ишемией, на 40,3%, зоны ишемии на 55,7%, а правого желудочка на 36,7% (P везде $< 0,001$) — табл. 1.

областей (кроме правого желудочка в случае применения оксифедрина, где его повышение относительно контроля недостоверно) существенно повышается и достигает во всех случаях уровня нормы. Общее содержание нуклеотидов адениловой системы во внешнечастной области миокарда левого и не затронутого ишемией правого же-

Таблица 1

Влияние иноцина, оксифедрина и их комбинации на энергетическую обеспеченность и сократительную способность ПГВМ различных отделов сердца при окклюзии коронарной артерии 2–2,5-часовой продолжительности ($\bar{x} \pm m$)

Желу- дочек	Группа, подгруппа	мкмоль/г сухой ткани						Напряжение сокращения в васосе ПГВМ (ПДДС) мН/мм ²
		АТФ	АДФ	АТФ+АДФ+АМФ	Энергетический заряд	АТФ/АДФ		
Левый	Инфарктное животное	[6]	3,42 ± 0,22	1,73 ± 0,22	6,19 ± 0,37 **	0,72 ± 0,02	2,37 ± 0,34	3,25 ± 0,22 (8)
	Контроль	[8]	2,38 ± 0,16	1,49 ± 0,10	4,45 ± 0,32	0,7 ± 0,01	1,62 ± 0,12	1,94 ± 0,12 (11)
	Инозин	[14]	2,22 ± 0,6*	2,4 ± 0,19	5,51 ± 0,32	0,63 ± 0,01 ** **	0,99 ± 0,10	3,0 ± 0,12 (10)
	Оксифедрин	[5]	2,51 ± 0,32	2,4 ± 0,38	5,94 ± 0,49	0,61 ± 0,04 ** §	1,1 ± 0,17 + 0,00 §§	3,99 ± 0,39 (8)
	Инозин — оксифедрин	[4]	2,81 ± 0,33	1,81 ± 0,23	6,45 ± 0,64	0,74 ± 0,02	2,14 ± 0,16	3,9 ± 0,69 (7)
	Контроль	[8]	2,29 ± 0,20	1,29 ± 0,09	4,13 ± 0,30	0,71 ± 0,02	1,77 ± 0,11	1,45 ± 0,09 (9)
	Инозин	[14]	2,36 ± 0,12	2,31 ± 0,19	5,55 ± 0,25	0,64 ± 0,01 **	1,14 ± 0,13	1,84 ± 0,21 (3)
	Оксифедрин	[5]	1,83 ± 0,33	1,68 ± 0,17	4,17 ± 0,29	0,63 ± 0,02	1,18 ± 0,31	—
	Инозин — оксифедрин	[4]	2,9 ± 0,23	1,98 ± 0,42	5,81 ± 0,72	0,66 ± 0,01	1,56 ± 0,16	1,96 ± 1,00 (2)
	Инфарктное животное	[6]	3,59 ± 0,28	1,68 ± 0,27	6,17 ± 0,47	0,72 ± 0,03	2,33 ± 0,44	3,05 ± 0,11 (8)
Правый	Инфарктное животное	[8]	2,47 ± 0,20	1,35 ± 0,19	4,11 ± 0,38	0,76 ± 0,01	2,0 ± 0,27	1,93 ± 0,17 (10)
	Контроль	[8]	2,21 ± 0,14	2,18 ± 0,23	5,29 ± 0,32	0,63 ± 0,02 ** **	1,22 ± 0,21	2,8 ± 0,28 (8)
	Инозин	[14]	2,03 ± 0,25	1,79 ± 0,14	4,91 ± 0,26	0,59 ± 0,03 ** **	1,15 ± 0,10	3,34 ± 0,29 (7)
	Оксифедрин	[5]	2,56 ± 0,13	1,9 ± 0,22	6,56 ± 0,24	0,69 ± 0,02 §	1,98 ± 0,33	3,71 ± 1,50 (2)

Сравнение: * — с нормой, + — с контролем, 0 — с действием инозина и § — с действием оксифедрина.

Одни знаки — $P < 0,05$, два — $< 0,01$, три — $< 0,001$. В скобках квадратных — число случаев, в которых исследована энергетическая обеспеченность миокарда, круглых — сократительная способность ПГВМ.



лудочка возрастает несущественно, но все же настолько, что уже достоверно не отличается от нормы. В зоне ишемии в случае применения инозина оно также достоверно повышается до нормы, но в случае применения оксифедрина существенно не изменяется. В связи с ростом содержания АДФ энергетический заряд системы и отношение АТФ/АДФ во всех исследованных участках существенно падает.

Сократительная способность системы контрактильных белков миокарда левого и правого желудочков как в случае применения инозина, так и оксифедрина также нормализуется, зоны же ишемии (исследовано только в случае инозина) выявляет тенденцию к повышению (табл. 1).

Комбинированное применение инозина с оксифедрином (табл. 1) ведет к полной нормализации содержания АТФ, АДФ, общего содержания нук-

Действие контрикала и его комбинации с инозином, а также комбинации с оксифедрином и гепарином

Применение контрикала при окклюзии коронарной артерии полностью нормализует содержание АТФ, АДФ, общее содержание адениловых нуклеотидов, энергетический заряд системы и отношение АТФ/АДФ (за исключением отношения АТФ/АДФ в зоне ишемии) во внешнемической и ишемической областях миокарда левого, а также правого желудочков сердца (табл. 2).

Сократительная способность системы контрактильных белков внешнемической области левого и правого желудочков под воздействием контрикала повышается на 44,3 и 46,1% соответственно, и достигает уровня нормальных значений. В зоне ишемии она существенно улучшается — по сравнению с контролем повышается на 35,2% (табл. 2).

Комбинация контрикала с инозином и гепарином, так же как один только контрикал, нормализует все показатели энергетической обеспеченности миокарда внешнемической области левого и правого желудочков сердца. В миокарде же зоны ишемии содержание АТФ повышается недостоверно. В связи с этим энергетический заряд системы адениловых нуклеотидов падает ниже контрольного уровня

леотидов адениловой системы, энергетического заряда и отношения АТФ/АДФ, причем не только в миокарде левого, свободного от ишемии, и правого желудочков, но и в миокарде зоны ишемии (табл. 1).

Сократительная способность системы контрактильных белков миокарда внешнемической области левого и правого желудочков также полностью нормализуется, а зоны ишемии существенно повышаются (но из-за малого числа случаев и большого их разброса это повышение недостоверно) — табл. 1.

Таким образом, действие комбинации оксифедрина с инозином на энергетическую обеспеченность миокарда левого и правого желудочков, а также зоны ишемии значительно более рельефно, чем каждого из этих препаратов в отдельности.

и ниже уровня, наблюдаемого при лечении одним только контрикалом (табл. 2).

Способность системы контрактильных белков внешнемической области миокарда левого и правого желудочков генерировать силу при этой комбинации, как и в случае применения одного только контрикала, возрастает до нормы. Сократительная способность системы контрактильных белков зоны ишемии тоже повышается настолько, что среднее значение развиваемого напряжения уже тоже достоверно не отличается от нормы (табл. 2).

Совместное применение контрикала с оксифедрином по сравнению с применением одного только контрикала и контрикала с инозином и гепарином дополнительного воздействия на энергетическое обеспечение левого желудочка, не затронутого ишемией, не оказывает, но в миокарде правого значительно увеличивается содержание АДФ. В связи с этим возрастает и общее содержание адениловых нуклеотидов, а энергетический заряд системы адениловых нуклеотидов и отношение АТФ/АДФ снижаются. В

зоне ишемии эта комбинация повышения АТФ не вызывает, а в отношении других показателей ведет себя как один только контрикал или комбинация контрикал—инозин—гепарин.

Внесение в комбинацию контрикал—оксифедрин дополнительно гепарина достоверного влияния на сократительную способность ПГВМ ни в одном из исследованных участков сердца не оказывает (влияние на энергетику этой комбинации не исследовано).

Таким образом, капельное введение одного только контрикала ведет к полной нормализации энергетической

ОБСУЖДЕНИЕ РЕЗУЛЬТАТОВ

Наши данные, полученные при окклюзии коронарной артерии, совпадают с ранее полученными результатами, свидетельствующими о снижении сократительной способности системы контрактильных белков миокарда не только зоны ишемии, но и всего сердца, totally [16, 18]. Из этих данных следует, что для восстановления сократительной способности сердца при очаговой ишемии миокарда необходимо восстановить сократительную способность системы контрактильных белков миокарда всего сердца, причем такими средствами, чтобы энергетическая обеспеченность миокарда и особенно зоны ишемии не ухудшалась (как это происходит, например, при чрезмерной стимуляции сократительной деятельности сердца под воздействием ильдамен-новодигаля при токсико-аллергическом миокардите [20] или применении порадреналина и гистамина [72]); а улучшалась.

В такой роли вполне удовлетворительным оказалось действие инозина, оксифедрина (особенно их комбинации) и контрикала.

Применение контрикала и особенно его комбинации с инозином, а также комбинации инозина с оксифедрином ведет к полной нормализации сократительной способности системы контрактильных белков миокарда не только внеишемической области левого и «незанитесованного» правого желудочков, но и зоны ишемии, что и лежит в основе, нужно считать, повышения сократительной деятельности сердца [23, 24], в том числе миокарда зоны ишемии [84]. При этом

обеспеченности и сократительной способности системы контрактильных белков, причем не только миокарда внеишемической области левого и правого желудочков, но и миокарда зоны ишемии. Комбинация его с инозином, оксифедрином и гепарином существенного дополнительного эффекта на систему энергетического обеспечения не оказывает, но сократительную способность системы контрактильных белков при комбинации с инозином (с оксифедрином не исследована) в зоне ишемии повышает в большей степени, чем один только контрикал.

весьма важно то, что применение этих средств ведет не к ухудшению энергетической обеспеченности (из-за увеличения расхода энергии), а к ее существенному улучшению, вплоть до полной нормализации, причем не только в миокарде правого и внеишемической области левого желудочков, но опять-таки и зоны ишемии.

Действие инозина и оксифедрина при их применении в отдельности в той же дозировке, что и в случае комбинированного использования, оказалось более мягким — нормализуется сократительная способность системы контрактильных белков миокарда внеишемической области левого и правого желудочков и отмечается тенденция к повышению сократительной способности этой системы зоны ишемии. А синтез АТФ возрастает, нужно считать, только во столько раз (о росте синтеза адениловых нуклеотидов свидетельствует, в свете литературных данных, увеличение их общего содержания, а о росте потребления АТФ — увеличение содержания АДФ, что, однако, одновременно может свидетельствовать и о недостаточном уровне ресинтеза АТФ), чтобы покрыть возросший расход энергии. Здесь уместно отметить, что и в условиях перфузии изолированного сердца инозин в концентрации 20 мкмоль к повышению содержания АТФ не ведет [5, 73, 75].

Влияние контракала и его комбинаций с инозином, оксифедрином и Гемарином на энергетическую обеспеченность и сократительную способность ПГВМ различных отделов сердца при охлаждении коронарной артерии 2–2,5-часовой продолжительности ($\bar{x} \pm m$)

Желу- дочек	Группа, подгруппа	Активность физиологической ткани					Напряжение, разви- вающее ПГВМ, мН/мм ²		
		АТФ	АДФ	АТФ+АДФ+АМФ	Энергетический заряд	АТФ/АДФ			
Почки	Интактное животное	[6]	3,62±0,22	1,73±0,22	6,19±0,37	0,72±0,22	2,27±0,34	3,25±0,22 (8)	
	Без зона гипоксии	Контроль	[8]	2,38±0,16	1,49±0,10	4,45±0,32	0,70±0,10	1,62±0,12	1,94±0,12 (11)
		Контрикал	[7]	3,59±0,19	1,99±0,22	6,63±0,21	0,69±0,02	1,93±0,23	2,80±0,45 (8)
		Контрикал-инози- негарин	[4]	3,56±0,06	1,50±0,18	5,91±0,51	0,72±0,08	2,56±0,32	2,63±0,82 (4)
		Контрикал-оксифед- рин	[6]	3,50±0,19	1,89±0,30	6,82±0,70	0,66±0,02	1,90±0,19	2,31±0,79 (4)
		Контрикал-оксифед- рин-гепарин	[7]					2,82±0,30	
	С зоной короткой артерии	Контроль	[8]	2,29±0,20	1,29±0,09	4,13±0,30	0,71±0,02	1,77±0,11	1,45±0,09 (3)
		Контрикал	[7]	3,16±0,21	1,93±0,21	6,15±0,53	0,67±0,02	1,53±0,11	1,96±0,21 (3)
		Контрикал-инози- негарин	[4]	2,56±0,29	1,88±0,29	5,92±0,74	0,59±0,02	1,39±0,09	2,60±0,26 (3)
		Контрикал-оксифед- рин	[6]	2,32±0,23	2,16±0,34	5,78±0,66	0,59±0,03	1,17±0,16	
		Контрикал-оксифед- рин-гепарин						1,99±0,23 (3)	

Признак	Окисление коронарной артерии	Группа	Инфарктное животное		Контроль		Контроль-оксифенорфин		Контроль-оксифенорфин-гензипин		Контикал-оксифенорфин-генерин		Контикал-оксифенорфин-генерин-гензипин		Контикал-оксифенорфин-генерин-гензипин		
			[6]	[8]	[8]	[8]	[7]	[8]	[8]	[8]	[8]	[8]	[8]	[8]	[8]	[8]	[8]
		Контроль	$3,59 \pm 0,28$	$1,68 \pm 0,27$	$6,17 \pm 0,47$	$0,72 \pm 0,03$	$2,33 \pm 0,44$	$3,05 \pm 0,02$	$0,05 \pm 0,01$	$2,0 \pm 0,27$	$1,93 \pm 0,17$	(10)					
		Контикал	$3,54 \pm 0,30$	$1,54 \pm 0,08$	$6,11 \pm 0,43$	$0,7 \pm 0,07$	$2,28 \pm 0,14$	$2,82 \pm 0,63$	(6)								
		Контикал-окси-гензипин	$2,85 \pm 0,33$	$1,58 \pm 0,12$	$5,31 \pm 0,30$	$0,65 \pm 0,04$	$1,8 \pm 0,11$	$2,18 \pm 0,55$	(5)								
		Контикал-окси-федрин	$3,61 \pm 0,26$	$3,16 \pm 0,46$	$8,10 \pm 0,85$	$0,64 \pm 0,02$	$1,21 \pm 0,20$	$2,47 \pm 0,06$	(5)								
		Контикал-окси-федрин-генерин														$2,49 \pm 0,34$	(6)

Сравнение: * — с нормой, + — с контролем, 0 — с действием контриката, § — с действием комбинации контриката — глюкозы. Один знак — $P < 0,05$, два — $< 0,01$, три — $< 0,001$.

В скобках: квадратных — число случаев, в которых исследована микротитическая обеспеченность миокарда, круглых — сократительная способность ПГМЧ.



Однако на основании наших данных [68] и данных Циммер [88], полученных при токсико-аллергическом миокардите и изопротереноловом повреждении миокарда соответственно, а также результатов Оседа и соавт. [51], наблюдавших повышение содержания АТФ в изолированном ишемизированном сердце, перфузируемом раствором, содержащим повышенные концентрации инозина — 50—200 мкмоль/л, и Дюваль-Арнольд и соавт. [57], полученных в условиях кардиоплегии (согласно им увеличение содержания в кардиоплегическом растворе инозина до 4 мМ предотвращает распад АТФ), можно ожидать, что и при окклюзии коронарной артерии повышение дозы инозина до 80—160 мг/кг массы [68, 88] и без комбинации с оксифедрином будет вести к полной нормализации содержания АТФ в миокарде зоны ишемии.

Если к разностороннему влиянию инозина на миокард [33] прибавить его превентивное действие, направленное на повышение толерантности кардиомиоцита к гипоксии [3, 41, 51, 61, 66] (таким же действием обладают оксифедрин [71] и гепарин [29]), а также его способность ускорять процессы репарации [34] (в результате повышения активности лизосомальных ферментов [34], а также активации выработки антител [69]) и организации участков повреждения [32] без исхода в фиброзно-склеротическую трансформацию [11], то использование инозина и его комбинации с оксифедрином, тоже способным предотвращать возникновение некрозов [78], или контрикалом (ограничивающим зону некротизации) в остром периоде инфаркта миокарда нужно признать патогенетически обоснованным. Тем более, что при ишемии (даже кратковременной — при приступе стенокардии [70]) и инфаркте миокарда имеет место потеря инозина и других продуктов деградации адениловых нуклеотидов [55, 62, 65].

Молекулярный механизм положительного инотропного действия инозина не выяснен. Кипсон и Хайт [72], а также Томас и соавт. [84] считают, что он не связан с действием инозина на содержание адениловых нуклеотидов. Нужно полагать, что определенное значение имеет действие инозина, направленное на повышение со-

держания в миокарде норадреналина [34]. Ксанецкий и Ноубл [54] говорят, что инозин блокирует десенсибилизирующее действие НАМФ на взаимодействие Ca^{2+} с сократительными белками.

Как инозин [32, 33, 34], так и контрикал (судя по многообразию действия кининов [9, 37]), а также гепарин [28, 29, 67] оказывают на кардиомиоцит сложное многостороннее действие. Проанализировать полностью это их действие в рамках настоящей статьи не представляется возможным. Но следует отметить, что повышение содержания АТФ в миокарде под воздействием контрикала может оказаться связанным, судя по данным [38], с его влиянием на окислительное фосфорилирование.

Результаты раздельного применения инозина и оксифедрина, приведенные в этой работе, а также данные, полученные на изолированных субклеточных структурах кардиомиоцита, свидетельствуют, что инозин оказывает преимущественное действие на энергетическую обеспеченность кардиомиоцита, а оксифедрин на транспорт Ca^{2+} через мембранные саркоплазматического ретикулума [14, 17].

Следует отметить подобное действие инозина на активность калликреин-кининовой системы [46]. Возможно, это явление частично объясняет то, что при совместном применении контрикала и инозина сократительная способность системы контрактильных белков стимулируется в большей степени, чем под воздействием одного только контрикала. Такое же ингибирующее действие на калликреин-кининовую систему оказывает и гепарин, чем и потенцирует действие контрикала [19]. Это, а также некоторое инотропное действие [44] вместе с действием гепарина, направленным на предотвращение тромбообразования, может быть одним из обоснований для введения гепарина в комбинацию.

Что касается комбинации контрикала с оксифедрином, то она, не давая преимущества перед применением одного только контрикала, судя по

значительному росту АДФ в правом желудочке, чрезмерно стимулирует сократительный процесс, в чем нет, по-видимому, надобности, за исключением особой тяжести недостаточно-



ЛИТЕРАТУРА

1. Баев А. А. Биохимия, 23, I, 104—176, 1958.
2. Бейли Н. Статистические методы в биологии, «Мир», М., 1964.
3. Беленький Е. Е., Соколов И. К., Клейменова Н. Н. Сог Vasa, 17, I, 57—65, 1975.
4. Веремеенко К. Н. Кининовая система, «Здоров'я», Киев, 1977.
5. Воскобойников Г. В. Биохимия, 31, 5, 1041—1045, 1966.
6. Гавог Г., Вайкау Г., Келтай М., Векес М. В кн.: Новые терапевтические возможности при лечении ишемической болезни сердца с особым вниманием к препарату Ильдамен (Оксифедрин), Мат. симп., М., 1976, 95—101.
7. Голиков А. П., Ивлева В. И., Майоров Н. И. Кровообращение, 7, 2, 26—29, 1974.
8. Гомазков О. А. Кардиология, 13, 7, 130—144, 1973.
9. Дзизинский А. А., Гомазков О. А. Кинины в физиологии и патологии сердечно-сосудистой системы, «Наука», Новосибирск, 1976.
10. Замотаев И. П., Ругенис Ю. Ю., Лозинский Л. Г. В кн.: Новые терапевтические возможности при лечении ишемической болезни сердца с особым вниманием к препарату Ильдамен (Оксифедрин). Мат. симп., М., 1976, 79—88.
11. Зелди И. П. Фармакологическая регуляция регенераторных процессов в эксперименте и клинике, Горький, 1978, 38—47.
12. Каверина Н. В., Чичкалов Г. Г., Чумбуридзе В. Б. В кн.: Новые терапевтические возможности при лечении ишемической болезни сердца с особым вниманием к препарату Ильдамен (Оксифедрин), Мат. симп., М., 1976, 31—38.
13. Каштагеиер Н. В. кн.: Новые терапевтические возможности при лечении ишемической болезни сердца с особым вниманием к препарату Ильдамен (Оксифедрин), Мат. симп., М., 1976, 39—47.
14. Карсанов Н. В., Гучуа Э. И. Изв. АН ГССР, сер. биол., 10, 4, 244—257, 1984.
15. Карсанов Н. В., Магаладзе В. А., Мамулашвили Л. Д. Тр. Инта клин. и эксп. кардиологии им. акад. М. Д. Цинамдзгвишили, X—XI, Тбилиси, 1971, 287—294.
16. Карсанов Н. В., Мамулашвили Л. Д., Пирцхалайшвили М. П., Гиоргая Э. Г. Тез. докл. 2-го Всес. съезда кардиологов, 2, М., 1973, 123—124.
17. Карсанов Н. В., Хугашвили З. Г., Мамулашвили Л. Д., Гучуа Э. И. Изв. АН ГССР, сер. биол., 8, 6, 393—399, 1982.
18. Карсанов Н. В., Чилая С. М., Пирцхалайшвили М. П. Современные проблемы кардиологии, Тбилиси, 1976, 252—254.
19. Кательницкая Л. И. Кровообращение, 16, 2, 6—9, 1983.
20. Кипшидзе Н. Н., Карсанов Н. В., Гучуа Э. И., Мачитадзе Т. Н. Актуальные проблемы терапии, «Мецниреба», Тбилиси, 1980, 157—167.
21. Кипшидзе Н. Н., Коротков А. А., Чапидзе Г. Э. Кардиология, 18, 3, 19—28, 1978.
22. Комаров Ф. И., Ольбинская Л. И., Северова Т. М. В кн.: Новые терапевтические возможности при лечении ишемической болезни сердца с особым вниманием к препарату Ильдамен (Оксифедрин), Мат. симп., М., 1976, 109—117.
23. Коротков А. А., Карсанов Н. В., Бохуа М. Р. Проблемы клинической и экспериментальной фармакологии и побочных действий лекарственных средств, Тбилиси, 1981, 35—37.
24. Коротков А. А., Карсанов Н. В., Мачитадзе Т. Н. Кардиология-76, Мат. съезда, Каунас, 1976, 299—300.
25. Лазарева С. А., Беркалиева С. Ч., Пальчикова Р. П., Кравченко И. Г. Инфаркт миокарда, Изд-во Харьковского мед. ин-та, 1977, 48—55.
26. Лазутин В. К., Сметнев А. С., Запевалов М. В. Кардиология, 21, 1, 21—27, 1981.

27. Лещинский Л. А., Пименов Л. Т., Суднева Л. И. Кардиология, 21, 8, 38—43, 1981.
 28. Макарова В. Г. Кардиология, 13, II, 120—122, 1973.
 29. Макарова В. Г. Фармакол. и токсикол., 40, I, 36—40, 1977.
 30. Малая Л. Т., Беркалиева С. Ч., Лазарева С. А. Вестник АМН СССР, 3, 30—40, 1973.
 31. Метелица В. И., Чазова Л. В., Григорьянц Р. А. В кн.: Новые терапевтические возможности при лечении ишемической болезни сердца с особым вниманием к препарату Ильдамен (Оксифедрин), Мат. симп., М., 1976, 55—66.
 32. Николаева Л. Ф., Черлаченко Н. М., Веселова С. П., Соколова Р. И. Метаболизм миокарда, М., 1975, 410—430.
 33. Николаева Л. Ф., Черлаченко Н. М., Соколова Р. И. Кардиология, II, 8, 111—114, 1971.
 34. Николаева Л. Ф., Черлаченко Н. М., Соколова Р. И. Кардиология, 15, 124—131, 1975.
 35. Панченко А. Л., Киселев В. И., Лебедев Н. М. Тер. архив, 54, 8, 83—85, 1982.
 36. Parratt J. R. В кн.: Новые терапевтические возможности при лечении ишемической болезни сердца с особым вниманием к препарату Ильдамен (Оксифедрин), Мат. симп., М., 1976, 16—30.
 37. Пасхина Т. С. Вестник АМН СССР, 9, 50—56, 1982.
 38. Петрунь Н. М., Кримкевич Е. И., Никулина Г. Г. Укр. биохим. журн., 53, 3, 84—90, 1981.
 39. Савенков П. М., Николащенко Т. Г., Щербакин Д. Д., Грудчин Г. В. В кн.: Новые терапевтические возможности при лечении ишемической болезни сердца с особым вниманием к препарату Ильдамен (Оксифедрин), Мат. симп., М., 1976, 89—94.
 40. Sternitzke N. В кн.: Новые терапевтические возможности при лечении ишемической болезни сердца с особым вниманием к препарату Ильдамен (Оксифедрин), Мат. симп., М., 1976, 67—78.
 41. Ступин И. В., Новокшонов А. И., Каплан Э. Я. Cor Vasa, 23, 5, 382—390, 1981.
 42. Суднева Л. Н., Пименов Л. Т. Тер. архив, 54, 12, 72—77, 1982.
 43. Szekeres L. В кн.: Новые терапевтические возможности при лечении ишемической болезни сердца с особым вниманием к препарату Ильдамен (Оксифедрин). Мат. симп., М., 1976, 6—15.
 44. Фролов В. А., Демурдзе Л. А., Ефимова Л. В. Кардиология, 20, 7, 92—95, 1980.
 45. Чумбуридзе И. Т., Коротков А. А., Ткемаладзе Л. М., Марсагишвили Л. А. Актуальные проблемы терапии, «Медицнерба», Тбилиси, 1980, 286—292.
 46. Чумбуридзе И. Т., Коротков А. А., Ткемаладзе Л. М. Кровообращение, 15, 3, 21—26, 1982.
 47. Hahn N., Felix R. В кн.: Новые терапевтические возможности при лечении ишемической болезни сердца с особым вниманием к препарату Ильдамен (Оксифедрин), Мат. симп., М., 1976, 48—54.
 48. Эдишерашвили Н. О. Респ. научн.-конф. молодых медиков Грузии, Бакуриани, 1983, 144.
 49. Atkinson D. E. Biochemistry, 7, II, 4030—4034, 1968.
 50. Aigouousseau M., Rouge M., Huet Y., Albert C. Ann. Pharm. Franc., 33, 2, 99—107, 1975.
 51. Aussedat J., Verdys M., Rossi A. Can. J. Physiol. Pharmacol., 63, 9, 1159—1164, 1985.
 52. Birch G. E., De Pasquale N. P. Amer. Heart J., 65, 116—123, 1963.
 53. Czarniecki W., Herbaczynska-Cedro K. Clin. Physiol., 2, 3, 189—197, 1982.
 54. Czarniecki W., Noble M. I. M. Cardiovasc. Res., 17, 12, 735—739, 1983.
 55. De Jong J. W., Goldstein S. Recent Advances in Studies on Cardiac Structure and Metabolism, 7, Baltimore, 153—159, 1976.
 56. Diaz P. E., Fishbein M. C., Davis M. A. Amer. J. Cardiol., 40, 541—549, 1977.
 57. Duval-Agnold M., Ingwall J. S., Menasche P., Fosseille E. T. Circulation, 64, 4, 148, 1981.
 58. Eisenbach J., Heine H. Pharmacol. Res. Commun., 9, 79—92, 1977.
 59. Facon G., Lavagetto M. J., Collard M., Evrard J. C. Therapie, 21, 4, 1239—1252, 1966.
 60. Felix R., Hahn N. Action of Oxyfedrine "F.K. Schattauer Verlag", Stuttgart-New York, 233—242, 1972.
 61. Goldhaber S. Z., Pohost G. M., Kloner R. A. Circulat. Res., 51, 2, 181—188, 1982.
 62. Goldstein S., De Young Y. W. Basic Res. Cardiol., 69, 4, 361—370, 1974.



63. Harmjanz D., Chachován M., Pixberg H. U. Action of Oxyfedrine "F. K. Schattauer Verlag", Stuttgart—New York, 1972. 269—272.
64. Harmsen E., De Tombe P. P., De Yong J. W., Achterberg P. W. Amer. J. Physiol., 246, H37 — H43, 1984.
65. Imai S., Riley A. L., Berne R. M. Circulat. Res., 15, 443—450, 1964.
66. Juhasz-Nagy A., Papp L., Szabó Z. J. Mol. Cell Cardiol., 15, 7, 296, 1983.
67. Karli J. M., Karikas G. A., Lewis G. M., Moulopoulos S. N. Biochem. Biophys. Res. Commun., 81, 1, 168 — 175, 1978.
68. Kipshidze N. N., Karsanov N. V., Chichinadze N. A. Meth. Find Exp. Clin. Pharmacol., 5, 163 — 170, 1983.
69. Kleine N., Fetta F., Wangler M. Therapiewoche, 30, 14, 2463—2466, 1980.
70. Kugler G. Basic Res. Cardiol., 73, 5, 523—533, 1978.
71. Kukovetz W. R., Pöch G. Action of Oxyfedrine, "F. K. Schattauer Verlag", Stuttgart—New York, 1972. 35—106.
72. Kypson J., Hait G. J. Pharmacol. Exp. Ther., 204, 1, 149—158, 1978.
73. Liu M. S., Feinberg H. Amer. J. Physiol., 220, 1242—1248, 1971.
74. Moore G. E., Parratt J. R. Action of Oxyfedrine "F. K. Schattauer Verlag", Stuttgart—New York, 1972, 181—192.
75. Nam D. H. Circulat. Res., 33, 686 — 695, 1973.
76. Papp J. G., Szekeres L. Action of Oxyfedrine, "F. K. Schattauer Verlag", Stuttgart—New York, 1972, 3—139.
77. Parratt J. R., Ledingham I. McA. Action of Oxyfedrine, "F. K. Schattauer Verlag", Stuttgart—New York, 1972, 201—208.
78. Plamenae P., Stern P. Wien. Klin. Wschr. 2, 35—36, 1970.
79. Rubio R., Wiedmeier V. T., Berne R. M. Amer. J. Physiol., 222, 550 — 555, 1972.
80. Sarashiki Y., Suzuki T., Mackawa A. J. Vitaminol. (Kyoto), 7, 271 — 275, 1961.
81. Smiseth O. A. Cardiovasc. Res., 17, 192—199, 1983.
82. Szekeres L., Udvaray E., Mamaraasz K. Action of Oxyfedrine, "F. K. Schattauer Verlag", Stuttgart — New York, 1972, 209—217.
83. Thiemer K., Stadler R., Schlichtegroll A. Arzneim. Forsch. (Drug. Res.), 18, 4, 388—396, 1968.
84. Thomas J. X., Jones C. E. Exp. Biol. Med., 161, 4, 468—472, 1979.
85. Tsuboi K. K., Buckley N. M. Circulat. Res., 16, 343—352, 1965.
86. Wiedmeier V. T., Rubio R., Berne R. M. J. Mol. Cell Cardiol., 4, 5, 445—452, 1972.
87. Wollard K. V., Kingaby R. O., Lab M. J. Cardiovasc. Res., 1981, 15, 11, 659—667, 1981.
88. Zimmer H. G. J. Mol. Cell Cardiol., 15, 7, 295, 1983.

ინოზინის, ოქსიფედრინის, კონტრიბალის და გათი სევალასება კომპინაციის მოქმედება მიოკარდის ენერგეტიკულ მომარტინას და კონტრაკტულ ცილინდის სისტომის ზეპუშვის უნარზე გუმინის ზონასა და გულის არაიზინის უგანჯი კონტრაკტული არტერიის ჰილუზის დროს

6. ჭილაძე, 6. ჯარალოვი, თ. გარიბაძე, ქ. გ. გრიგორიანი

სიქრონულ განმრთელობის დაცვის საშინატროს ჩესტუბლიური სამუნიციურო-კვლევითი სამედიცინო ბიოფიზიკის ცენტრი, თბილისი

რეზიუმე

მწვევე ცდებში ძალლებშე, 2—2,5 სათიანი კოლუმბის ღროს, რომელიც მიმდინარეობდა გახსნილი გულის ყაფაზისა და ტრისფერული პერიოდ სუნთქვის მართვის პირობებში, ნაჩვენებია, რომ ინო-

ზინის ერთჯერადი შეცვანა ვენაში (40 მგ/კგ) ოქსიფედრინთან ერთად (0,25—0,5 მგ/კგ) ან კონტრიკალი წევობით (10 000 ერთ.) მოლიანად ხსნის მიოკარდის ენერგოლეფიურულ მდგომარეობას და იწვევს

მიოკარდის კონტრაქტული ცილების შეკუმშვის მთლიან ნორმალიზაციის არა მხოლოდ გულის მარცხენა და მარჯვენა პარკუსების არაშემოურ უბანში, არამედ იშემის ზონაშიც. ინოზინი და ოქსიფედრინი ცალკულურ იმავე დოზით, როგორც კომპინიაციშია, მოქმედებენ უფრო რბილი — იშვევენ მიოკარდის კონტრაქტული ცილების სისტემის შეკუმშვაღობის უნარის ნორმალიზაციის, მხოლოდ მარცხენა არაშემოურ უბანში და მარჯვენა პარკუში, რომელსაც იშემია არ შეხებია, და ზრდიან ატფ-ის სინთეზს ზუსტად იძენან, რომ მისი სიდიდე რჩება იშემის ფარგლებში. ამასთან დენილოვანი სისტემის ნუკლეოტიდებზე ინოზინის გავლენაზე მოწმობს ნუკლეოტიდების საერთო შემცველობის გაზრდა.

კონტრიკალის გამოყენება კომპინაციაში ინოზინთან და ოქსიფედრინთან, ასევე არ ძლევა და მატებით ეფექტს. თუ არ მიეიღებთ მხედველობაში აღფ-ის მომატებას მიოკარდის მარცხენა პარკუში იქსინუფედრინის გამოყენებისას (რომელიც გამოხატავს კუმშვალი მოქმედების ძლიერ გააქტიურებას ან აღფ-ის რესინთეზის ჩამორჩენას) და ამასთან დაკავშირებით დენილოვანი ნუკლეოტიდების სერთო რაოდენობის ზრდას და ატფ/აღფ თანააზრობის შემცირებას.

კონტრიკალის კომპინაცია ინოზინთან და ოქსიფედრინთან, ასევე არ ძლევა და მატებით ეფექტს. თუ არ მიეიღებთ მხედველობაში აღფ-ის მომატებას მიოკარდის მარცხენა პარკუში იქსინუფედრინის გამოყენებისას (რომელიც გამოხატავს კუმშვალი მოქმედების ძლიერ გააქტიურებას ან აღფ-ის რესინთეზის ჩამორჩენას) და ამასთან დაკავშირებით დენილოვანი ნუკლეოტიდების სერთო რაოდენობის ზრდას.

მიოკარდის ინფარქტის მცურნალობა დაკავდების განვითარების აღრეულ პერიოდში ინოზინის ოქსიფედრინთან და კონტრიკალთან კომპინაციით გაზისილება, როგორც პაოგენეზური თერაპია.

EFFECT OF INOSINE, OXYFEDRINE, CONTRICAL AND THEIR VARIOUS COMBINATIONS ON ENERGY SUPPLY AND CONTRACTIBILITY OF MYOCARDIAL CONTRACTILE PROTEIN SYSTEM IN CORONARY ARTERY OCCLUSION IN ISCHEMIC AND NON-ISCHEMIC CARDIAC AREAS

N. N. KIPSHIDZE, N. V. KARSANOV, T. N. MACHITADZE, E. I. GUCHUA

Institute of Experimental and Clinical Therapy, Georgian Ministry of Health, Tbilisi, USSR

Summary

It has been shown in acute experiments on dogs with coronary artery occlusion of 2–2.5 hr duration under open chest and controlled atmosphere breathing condition that single intravenous inosine injection (40mg/kg) combined with oxyfedrine (0.25–0.5 mg/kg) or contrical by drops (10 000 units) entirely eliminates energy deficiency of myocardium and brings the contractility of myocardial contractile protein system to complete norm not only in non-ischemic area of the left and right ventricles, but in ischemic one as well. Inosi-

ne or oxyfedrine alone in the same dose as well as in combination have milder effect — they normalize the contractile activity of myocardial contractile protein system in non-ischemic area of the left ventricle and in ischemia unaffected right ventricle only, and increase ATP synthesis just as much as to maintain its concentration range observed in ischemia. At the same time, the rise of total nucleotide amount confirms inosine effect on adenylate nucleotide synthesis.

Administration of contrical combined with inosine and an extra dose of hepa-

rin does not significantly affect the energy supply, but increases the contractibility of contractile protein system in ischemic area to a greater extent than contrical alone. Combination of contrical with inosine and oxyfedrine does not produce an additional effect, if not taking into consideration an ADP rise in the myocardial right ventricle during oxyfedrine administration (which may reflect

its excessive contractility activation or ATP resynthesis delay) and the associated rise of adenylate nucleotide total amount and decrease of ATP/ADP ratio.

Treatment of myocardial infarction at the early stages of its development by inosine, oxyfedrine and contrical combinations is regarded as pathogenetic therapy.

УДК 591.484

ЦИТОЛОГИЯ

ФОТОРЕЦЕПТОРЫ И ЗРИТЕЛЬНЫЕ ПИГМЕНТЫ СЕТЧАТОК НЕКОТОРЫХ ЗМЕЙ

В. И. Говардовский, Н. И. Чхеидзе

Институт зоологии АН ГССР, Тбилиси

Институт эволюционной физиологии и биохимии им. И. М. Сеченова АН СССР,
Ленинград

Поступила в редакцию 15.01.88

При помощи световой и электронной микроскопии и микроспектрофотометрии изучены сетчатки гадюки обыкновенной, гюрзы, ящерицкой змеи и медянки. Сетчатка гадюк и медянки содержит палочки, большие и малые одиночные колбочки и двойные колбочки; в сетчатке ящерицкой змеи палочек и малых одиночных колбочек нет. Палочки и колбочки изученных змей имеют ультраструктуру, типичную для соответствующих фоторецепторов большинства других позвоночных. Диски наружных сегментов палочек замкнуты и не связаны с наружной плазматической мембраной, в колбочках диски являются складками этой мембранны. Размеры синаптических терминалей и число постсинаптических отростков в них у палочек значительно меньше, чем у колбочек. Наружные сегменты больших одиночных колбочек и центральных компонентов двойных клеток содержат нодопсин с максимумом поглощения при 550—560 нм, палочки содержат родопсин-500. Зрительные пигменты малых одиночных колбочек и боковых компонентов двойных клеток не идентифицированы. Обсуждается возможная связь палочек и колбочек змей с фоторецепторами других позвоночных.

Из сетчаток позвоночных сетчатка змей является наименее изученной современными методами. После фундаментальных светомикроскопических исследований 35—45-летней давности [9, 11] появились только немногочисленные электронномикроскопические описания отдельных внутриклеточных структур в фоторецепторах змей [10, 12]. Зрительный пигмент палочек изучен только у гремучей змеи *Crotalus viridis helleri* [6], колбочковые зрительные пигменты неизвестны. В то же время сетчатка змей представляет исключительный интерес, так

как существенно отличается от сетчаток других рептилий. По мнению Уоллса [11], у змей встречается большее количество разнообразных типов фоторецепторов, чем у остальных позвоночных, вместе взятых; связь их с соответствующими клетками ящериц неясна [7, 10]. Поэтому мы выполнили электронномикроскопическое исследование сетчаток нескольких видов змей и попытались при помощи микроспектрофотометрии определить зрительные пигменты, содержащиеся в палочках и колбочках.

МАТЕРИАЛ И МЕТОДЫ

Исследовались сетчатки гадюки обыкновенной (*Vipera berus*) и гюрзы (*V. lebetina*) — сем. Viperidae, ящерицкой змеи (*Malpolon monspessulanus*) и медянки (*Coronella austriaca*) — сем. Colubridae. Животные

адаптировались к темноте в течение не менее 12 часов, глаза извлекались при темно-красном свете после декапитации. Обычно сетчатка одного глаза использовалась для микроспектрофотометрического изучения зри-

тельных пигментов, а второй глаз фиксировался для гистологического исследования. Фиксация 2%-ным раствором глютаральдегида на 0,15 M коллидиновом или фосфатном буфере pH 7,3—7,4 продолжалась 2—4 ч. Затем следовала промывка буфером, дофиксация 1,5 ч 1%-ным OsO₄, обезвоживание в спиртах и заливка в ЭПОН-812. Тонкие (2—3 мкм) срезы для световой микроскопии окрашивались толуидиновым синим, про-

сматривались и фотографировались в микроскопе Opton. Ультратонкие срезы контрастировались цитратом сернико-и изучались в электронном микроскопе JEM-100B (JEOL) и Hitachi HU-11B (Hitachi). Микроспектрофотометрия зрительных пигментов одиночных фоторецепторов проводилась по методике, описанной ранее [3], на приборе, сконструированном в ИЭФИБ АН СССР.

РЕЗУЛЬТАТЫ ИССЛЕДОВАНИЯ И ИХ ОБСУЖДЕНИЕ

Сетчатка гадюк (*V. berus*, *V. lebetina*) содержит фоторецепторы пяти типов: палочки, двойные колбочки, большие и малые одиночные колбочки. В центральной части глаза гюрзы фоторецепторы располагаются в два слоя. Ближайший к наружной пограничной мемbrane (НПМ) слой занимают плотно упакованные внутренние и наружные сегменты палочек,

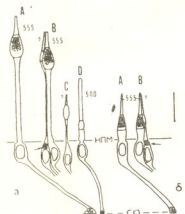


Рис. 1. Схема строения рецепторного слоя сетчатки гюрзы (а) и ящерицы (б): А—D—обозначения типов фоторецепторов по [10]; А — большая одиночная, В — двойная, С — малая одиночная колбочки; D — палочка (цифры около наружных сегментов показывают положение максимума поглощения содержащегося в них зрительного пигмента в нм); НПМ — уровень наружной пограничной мембранны; СО — синаптические окончания рецепторов; стрелки — парануклеарные тельца; масштаб — 20 мкм

между которыми проходят тонкие длинные миоиды колбочек. Эллипсоиды и наружные сегменты больших одиночных колбочек образуют дистальный слой. Двойные колбочки и

малые одиночные колбочки занимают промежуточное положение (рис. 1а). В периферических областях сетчатки гюрзы и в сетчатке гадюки обыкно-

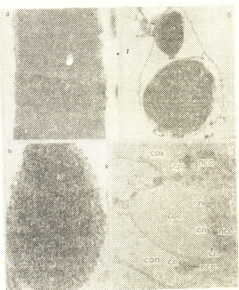


Рис. 2. Ультраструктура палочек и колбочек в сетчатке гадюк: а — наружный сегмент палочки гадюки обыкновенной; б — поперечный срез наружных сегментов двойной колбочки гюрзы (стрелки указывают участок связи дисков с плазматической мембраной); в — эллипсоид большой одиночной колбочки сетчатки гюрзы; г — синаптическое окончание палочки (СОП) и колбочки (СОК) в сетчатке гюрзы; СЛ — синаптические ленты; ПСО — постсинаптические окончания; масштаб 1 мкм

венный такого отчетливого разделения на слои нет.

Палочки гадюк по ультраструктуре сходны с палочками других позвоночных. Их наружные сегменты имеют цилиндрическую форму, мембранны

ные диски полностью замкнуты и не соединяются ни друг с другом, ни с наружной плазматической мембраной (рис. 2а). Большие одиночные колбочки и толстые (центральные) компоненты двойных клеток имеют массивные округлые эллипсоиды и конические наружные сегменты. Эллипсоид тонкого компонента двойной колбочки имеет малый диаметр и плотно прилегает к боковой поверхности эллипса толстого компонента. Наружные сегменты компонентов двойных колбочек скреплены заходящими друг за друга выростами плазматической мембранны и образуют единую светооспринимающую структуру (рис. 2б). Диски наружных сегментов всех колбочек, включая малые одиночные, связанны с плазматической мембраной и фактически являются ее складками.

Замечательной особенностью эллипсов больших одиночных колбочек и центральных компонентов двойных клеток является присутствие в их митохондриях многочисленных электронноплотных гранул (рис. 2в). Митохондрии, расположенные в узком пояске на периферии эллипса, имеют небольшие размеры и нормальную структуру. Кристы в них хорошо выражены, плотные гранулы размером 25—30 нм встречаются редко и похожи на типичные гранулы гликогена. Концентрация гранул и их размеры закономерно возрастают от периферии к центру и от базального к апикальному полюсу эллипса. У вершины эллипса все пространство митохондрий занято гранулами размером до 150—200 нм. Гранулы состоят из электронноплотной оболочки и относительно светлого ядра, и часто имеют не окружную, а почти точно кубическую форму (рис. 2в). Электронноплотные гранулы ответственны за высокий коэффициент преломления эллипса, придающий ему светофокусирующие свойства [8, 10]. Митохондрии эллипсов палочек, малых одиночных колбочек и боковых компонентов двойных клеток таких гранул не содержат.

Внутренние сегменты фоторецепторов содержат обычный синтетический аппарат: мембранные гладкой и шероховатой эндоплазматической сети, свободные рибосомы, комплексы Гольджи. Параболоиды, характер-

ных для колбочек других рептилий, в колбочках изученных нами *Эмодиус* нет даже вакуолей, которые отсутствуют от этих структур в фоторецепторах каймана [3]. В области НПМ фоторецепторы всех типов имеют многочисленные радиальные выросты — ребра. Ребра соседних клеток заходят друг за друга наподобие зубцов шестеренки.

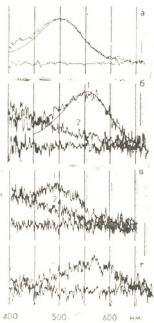


Рис. 3. Зарегистрированные на микроспектрофотометре спектры поглощения одиночных наружных сегментов фоторецепторов горьбы (а, б) и гадюки обыкновенной (в, г): а, в — палочки; б, г — колбочки; кривая 1 — спектр до, 2 — после обесцвечивания зрительного пигмента; нижние кривые на всех записях — нулевая линия; гладкие кривые — стандартные спектры пигмента — 502 (а) и 556 (б); калибровка оптической плотности 0,01

Сразу под НПМ в боковых компонентах двойных колбочек располагается описанное еще под световым микроскопом [11] парануклеарное тельце. Оно представляет собой компактное скопление митохондрий, вполне подобных митохондриям эллипса той же клетки [10, 12]. Наружный ядерный слой в центральной части сетчатки горьбы состоит из 3—5 рядов ядер; в расположении в нем ядер палочек и колбочек не на-

блудается определенной закономерностью. У гадюки обыкновенной ядра палочек располагаются в два ряда — ядра колбочек ближе к НПМ, ядра палочек — дальше от нее.

Специфической особенностью сетчаток всех изученных нами змей, выраженной особенно отчетливо у гюрзы и ящеричной змеи, является наличие широкого слоя синаптических отростков, которые соединяют ядро-содержащие части клеток с собственными синаптическими терминалями (рис. 1). Отростки идут от ядер к наружному сетчатому слою не вертикально, а наклонно, расходясь радиально от центра глаза. Поэтому синаптическое окончание рецептора может быть расположено довольно далеко в стороне от тела клетки. Слой отростков может по толщине превосходить наружный ядерный слой. Синаптические терминали палочек у гадюк имеют вид тонкого (2—3 мкм) отростка с закругленным основанием, в которое врастает компактный пучок дендритов вторых нейронов. У колбочек синаптический отросток в области терминали расширяется в ножку диаметром до 6—8 мкм, с плоским основанием. Многочисленные постсинаптические отростки не глубоко вдаются в это основание по всей его поверхности (рис. 2г). Наряду с инвагинирующими синапсами у колбочек часто наблюдаются поверхностные контакты. Пресинаптическая цитоплазма содержит обычные для фоторецепторов позвоночных светлые синаптические пузырьки диаметром 40—60 нм и синаптические ленты, располагающиеся напротив инвагинирующих синапсов (рис. 2г). Внутренний ядерный слой хорошо развит и состоит из 5—10 рядов плотно упакованных ядер. Ганглиозные клетки мелкие и образуют непрерывный слой.

Сетчатка ящеричной змеи содержит только большие одиночные колбочки и двойные колбочки. По форме эти клетки заметно отличаются от колбочек гадюк. Они имеют короткие толстые цилиндрические миоиды; эллипсоиды по диаметру не превосходят миоиды и конусообразно сужаются к вершине, переходя в конические наружные сегменты (рис. 1б). На ультраструктурном уровне, однако, существенных отличий меж-

ду колбочками этих змей нет. У медянки при помощи электронного микроскопа мы нашли только три из пяти колбочек, что и у ящеричной змеи. Судя по микроспектрофотометрическим данным, в этой сетчатке имеются также немногочисленные палочки. Под световым микроскопом у медянки описаны также малые одиночные колбочки, которые еще более редки, чем палочки [10]. Нам их обнаружить не удалось. По внешней форме и ультраструктуре колбочки медянки очень похожи на колбочки ящеричной змеи.

При микроспектрофотометрическом исследовании в сетчатках гадюк были обнаружены зрительные пигменты с максимумом поглощения при 550—560 нм (иодопсин, всего 39 клеток) и около 500 нм (родопсин, всего 22 клетки) — рис. За-г. Родопсин находился в наружных сегментах палочек, иодопсин — в больших одиночных колбочках и в толстых компонентах двойных клеток. Малые одиночные колбочки встречаются очень редко, а наружный сегмент бокового компонента лежит вплотную к более массивному наружному сегменту центрального компонента двойной колбочки (рис. 2б). Кроме того, наружные сегменты этих клеток имеют небольшие размеры (диаметр около 1 мкм). Поэтому идентифицировать содержащиеся в них зрительные пигменты не удалось. С той же трудностью мы встретились и при микроспектрофотометрическом изучении сетчаток ящеричной змеи и медянки, фоторецепторы которых имеют еще меньшие размеры, чем у гадюк. Всего была зарегистрирована 21 колбочка с максимумом поглощения при 550—560 нм (7 у ящеричной змеи и 14 у медянки) и 3 палочки с родопсином-500 у медянки. Судя по форме спектров поглощения, зрительные пигменты основаны на ретинале-1.

Таким образом, ультраструктура фоторецепторов, изученных видов змей в общих чертах совпадает с типичной для соответствующих клеток большинства других позвоночных [2, 5, 7]. Палочки имеют цилиндрическую форму, диски их наружных сегментов замкнуты и отделены от плазматической мембранны. Колбочки име-

ют массивные эллипсоиды и небольшие конические наружные сегменты; диски наружных сегментов являются складками плазматической мембраны (рис. 1а, б). Синаптические окончания палочек имеют вид небольших сферул, с малым количеством постсинаптических отростков. Терминали колбочек образованы широкой ножкой, контактирующей с многочисленными дендритами вторых нейронов (рис. 2г).

Специфические для змей особенности структуры колбочек отражают их сложную эволюционную историю, которая включала длительный период скрытой жизни с падением роли зрения [11]. Это привело к утрате внутриклеточных светопреломляющих структур (масляной капли и параболоида), характерных для колбочек других дневных рептилий с высоко развитым зрением и служащих для улучшения качества изображения [1]. Восстановление роли зрения в экологии современных змей вызвало повторное образование уникальной для змей светопреломляющей структуры — заполненного плотным гранулатом эллипсоида (рис. 2в). В соответствии с правилом Долло эти структуры функционально аналогичны утраченной масляной капле, но не гомологичны ей.

Уоллс [11] предполагал, что у предков современных змей фоторецепторы полностью дедифференцировались, и затем палочки и колбочки должны были «создаваться» заново. Общее сходство их структуры с соответствующими рецепторами других позвоночных считается результатом конвергенции. Наши данные не позволяют поддержать эту теорию. Общность строения палочек и колбочек змей с палочками и колбочками других позвоночных отражается не только в сходстве их морфологии под световым микроскопом, но и распространяется на достаточно тонкие ультраструктурные детали. Сюда от-

носится, например, отличие в топологии дисков наружных сегментов между палочками и колбочками [12], отличие в организации синаптических связей этих клеток. Впервые идентифицированный нами зрительный пигмент колбочек змей по спектру поглощения соответствует типичному колбочковому иодопсину амфибий, ящериц и птиц [2]. Родопсин палочек гадюк и медянки, как и изученный ранее в биохимическом экстракте родопсин гремучей змеи [6], также не отличается от родопсина палочек большинства наземных позвоночных. Поэтому нет никаких оснований предполагать сложные взаимопревращения различных типов фоторецепторов у змей, как это делал Уоллс [11]. С нашими результатами вполне согласуется точка зрения Андервуда [10], который считал, что палочки и колбочки змей гомологичны соответствующим фоторецепторам других позвоночных.

Поскольку зрительные пигменты малых одиночных колбочек и боковых компонентов двойных колбочек остались неизвестными, пока нельзя сделать определенного вывода о наличии или отсутствии у змей цветового зрения. В электрофизиологическом эксперименте на глазу *V. berus* показано наличие двух типов фоторецепторов, по спектральной чувствительности примерно соответствующих иодопсину и родопсину [4]. Родопсин мог бы содержаться не только в палочках, но, как это известно для амфибий, и в одном из компонентов двойной колбочки. Малые одиночные колбочки черепах, и, вероятно, ящериц имеют коротковолновый (450—470 нм) зрительный пигмент [2]. Если бы такая же ситуация существовала у змей, то вместе с иодопсином-550 это создавало бы основу для трихроматического цветового зрения. Этот вопрос заслуживает дальнейшего изучения.

ЛИТЕРАТУРА

- Говардовский В. И., Головаевский Э. И., Зуева Л. В., Васильева И. В. Журн. эвол. биохим. и физiol., 17, 492—497, 1981.
- Говардовский В. И. В кн. Руководство по физиологии. Эволюционная физиология, 2, «Наука», Л., 1983, 229—261.
- Говардовский В. И., Чхеидзе Н. И., Зуева Л. В. Сенсорные системы, 1, 1987, 28—33.
- Орлов О. Ю., Максимова Е. Н. В сб.: Вопросы функциональной организации и эволюции зрительной системы позвоночных, «Наука», Л., 1973, 12—22.

5. Cohen A. I. In: *Handbook of sensory physiology*, 7/2, "Springer", Berlin — Heidelberg — New York, 1972, 63—110.
6. Crescitelli F. *Ann. N. Y. Acad. Sci.*, 74, 230—255, 1958.
7. Crescitelli F. In: *Handbook of sensory physiology*, 7/1., "Springer", Berlin — Heidelberg — New York, 1972, 247—363.
8. Tansley K., Johnson B. K. *Nature*, 178, 1285—1286, 1956.
9. Underwood G. *Nature*, 167, 183—185, 1951.
10. Underwood G. In: *Biology of the snake*, 2, Acad. Press, London — New York, 1970, 1—97.
11. Walls G. L. *The vertebrate eye and its adaptive radiation*, Michigan Univer. Press, 1942.
12. Yamada E., Ishikawa T., Hatae T. Sixth Int. Congr. Electr. Microsc., Kyoto, 2, 495—496, 1966.

ზოგიერთი გვილვაბის გადურის ფოტორეცეპტორები და მხედვილობის პიგმენტები

3. გოვარდოვსკი, ნ. ჩხეიძე

სსრ მეცნიერებათა აკადემიის სექტონოვის სახელობის ეკოლოგიური ფიზიოლოგიისა და ბიო-ქიმიის ინსტიტუტი, ლენინგრად
საქართველოს სსრ მეცნიერებათა აკადემიის ზოოლოგიის ინსტიტუტი, თბილისი

რეზიუმე

სინათლის და ელექტრონული მიკრო-სკოპიის და მიკროსპექტროფოტომეტრიის მეთოდებით შესწავლით იქნა ჩევულებრივი გველვესლის, ხელიყისებური გველვესა და სპილენდას ოვალის ბაღურა. გველვესლის და სპილენდას ბაღურა შეიცავს მხოლოდ ჩხირებს, დიდს და პატარა კოლბებს და ორმაგ კოლბებს. ხელიყისებრგველების ბაღურაში ჩხირები და პატარა კოლბები არ გვხვდება. შესწავლით გველვების ტვალის ბაღურის ჩხირები და კოლბები თავისი ულტრასტრუქტურით შეესატყვისება უმეტესი სხვა ხერხემლიანების ფოტორეცეპტორებს. ჩხირების გარეთა სეგმენტების დისკები და შულა და არ უერთდება გარეთა პლაზმატურ მებრანას, ხოლო კოლბების გარეთა მებრა-

ნის დისკები კი ამ მებრანის ნაოჭებს წარმოადგენს. ჩხირების სინაფსური და ბოლოებების ზომა და რიცხვი ცევრად უფრო მცირეა ვიდრე კოლბების. დიდი კოლბების გარეთა სეგმენტები და ორმაგი კოლბების ცენტრალური კომპონენტი შეიცავენ იოდოფოსინს მაქსიმუმი შთანთქმის სპექტრით 550—560 ნმ, ხოლო ჩხირები როდოფოსინს 500 პატარა კოლბების და ორმაგი კოლბების გვერდითი კომპონენტის მხედველობითი პიგმენტები არ არის იდენტიფიცირებული.

მსჯელობაა გველების კოლბებისა და ჩხირების და სხვა ხერხემლიანების ფოტორეცეპტორების შესაძლებელი კავშირების არსებობაზე.

RETINAL PHOTORECEPTORS AND VISUAL PIGMENTS IN CERTAIN SNAKES

V. I. GOVARDOVSKI, N. I. CHKHEIDZE

Sechenov Institute of Evolutionary Physiology and Biochemistry, USSR, Academy of Sciences,
Leningrad

Institute of Zoology, Georgian Academy of Sciences, Tbilisi, USSR

Summary

Retinas of two viperids (*V. berus*, *V. lebetina*) and two colubrids (*Malpolon monspessulanus* and *Coronella austriaca*) were studied by

light-and electron microscopy and by microspectrophotometry. *V. berus*, *V. lebetina* and *C. austriaca* possess rods, double cones, major and minor single



cones. *Malpolon* has neither rods nor minor single cones. Photoreceptor ultrastructure of snakes, in general, is similar to that of other vertebrates. Rod outer segment disks are closed sacs detached from the outer plasma membrane. In cones, disks there are invaginations of the plasma membrane. Synaptic terminals in rods are smaller and have smaller number of postsynaptic processes than in

cones. Major single cones and lateral members of double cones contain iodopsin absorbing maximally at 550—560 nm, whereas rods contain rhodopsin-500. Visual pigments of minor single cones and lateral members of double cells have not been identified. The relationship between snake's rods and cones and those of other vertebrates is discussed.

УДК 576.8 : 616.94—053.3 : 615.37

МИКРОБИОЛОГИЯ

ХАРАКТЕРИСТИКА БИОЛОГИЧЕСКИХ СВОЙСТВ И ЧУВСТВИТЕЛЬНОСТЬ К АНТИБИОТИКАМ ГРАМОТРИЦАТЕЛЬНЫХ БАКТЕРИЙ, ВЫДЕЛЕННЫХ ИЗ КРОВИ ДЕТЕЙ РАННЕГО ВОЗРАСТА

В. Е. Курашвили, Л. К. Вепхвадзе, З. В. Орджоникидзе,
Н. А. Майсурадзе, М. Г. Схиртладзе, И. Ш. Дгебуадзе

Тбилисский государственный институт усовершенствования врачей МЗ СССР

Поступила в редакцию 13.04.88

Из крови детей раннего возраста было выделено 547 культур грамотрицательных бактерий. Идентифицированные по 27 биологическим тестам все выделенные штаммы отнесены к следующим видам: *E. coli*, *E. aerogenes*, *E. cloacae*, *S. liquefaciens*, *K. pneumoniae*, *C. freundii*, *E. herbicola*, *A. calcoaceticus*, *P. alcaligenes*, *P. cepacia* и *F. meningosepticum*.

Наиболее активным препаратом в отношении всех условнопатогенных бактерий, выделенных из крови, оказался амикацин.

В последние десятилетия значительно увеличился удельный вес заболеваний, вызванных условнапатогенными микроорганизмами, все большее значение среди которых приобретают энтеробактерий, неферментирующие и другие виды бактерий, роль которых в инфекционной патологии была ранее мало известна [1—2].

В связи с отсутствием особенностей

МЕТОДИКА

Изучение биологических свойств грамотрицательных бактерий, выделенных из крови при детском сепсисе, производили по общепринятой методике.

С целью идентификации культур энтеробактерий исследовались следующие признаки микроорганизмов: подвижность, наличие ферментов оксидазы, уреазы, способность утилизировать цитрат Симонса и малонат натрия, разжижать желатину, образовывать индол и сероводород, давать реакции с метиловым красным и Фогеса-Проксауэра, способность

клинической картины заболеваний, вызванных условнапатогенными микроорганизмами, правильный и своевременный диагноз может быть поставлен только на основании бактериологической диагностики. Необходимость возможно быстрой микробиологической диагностики обуславливается также высокой устойчивостью выделенных штаммов к обычно используемым в клинике антибиотикам.

дезаминировать фенилаланин и декарбоксилировать лизин и орнитин, дегидрировать аргинин и ферментировать углеводы и многоатомные спирты — глюкозу, 5%-ную лактозу, маннит, сахарозу, мальтозу, ксилозу, сорбит, арабинозу, рамнозу, дульцит, инозит.

Для идентификации неферментирующих грамотрицательных бактерий культуры добавочно тестируются на подвижность в висячей капле; проводился и ОФ-тест на среде Хью-Лейфсона с 1% глюкозы и ксилозы.

Серологическое типирование (цитробактер) производили с помощью



диагностических агглютинирующих сывороток.

Чувствительность к антибиотикам выделенных культур изучалась диско-диффузионным методом с полукачественной оценкой полученных результатов.

Для зарубежных антибиотиков, в отношении которых отечественная медицинская промышленность дисков

не выпускает, чувствительность изучали методом серийных разведений на плотной питательной среде.

Изучена чувствительность к следующим антибиотикам: стрептомицину, левомицетину, тетрациклину, ампициллину, карбенициллину, полимиксину, канамицину, гентамицину, амикации — препаратам с неодинаковым механизмом действия на микробную клетку.

РЕЗУЛЬТАТЫ ИССЛЕДОВАНИЯ И ИХ ОБСУЖДЕНИЕ

Всего было выделено 547 культур грамотрицательных бактерий. Идентифицированные по 27 биологическим тестам все выделенные нами штаммы отнесены к видам: *E. coli* — 11, *E. aerogenes* — 173, *E. cloacae* — 33, *S. liquefaciens* — 172, *K. pneumoniae* — III, *C. freundii* — 8, *E. herbicola* — I.

Наряду с энтеробактериями было изолировано 38 неферментирующих грамотрицательных бактерий, которые по морфологическим, культуральным и биохимическим свойствам были отнесены к следующим родам и видам: *A. calcoaceticus* — 26, *P. alcaligenes* — 4, *P. serapacia* — 4 и *F. meningosepticum* — 4.

Биохимические свойства выделенных штаммов представлены в табл. 1. Анализ ферментативных свойств изученных культур показал, что штаммы обладают типичным комплексом свойств, что дало возможность идентифицировать их до вида и распределить их по таксонам.

Серотипирование штаммов цитробактер показало, что выделенные штаммы принадлежали к ОВ группе (6 штаммов) и ОА группе — 3 штамма. У трех штаммов выявлено наличие ВИ-антитела. Данные о чувствительности выделенных культур к антибиотикам отражены в табл. 2.

Анализ результатов изучения чувствительности показал, что условно-патогенные микроорганизмы, выделенные из крови, обладают высокой резистентностью к использованным в опытах антибактериальным препаратам. Так, из 173 штаммов *E. aerogenes* 137 (73,4%) оказались устойчивыми к стрептомицину, 125 (72,2%) — к левомицетину, 148 (85,5%) — к ампициллину, 122 (70,5%) — к карбенициллину, 161 (91%) — к канамицину, 147 (85,5%) — к тетрациклину. Несколько меньшая устойчивость наблюдалась к полимиксину и гентамицину, и почти все штаммы (за исключением двух) были чувствительными к амикации. Такая же высокая устойчивость к антибиотикам, кроме амикацина, наблюдалась у штаммов *E. cloacae*.

Еще более устойчивыми оказались штаммы *S. liquefaciens*. Подавляющее большинство культур оказались устойчивыми ко всем взятым в опыт антибиотикам, кроме амикацина, к которому были устойчивы лишь 5 культур, и только немногие штаммы проявляли чувствительность к полимиксину и в гораздо меньшей степени к остальным антибиотикам.

Высокая устойчивость ко всем антибиотикам, за исключением амикацина, выявлена у штаммов *K. pneumoniae*. Устойчивость этих микроорганизмов заслуживает особого внимания, виду того, что *S. liquefaciens* и *K. pneumoniae* выделяются чаще других грамотрицательных бактерий и вызывают наиболее тяжелые формы инфекции среди детей раннего возраста.

Что касается штаммов цитробактер, у них наибольшая чувствительность наблюдалась к аминогликозидам. Все штаммы цитробактер были чувствительны к амикации.

Одна культура *E. herbicola* оказалась устойчивой ко всем антибиотикам, включая амикацию.

Неферментирующие грамотрицательные бактерии *A. calcoaceticus*, *F. meningosepticum*, *P. serapacia*, *P. alcaligenes* проявляют устойчивость ко всем антибиотикам, но оказались в боль-

Таблица 2

Результаты изучения чувствительности 547 культур, выделенных из крови, к антибиотикам

Антибиотик	E. aerogenes		E. cloacae		S. liquefaciens		K. pneumoniae		C. freundii		A. calcoaceticus		E. coli		F. hebicola		P. alcaligenes		P. sesapia		F. meningosepticum				
	чувствительные		выбирающие		чувствительные		выбирающие		чувствительные		выбирающие		чувствительные		выбирающие		чувствительные		выбирающие		чувствительные				
Стрептомицин	137	14	22	25	2	6	150	9	13	83	11	17	6	1	23	3	0	10	1	0	1	0	4	0	0
Левомицетин	125	11	37	25	0	0	147	10	15	82	8	21	5	0	3	26	0	0	9	2	0	1	0	0	0
Ампиллин	148	13	12	27	1	5	165	6	1	86	10	15	6	1	1	20	2	4	8	1	2	1	0	3	0
Гентамицин	98	5	70	15	2	16	138	10	24	51	10	50	3	0	5	10	0	16	0	1	10	1	0	2	4
Канамицин	161	0	12	28	0	5	166	1	5	99	4	8	5	1	2	23	2	1	0	2	9	1	0	3	0
Тетрацилин	147	0	26	26	0	7	162	5	5	82	12	17	4	0	4	22	0	4	11	0	0	1	0	4	0
Карбенициллин	122	8	43	23	2	8	162	6	4	81	6	24	0	0	0	14	0	12	7	1	3	1	0	2	4
Полимиксин	86	31	56	26	2	5	58	69	45	70	0	41	5	0	3	23	0	3	0	0	11	1	0	2	4
Амикацин	2	1	170	0	0	33	5	1	166	0	2	109	0	8	0	0	26	0	0	0	11	1	0	4	0

Таблица 1

Биологические свойства 547 идентифицированных штаммов, выделенных из крови

Тесты	E. coli		C. freundii		E. aerogenes		E. cloacae		K. pneumoniae		S. liquefaciens		A. heibacterica		P. alcaligenes		P. serovaria		F. meningosepticum	
	+	-	+	-	+	-	+	-	+	-	+	-	+	-	+	-	+	-	+	-
Оксидаза	0	11	0	8	0	173	0	33	0	111	0	172	0	0	26	4	0	4	0	4
Глюкоза-ферментация	11	0	8	0	173	0	33	0	111	0	172	0	1	0	26	0	4	0	4	0
Глюкоза-окисление	11	0	8	0	173	0	33	0	111	0	172	0	1	0	26	0	4	0	4	0
Лактоза	10	1	8	0	173	0	33	0	111	0	138	0	1	1	25	0	4	0	4	0
5% лактоза	10	1	8	0	173	0	33	0	111	0	40	132	0	1	18	8	0	4	0	4
Маннит	11	0	8	0	173	0	33	0	111	0	172	0	1	0	26	0	4	0	4	0
Сахароза	2	9	7	0	173	0	33	0	111	0	172	0	0	0	26	0	4	0	4	0
Мальтоза	11	0	8	0	173	0	33	0	111	0	172	0	0	0	26	0	4	0	4	0
Келоза	11	0	8	0	173	0	33	0	111	0	162	10	0	1	26	0	4	0	4	0
Сорбит	10	1	8	0	173	0	33	0	111	0	172	0	1	0	26	0	4	0	4	0
Арабиноза	11	0	8	0	173	0	33	0	111	0	120	52	0	0	26	0	4	0	4	0
Рамноза	11	0	8	0	173	0	33	0	111	0	172	1	0	0	26	0	4	0	4	0
Дульцит	11	0	8	0	173	20	13	80	31	0	172	0	1	0	26	0	4	0	4	0
Инозит	11	0	8	0	173	0	33	0	111	0	172	0	0	1	26	0	4	0	4	0
Лигнит Симонса	0	11	8	0	173	0	33	0	111	0	172	0	1	0	23	3	2	4	0	4
Мочевина	0	11	6	2	102	71	24	9	111	0	165	7	1	0	26	0	4	0	4	0
Сероводород	0	11	8	0	173	0	33	0	111	0	172	0	1	0	26	0	4	0	4	0
Индол	11	0	8	0	173	0	33	0	111	0	172	0	1	0	26	0	4	0	4	0
Реакция с метиловым красным	11	0	8	0	173	0	33	0	111	0	172	1	2	170	1	0	26	0	4	0
Реакция Фогеса—Прокскуэра	0	11	0	8	173	0	3	30	111	0	170	2	0	1	26	0	4	0	4	0
Декарбоксилирование аминокислот:																				
лизина	11	0	0	8	173	0	33	0	111	0	169	3	0	1	26	0	4	0	4	0
аргинина	11	0	6	2	0	173	33	0	111	0	160	12	0	1	26	4	0	4	0	4
орнитина	11	0	8	0	173	0	33	0	111	0	172	0	1	0	26	0	4	0	4	0
дезаминирование фенилаланина	0	11	0	8	0	173	33	0	111	0	172	0	1	0	26	0	4	0	4	0
разложение желатины	0	11	0	8	141	32	25	8	6	105	165	7	1	0	26	4	0	4	0	4
Молоцнат матрия	0	11	0	8	100	73	33	0	10	11	20	152	0	1	0	26	4	0	4	0
Подвижность	10	1	8	0	173	0	33	0	0	111	0	172	0	1	0	26	4	0	4	0

* + — соответствию положительная и отрицательная реакции



шинстве случаев чувствительными к гентамицину. Все штаммы неферментирующих бактерий были чувствительны к амикации.

Анализ антибиотикограмм показал, что практически все выделенные бактерии обладали множественной лекарственной устойчивостью к 2—9 препаратам. Наибольшее количество культур условнопатогенных бактерий оказались устойчивыми к шести, семи, восьми и девяти препаратам антибиотиков.

Штаммы, несущие более семи маркеров лекарственной устойчивости, преобладали среди *E. aerogenes*, *K. pneumoniae* и *S. liquefaciens*.

Штаммов, чувствительных ко всем антибиотикам, не оказалось.

Наиболее активным препаратом в отношении условно патогенных бактерий, выделенных из крови, оказалась амикацин.

Исходя из изложенного, можно считать, что изоляция и идентификация условнопатогенных грамотрицательных бактерий из крови, также как и определение чувствительности каждого изолятов к антибактериальным препаратам, имеют большое значение для проведения целенаправленной и эффективной химиотерапии и служат исходным этапом рационального эпидемиологического надзора.

ЛИТЕРАТУРА

- Миацаканов С. Г., Коцянян М. Е., Акопян Р. Г. ЖМЭИ, 8, 106—108, 1983.
- Зубков М. Н., Гнедой С. Н. ЖМЭИ, 4, 17—20, 1983.
- Об унификации методов определения чувствительности микроорганизмов к химиотерапевтическим препаратам. Приказ МЗ СССР от 13 марта 1975 г. № 250, Москва

გავმდინარეთ სიცისის დროს სისხლიდან გამოყოფილი
გრავიურულოვითი გაეტირივის პიოლოგიური თვილებისა და
ანტიბიოტიკების მიზანთ გარემონტოვანის განსაზღვრა

3. ურავილი, ლ. ვაჭვაძე, ზ. თრჯონიძე, ნ. გამცერაძე, გ. სილამაძე,
ი. დგიგუაძე

სსრკ ჯანმრთელობის დაცვის სამინისტროს ექიმთა დაწელვების თბილისის სახელმწიფო
ინსტიტუტი

რეზიუმე

547 კულტურის იდენტიფიკაციის საფუძველზე. 27 ბიოლოგიური ტესტის მიხედვით გამოყოფილი შრამები მიეკუთვნება შემდეგ სახეებს: *E. coli*, *E. aerogenes*, *E. cloacae*, *S. liquefaciens*, *K. pneumoniae*, *C. freundii*, *E. herbicola*, *A. cal-*

coaceticus, *P. alcaligenes*, *P. cepacia* и *F. meningosepticum*.

სისხლიდან გამოყოფილი ყველა პარობით პათოგენური ბაქტერიების მიმართ ყველაზე მაღალი ეფექტურობით გამოიჩინდა ამიკაციი.

CHARACTERISTICS OF BIOLOGICAL PROPERTIES AND SENSITIVITY TO ANTIBIOTICS OF GRAM-NEGATIVE BACTERIA, ISOLATED FROM THE BLOOD OF CHILDREN.



V. E. KURASHVILI, L. K. VEPKHVADZE, Z. V. ORJONIKIDZE, N. A. MAISURADZE,
M. G. SKHIRTLADZE, I. Sh. DGEBUADZE

Tbilisi State Institute of Advanced Medical Studies, USSR Ministry of Health

S u m m a r y

546 cultures of Gram-negative bacteria were isolated from children's blood. Being identified by 27 biological tests, all the isolated strains were attributed to the following species: *E. coli*; *E. aerogenes*; *E. cloacae*; *S. liquefaciens*; *K. pneumo-*

niae; *C. freundii*; *E. hericola*; *A. calcoaceticus*; *P. alcaligenes*; *P. cepacia*; *F. meningosepticum*.

Amicacin appeared to be the most effective drug against all relative-pathogenic bacteria.

УДК 615.015.1 : 612.014.24

ГЕНЕТИКА

ВЛИЯНИЕ ЭТАНОЛА НА ХРОМОСОМНЫЙ АППАРАТ ЧЕЛОВЕКА

А. И. Гогелия, Н. Ш. Тоидзе, Н. А. Джангулашвили,
М. М. Дзамашвили, М. А. Пироманишвили, Ц. Г. Мегрелишвили,
М. Ш. Брегвадзе

Тбилисский государственный медицинский институт

Поступила в редакцию 04.05.88

Исследованы хромосомные наборы культивированных лимфоцитов практически здоровых доноров, обработанных разными дозами этанола. Использованы две концентрации этанола: 0,25 и 0,5 мг/мл (с расчетом 250 и 500 мг на 100 мл культуральной среды).

При анализе учитывались aberrации как хромосомного, так и хроматидного типов, а также количественные нарушения хромосом.

Обнаружилось, что количество клеток с хромосомными aberrациями и анеупloidий при обработке лимфоцитов этанолом в концентрации 0,25 и 0,5 мг/мл не отличается от показателей контроля.

Проблема патогенеза, лечения и профилактики алкоголизма на сегодня имеет огромное практическое значение.

О том, что в патогенезе алкоголизма участвуют биологические, в том числе наследственные факторы, говорят большой клинический полиморфизм заболевания и утяжеление его у лиц с семейной отягощенностью.

Изучение мутагенного эффекта этанола проведено на разных тест-объектах. Однако имеющиеся в литературе данные о цитогенетическом действии этанола весьма ограничены и неоднозначны. Так, анализ индукции летальных мутаций и транслокаций с помощью окиси этанола у самцов мыши обнаружил увеличение частоты транслокации [8]. На грибах и растениях этанол вызывал увеличение хромосомных aberrаций и сестринских хроматидных обменов (СХО), нарушения митозов и расхождение хромосом в митозе [16]. В вышеуказанных работах в teste Эймса получены негативные результаты, как и при действии на животных. Не выявилось

увеличение количества клеток с микродрами ни при одной из доз этанола (хотя и проявилась его токсичность [19]). Негативные результаты получены также при изучении активности 2-(2,4-диаминофенокси) этанола в моче обработанных животных [5].

Выпаренные остатки некоторых алкогольных напитков в teste-системе Эймса выявляют сильный мутагенный эффект. Авторы этой работы обсуждают связь между употреблением алкогольных напитков и возникновением рака у человека [9].

Мутагенный эффект алкоголя выражен и в teste с применением *Salmonella* [21], *Dr. melanogaster* [15], а также в системе CHO/NC PPT [22].

Не обнаружено значительное увеличение числа хромосомных aberrаций в клетках костного мозга китайского хомячка после ингаляции стирена или 15%-ного этанола в питьевой воде [10].

Что касается цитогенетического эффекта алкоголя на хромосомный аппарат человека, надо отметить,



что по этому вопросу мнение авторов расходится. Так, у группы авторов [24] при исследовании кариотипов больных алкоголизмом и рабочих производства окиси этилена [23] получены негативные результаты. Однако ряд исследований выявил некоторое повышение частоты хромосомных аберраций [18].

Увеличение частоты хромосомных перестроек у больных алкоголизмом обнаружили также Оуб и Херха [17], однако в *in vitro* исследованиях получены негативные результаты. Аналогичные данные представлены у Кадоти с соавт. [7], Ристова и Оуба [20]. С другой стороны, Брегман [4] обнаружил увеличение хромосомных аберраций после обработки 1,2%-ным этанолом лимфоцитов человека. Положительные результаты получены на фибробластах человека и Майнером [13].

Повышение СХО в человеческих клетках выявляет этилгликоль [3].

Особую опасность алкоголь представляет для плода. После внутриутробного введения этанола беремен-

ным женщинам до и после родов наблюдалась медленная элиминация и биотрансформация этанола из крови матери, так и пупочной вене плода [6]. По мнению Ванер [25] алкоголизм матери в I триместр беременности вызывает структурные аномалии, тогда как во II и III триместрах — abortiones и болезни детей. Однако хромосомные исследования выявили отсутствие аномалий.

У детей, страдающих алкоголизмом родителей, повышена частота психомоторных расстройств. Этот вопрос рассматривается как следствие внутриутробного действия алкоголя на развивающуюся нервную систему, что в дальнейшем может стать причиной развития алкоголизма [12]. Тератогенный эффект этанола установили Норпа и др. [11]. Феногенетическая природа вызванных алкоголизмом аномалий и эпидемиологические исследования говорят в пользу того, что этанол является и соматическим мутагеном [20].

МАТЕРИАЛ И МЕТОДИКА

Культивирование лимфоцитов проводилось по общепринятой методике Мурхеда и соавт. [14]. Метод заключался в следующем: 10—15 мл крови заливалось в стерильные, заранее приготовленные гепаринизированные пробирки. Через 2—3 ч после оседания осторожно отсасывалась плазма с лейкоцитами и помещалась в стерильные флаконы с добавлением среды 199. К разбавленной смеси добавляли фитогеммаглютинин, смесь наливалась во флаконы и ставилась в термостат при 37°C. На 69 ч культивирования в культуру вводили колхицин — 0,4 мкг/мл, спустя 3 ч культуру центрифугировали в течение 5 мин при 1000 об/мин. Надосадочная жидкость отливалась, затем к суспензии клеток добавляли 10 мл гипотонического раствора цитрата натрия и смесь ставилась в термостат на 30 мин при 37°C. После повторного центрифугирования надосадочная жидкость выливалась и к суспензии клеток добавляли свежепри-

готовленный, охлажденный до 4°C фиксатор в количестве 5 мл. После повторной обработки фиксатором суспензия клеток разбрзгивалась на охлажденные предметные стекла с последующим поджиганием фиксатора. Препараты окрашивались по Романовскому-Гимза. Этанол вводили в культуру на 48 ч [1] на весь период культивирования, без отмыва. Использованы рабочие растворы этанола двух различных концентраций: 150 и 500 мкг на 100 мл культуральной среды. Раствор изготавливали с таким расчетом, чтобы необходимое количество этанола находилось в объеме 0,2 мл для каждой культуры объемом в 3 мл. Перед анализом все препараты зашифровывались для более объективного учета хромосомных аберраций. При анализе подсчитывалось число хромосом, отмечались следующие хромосомные аберрации: одиночные и парные фрагменты, пробелы, преждевременные расхождения [2].

РЕЗУЛЬТАТЫ ИССЛЕДОВАНИЯ И ИХ ОБСУЖДЕНИЕ



Показатели структурных и количественных нарушений хромосом при действии этанола в концентрации 0,25 мг/мл представлены в таблицах I и 2.

менным расхождением центроидов (2,3% в контроле — 1,2%).

Что касается количественных нарушений хромосом, то в основном были обнаружены метафазы с гиподи-

Таблица 1

Хромосомные нарушения, индуцированные этанолом в культуре лимфоцитов доноров *in vitro* (концентрация 0,25 мг/мл)

Количество проанализированных метафаз	Количество метафаз с аберрациями	Аберрации в %		Количество метафаз с ПРЦ в %
		одиночные фрагменты	парные фрагменты	
520	1,7 ± 0,5	1,5 ± 0,5	0,2 ± 0,1	2,3 ± 0,6
контроль 500	1,0 ± 0,4	0,8 ± 0,4	0,2 ± 0,1	1,2 ± 0,5

Таблица 2

Анеуплоидия в культуре лимфоцитов доноров *in vitro*, индуцированных этанолом (концентрация 0,25 мг/мл)

Количество проанализированных этанолом	Количество анеуплоидных метафаз	Гипоплоидные наборы в %	Гиперплоидные наборы в %
520	6,3 ± 1,0	5,9 ± 1,0	0,4 ± 0,2
контроль 500	5,8 ± 0,1	5,4 ± 1,0	0,4 ± 0,2

Таблица 3

Хромосомные нарушения, индуцированные этанолом в культуре лимфоцитов человека *in vitro* (концентрация 0,5 мг/мл)

Количество проанализированных метафаз	Количество метафаз с аберрациями в %	Аберрации		Количество метафаз
		одиночные фрагменты	парные фрагменты	
540 контроль	1,3 ± 0,4	0,9 ± 0,4	0,4 ± 0,2	2,8 ± 0,7
500	1,0 ± 0,4	0,8 ± 0,3	0,2 ± 0,2	1,2 ± 0,5

В спектре нарушений хромосомных наборов встречались в основном клетки с фрагментами (одиночные — 1,5%, парные — 0,2%). Однако эти показатели, причем как и общее количество aberrантных метафаз (1,7%), не превышали контрольный уровень.

Иключение составило сравнительное повышение клеток с преждевре-

плоидными наборами. Однако количественные показатели анеуплоидных метафаз (6,3%; 5,9% и 0,4%) не превышали соответствующие показатели контрольных данных (5,8%; 5,4% и 0,4%).

Данные о структурных и количественных изменениях хромосом при введении этанола в концентрации 0,5 мг/мл представлены в таблицах 3 и 4.

Анеуплоидия в культуре лимфоцитов человека *in vitro*, индуцированная этанолом (концентрация 0,5 мг/мл)

Количество проанализированных метафаз	Количество метафаз с анеуплоидией в %	Гиподиплоидные наборы в %	Гиперпloidные наборы в %
540 контроль	5,8±1,0	5,7±0,9	0,1±0,1
500	5,8±0,1	5,4±1,0	0,4±0,2

Как видно из табл. 3, выявились в основном клетки с одиночными и парными фрагментами (общее количество 1,3%), которые не превышают контрольный уровень. При введении этанола в концентрации 0,5 мг/мл сравнительно в повышенном количестве определились только клетки с преждевременным расхождением центромер (2,8%; в контроле — 1,2%).

Из 540 проанализированных метафаз 32 оказались анеуплоидными (5,8%). В основном обнаружились клетки с гиподиплоидными наборами (5,7%). Однако эти показатели не превышали соответствующих показателей в контроле.

Таким образом, этанол при введении в культуру лимфоцитов человека в концентрации 0,25 мг/мл не выявляет мутагенный эффект, а при введении в концентрации 0,5 мг/мл наблюдаются изменения в хромосомных наборах, достоверно не отличающиеся от контрольных показателей.

Исходя из того, что при изучении хромосомных наборов у больных алкоголизмом выявились хромосомные перестройки, а в опытах *in vitro* этанол не выявляет цитогенетический эффект, можно предложить, что не сам этанол, а его метаболит — ацетальдегид — является мутагеном.

ЛИТЕРАТУРА

- Гринберг К. Н. Исследование цитогенетического действия некоторых метаболитов. Автореф. канд. дисс., М., 1971.
- Метод учета хромосомных aberrаций как биологический индикатор влияния факторов внешней среды на человека. Методические рекомендации, М., 1974.
- Alvarez M. R., Cimino L. E., Cory M. J., Gordon R. E. *Cytogenet. Cell Genet.*, 27, 66—69, 1980.
- Bregman A. *Environ. Mutagen Soc. Newslett.*, 4, 35—36, 1971.
- Brusick D. J., Jagannath D. R., Metheson D. *Mutat. Res.*, 102, 4, 361—372, 1982.
- Brzecka K., Wachnik S., Wierunski J. *Probl. Alkoholizmu*, 24, 2, 5—6, 1977.
- Cadotte M., Allard S., Verdy M. *Annals Genet.*, 16, 55—56, 1973.
- Generoso N. M., Sheu C. W., Cryder R. M. *Environ. Mutagens*, 2, 2, 252—253, 1980.
- Hagao M., Tikhashu Y., Wakabayashi K., Sugimura T. *Mutat. Res.*, 102, 4, 361—372, 1982.
- Hanson J., Jones K., Smith D. *JAMA*, 235, 1458—1460, 1976.
- Nogrpa H., Sopia M., Vainio H. *Toxicology Letters*, 5, 241—244, 1980.
- Madden J. J., Donahoe R. M., Smith I. E., Martinson D. E., Moss-Wells S., Klein L. *Clin. Immun. and Immunopathol.*, 33, 1, 67—75, 1984.
- Meisner L., Inhorn S. *Environ. Mutagen Soc. Newslett.*, 4, 35—36, 1971.
- Moorhead P. S., Nowell P. G., Mellmann W. S. *Exp. Cell Res.*, 20, 3, 613—616, 1960.
- Oakeshott S. A., Aibson S. B. Wilson S. R. *Heredity*, 53, 1, 51—67, 1984.
- Obe G. In: *Animal models in alcohol research*, 371—391, 1980.
- Obe G., Hegha J. *Humangenetik*, 29, 191—200, 1975.

18. Persky H., O'Brien C. P., Fine E., Howara W. S., Khan M., Beck R. W. Amer. J. Psychiat., 134, 6, 621—625, 1977.
19. Richardson J. C., Richold M. Mutat. Res., 102, 4, 357—360, 1982.
20. Ristow H., Obe G. Environ. Mutagen. Soc. News., 4, 35—36, 1971.
21. Stoltz D. R., Stavric R., Klassen K., Bendall K., Sunkins B. Environ. Mutagens, 2, 2, 235, 1980.
22. Tan E., Cumming R. B., Hsieh A. W. Environ. Mutagens, 3, 6, 683—689, 1981.
23. Van Sittert N. S., DeLong M. G., Davies R., Dean B. S., Wren L. S., Wright A. S., Brit. J. Int. Med., 42, 1, 19—26, 1985.
24. Wahlström J., Forssman H., Åkessson H. O. Humangenetik, 9, 1, 105—106, 1970.
25. Warner R. H., Rosett H. L. J. Stud. Alcohol., 36, 11, 1395—1420, 1975.

ეთანოლის გავლენა ადამიანის რომოსობულ აპარატზე

ა. გოგელია, ნ. თოიძე, ნ. ჯანგულაშვილი, მ. ძამაშვილი, მ. ბერიძე, მ. მეგრელიშვილი, მ. ბრეგვაძე

თბილისის სახელმწიფო სამედიცინო ინსტიტუტი

რეზიუმე

გამოკვლეულია ეთანოლის სხვადასხვადონებით დამუშევებული პრექტიცული დანმრთელი დონორების ლიმფოციტების ქრომოსომული პარატი. გამოყენებულია ეთანოლის ორი კონცენტრაცია: 0.5 და 0.25 v/v (500 და 250 მგ ეთანოლი 100 მლ კულტურალურ არეზე).

გაანალიზებულია როგორც ქრომისო-

მული და ქრომიტიდული პერიციები. მეცნიერებისამათ რიცხობრივი დარღვევები.

აღმოჩნდა, რომ პერიციების და ანეუპლოდის რიცხობრივი მაჩვენებლები 0.25 და 0.5 v/v ეთანოლით ლიმფოციტების დამუშავების შედეგად არ იღებარება საკონტროლო მონაცემებს.

INFLUENCE OF ETHANOL ON THE CHROMOSOME APPARATUS IN MAN

A. I. GOGELIA, N. Sh. TOIDZE, N. A. JANGULASHVILI, M. M. DZAMASHVILI,
M. A. PIROSMANISHVILI, Ts. G. MEGRELIASHVILI, M. A. BREGVADZE

Tbilisi, State Medical Institute, USSR

Summary

Chromosome sets of cultivated lymphocytes from healthy donors given various doses of ethanol were studied. Blood of donors not treated with ethanol served as control. Two concentrations of ethanol were used: 0.25 and 0.5 %/v.

Aberrations of chromatid and chromo-

somal type, as well as those of chromosome number were considered.

The number of cells with chromosome aberrations and aneuploidy did not increase when affected by various concentrations of ethanol.

УДК 612.11

КРАТКОЕ СООБЩЕНИЕ

ИДЕНТИФИКАЦИЯ ТЕПЛОВЫХ ПЕРЕХОДОВ В МЕМБРАНАХ ЭРИТРОЦИТОВ КРЫС

Ц. Х. Салия, Г. Г. Жадан, В. Л. Шныров

Тбилисский институт усовершенствования врачей МЗ СССР

Институт Биологической физики АН СССР, Пущино

Поступила в редакцию 10.05.88

Сканирующая микрокалориметрия позволяет выделить 4—5 тепловых переходов, претерпеваемых эритроцитарными мембранными крыс в температурном диапазоне от 40 до 90°C [5; 3]. Каждый из этих переходов появляется в результате тепловой инактивации (денатурации) кооперативных единиц мембранны. Отдельные переходы можно соотнести с определенными структурами путем направленной химической и/или ферментативной модификации эритроцитарной мембранны [5]. Однако в этом варианте всегда остается вероятность неоднозначного отнесения, так как при любом воздействии можно ожидать нарушения системы взаимодействий, поддерживающих целостность интактной мембранны, и предсказать заведомо последствия такого нарушения не всегда удается.

Сама по себе микрокалориметрия не способна ответить на вопрос, какие мембранные компоненты включаются в тот или иной тепловой переход. Поскольку эта проблема имеет большое значение в связи с все возрастающим интересом к природе нарушений, имеющих место в мембранных при некоторых видах генетически обусловленных заболеваний [2], в настоящей работе мы предлагаем адекватный подход для ее решения. Он заключается в применении метода «термо-гель-анализа» (ТГА) [4]. Суть этого метода для исследуемой системы коротко можно сформулировать следующим образом. При нагрев-

ании в зоне температуры денатурации белка, выделенной из этой системы, происходит «разрыхление» его структуры, приводящее при нейтральных значениях pH к разрыву внутримолекулярных дисульфидных связей и образованию поперечных сшивок между белковыми молекулами. Это в свою очередь приводит к образованию агрегатов, которые в случае солюбилизации без дитиотретиола или других реагентов, разрушающих дисульфидные связи, не будут входить в гель при электрофорезе из-за большого молекулярного веса. Таким образом, по исчезновению полосы в электрофотограмме можно судить о белке, претерпевшем в данной температурной области конформационные изменения. Более подробно существование метода и его приложение к биологическим мембранным описаны в трудах Лиско и Шнырова [4, 6].

В работе использовали кровь 10—12-недельных крыс линии Wistar, взятую непосредственно перед опытом из бифуркации брюшной аорты наркотизированных эфиром животных. Плазматические мембранны эритроцитов получали по методу, описанному ранее [1]. Измерение теплоемкости проводили на дифференциальном сканирующем микрокалориметре ДАСМ-4 (СКБ БП АН СССР) [3]. Электрофорез в присутствии додецилсульфата натрия проводили в плоском блоке с градиентом плотности полиакриламида 5—15%. Для проведения электрофореза эритроцитарные мембранны со-

любилизировали в буфере (0,02 М Трис; 0,002 М этилендиаминтетрауксусная кислота; 10%-ный глицерин; 0,2%-ный додецилсульфат натрия и 0,001%-ный бромфеноловый синий). После окончания электрофоретического разделения мембранных белков гели в течение ночи фиксировали в 20%-ной трихлоруксусной кислоте, затем их окрашивали в 0,1% Кумаси Р-250, в растворе, состоящем из 4 частей этанола, 1 части уксусной кислоты и 5 частей воды (по объему) с 2% глицерина в течение 3 часов. Отмывали гели 7%-ной уксусной кислотой с 50%-ной добавкой этанола в течение 30 ч. Гели сканировали на автоматическом денситометре ДСА-1 (СКБ БП АН СССР). Для ТГА аликовты

ном отношении 1:2 и проводили электрофорез. Концентрация эритроцитарных мембран во всех опытах была 4–8 мг/мл.

На рис. 1 приведены денситограммы гель-электрофореза эритроцитарных мембран крысы, нагретых до различных температур в 20 мМ фосфата натрия при pH 7,45, перед тем как они были растворены в солюбилизирующем буфере для электрофореза без дитиотрейтоля. Денситограммы не изменяются вплоть до температуры 45°C. При нагревании от 45 до 55°C происходит агрегирование белков, представляемых в денситограммах набором полос между элек-

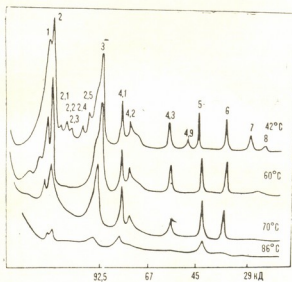


Рис. 1. Денситограммы гель-электрофореза эритроцитарных мембран крысы, нагретых перед солюбилизацией до различных температур в 20 мМ фосфата натрия, pH 7,45

эритроцитарных мембран по 50–100 мкл помещали в герметично закрывающие пробирки. Эти пробирки устанавливали в водяной бане, где они нагревались со скоростью 1 K/мин. В процессе эксперимента при определенных температурах пробирки последовательно вынимали и охлаждали до комнатной температуры. Затем их помещали на 10–12 ч в холодильник (4–6°C), после чего мембранные аликовты солюбилизировали в объем-

трофоретическими полосами 2 и 3 (здесь мы придерживаемся номенклатуры полос, предложенной Стеком [7] для эритроцитарных мембран человека). Дальнейшее нагревание приводит к уменьшению интенсивности в температурном диапазоне 55–70°C полос 1, 2 и 3. Целая группа полос исчезает в денситограммах при нагревании мембранный супензии выше 70°C. Относительные площади для

всех, определяемых электрофоретически полос, как функции температуры, до которой были нагреты мембранны, представлены на рис. 2. Из данных этого рисунка следует, что при температуре около 50°C происходит денатурация анкирина (полоса 2,1) и других белков с относительными молекулярными массами от 100 до 220 кД (полосы 2,2—2,5). Спектриновый комплекс эритроцитарных мембран крысы денатурирует при более высоких температурах: температура полупревращения по данным ТГА составляет 60 и 65°C соответственно для полос 1 и 2. С помощью ТГА удалось определить белки, денатурирующие в высокотемпературной зоне. Для всех белков эритроцитарных мембран крысы величина превращения (исчезновения) электрофоретических полос была не менее 80%.

Полученные в настоящей работе результаты в сравнении с подобными данными для эритроцитарных мембран человека [4] позволяют сделать очень важный вывод о том, что нель-

зя только на основании функционального сходства мембран говорить об их структурном сходстве.

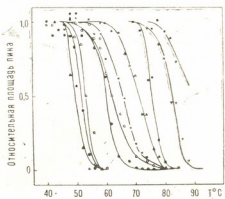


Рис. 2. Относительные изменения площади пиков на денситограммах электрофоретического разделения белков эритроцитарных мембран крысы как функции температуры, до которой мембранны были нагреты в 20 мМ фосфата натрия, pH 7,45. Полосы: 1—●, 2—×, 2,1—▲, 2,2—▲, 2,3—○, 2,4—□, 2,5—○, 3—○, 4,1—Δ, 4,2—Δ, 4,3—Δ, 4,9—□, 5—□, 6—■, 7—○, 8—▲

ЛИТЕРАТУРА

- Гулак П. В., Орлов С. Н., Шныров В. Л., Орлов Н. Я., Литвинов И. С., Покудин Н. И., Постнов Ю. В. Кардиология, 23, 43—48, 1983.
- Постнов Ю. В., Орлов С. Н. Первичная гипертензия как патология клеточных мембран, «Медицина», М., 1987.
- Салия Ц. Х., Жадан Г. Г., Пермяков Е. А., Шныров В. Л. Изв. АН ГССР, сер. биол., 14, 57—61, 1988.
- Lysko K. A., Carlson R., Taverna R., Snow J., Brandts J. F. Biochemistry, 20, 5570—5576, 1981.
- Shnygov V. L., Salia Ts. H., Zhdan G. G., Permyakov E. A. Biomed. Biochim. Acta, 45, 1111—1119, 1986.
- Shnygov V. L., Berman A. L. Biomed. Biochim. Acta, 47, 355—362, 1988.
- Steck T. L. J. Cell Biol., 62, 1—19, 1974.

სითბურ განლაპანათა იდენტიფიკაცია ვიწოდვის მრიობობით შე მემბრანებზე

ვ. დალია, გ. ჩაქანი, ვ. უნიკოვი

სსრ ჯამშოւლობის დაცვის სამინისტროს თბილისის ექიმთა დახმარების სახელმწიფო
ინსტიტუტი
სსრ მეცნიერებათა აკადემიის ბიოლოგიური ფიზიკის ინსტიტუტი, ქ. ბურშინი

რეზიუმე

თერმო-გელ-ანალიზის მეთოდით გან-
სახლვრულ იქნა კირთაგვების ერთორ-
ციტთა პლაზმური მემბრანების ძირითადა

ცილიური კომპონენტების დენატურაციის
სითბური დიაპაზონები.

IDENTIFICATION OF THERMAL TRANSITIONS IN RAT ERYTHROCYTE
MEMBRANES



Ts. Kh. SALIA, G. G. ZHADAN, V. L. SHNYROV

Institute for Advanced Medical Training, USSR Ministry of Public Health, Tbilisi, USSR
Institute of Biological Physics, USSR Academy of Sciences, Pushchino, USSR

S u m m a r y

Regions of thermal denaturation of been revealed by means of thermal gel the main protein components in plasma- analysis.
tic membranes of rat erythrocytes have

УКАЗАТЕЛЬ АВТОРОВ ПЯТНАДЦАТОГО ТОМА

А

- Абуладзе Г. В. — № 2, 141
 Агладзе А. Г. — № 1, 28
 Адеишвили Т. Ш. — № 2, 131
 Алексеев А. А. — № 1, 64
 Амиранидзе М. В. — № 5, 302
 Амирян Н. Б. — № 6, 384
 Анели Дж. Н. — № 2, 105; № 5, 323
 Анели Дж. Н. — № 2, 105; № 5, 323
 Анели Н. А. — № 2, 105; № 5, 323
 Ахалкаци М. Ш. — № 4, 164
 Ахобадзе Н. Д. — № 5, 317

Б

- Баазов Д. И. — № 1, 46; № 2, 115
 Бабакишвили Г. М. — № 3, 210
 Бабухадиа В. Д. — № 3, 200
 Барабадзе К. Н. — № 5, 307
 Барбакадзе В. В. — № 4, 200
 Бахуташвили В. И. — № 3, 205
 Бегишвили Т. Т. — № 4, 190
 Бежитадзе М. О. — № 3, 210
 Белоиняненко Н. И. — № 3, 167
 Беридзе М. В. — № 4, 164
 Бокочадзе Н. Н. — № 3, 195
 Бочоришвили Г. Г. — № 3, 182
 Бочоришвили Р. Г. — № 6, 365
 Брегвадзе И. А. — № 1, 35
 Брегвадзе М. Ш. — № 6, 421
 Бурджанадзе Т. В. — № 3, 210
 Бурчуладзе М. Г. — № 6, 375
 Буфиус Н. Н. — № 6, 375

В

- Вадачкория Г. А. — № 6, 384
 Вадачкория Н. Р. — № 5, 357
 Вантов М. — № 4, 211
 Василидзе Т. В. — № 1, 22
 Вараззанашвили Н. Д. — № 5, 350
 Вачнадзе В. Ю. — № 2, 105
 Векуа М. Г. — № 2, 100
 Вепхвадзе Л. К. — № 6, 415

Г

- Галатенко Н. А. — № 6, 375
 Гахокидзе Р. А. — № 4, 200
 Гачечиладзе К. К. — № 4, 179
 Гачечиладзе М. И. — № 4, 169
 Гваладзе Г. Е. — № 2, 110; № 4, 164
 Гвахария М. О. — № 2, 124
 Георгадзе И. И. — № 2, 120
 Герсамия Л. В. — № 4, 149
 Гигинейшвили Ц. В. — № 1, 35
 Гиоргадзе А. Г. — № 3, 210
 Гогберашвили К. Я. — № 4, 154

Гогелия А. И. — № 6, 421

- Говардовский В. И. — № 6, 408
 Горгадзе Т. В. — № 1, 5
 Гоциридзе Е. Г. — № 5, 312
 Гугушвили М. Л. — № 3, 149
 Гуния М. Г. — № 5, 340
 Гучуа Э. И. — № 6, 394

Д

- Давитая К. П. — № 2, 141
 Давлианидзе Г. Р. — № 3, 149
 Дамянова Г. — № 4, 211
 Дараселия Г. Я. — № 1, 61
 Дгебуадзе И. Ш. — № 6, 415
 Джагаров Д. Э. — № 5, 350
 Джангулашвили Н. А. — № 6, 421
 Джанелидзе И. В. — № 3, 200
 Джариашвили Т. Я. — № 4, 159; № 5, 312
 Джохадзе Д. И. — № 6, 389
 Дзамашвили М. М. — № 6, 421
 Дзамоева Э. И. — № 3, 173
 Диgidимова Е. В. — № 1, 35

И

- Иоселиани Г. Д. — № 6, 365

Ж

- Жгенти Ц. Я. — № 2, 85; № 3, 156
 Жвания М. Г. — № 2, 90
 Жадан Г. Г. — № 6, 426

З

- Заалишвили Э. А. — № 1, 42
 Заркуа М. З. — № 1, 50
 Зурабашвили Зиг. А. — № 2, 95
 Заалишвили М. М. — № 3, 195; № 4, 205
 Запрянова Л. — № 4, 211

К

- Калайчева М. Ф. — № 5, 357
 Карсанов Н. В. — № 5, 350; № 6, 394
 Кафаров Р. С. — № 1, 64
 Кацарава Р. Д. — № 6, 375
 Кацарава Т. К. — № 2, 127; № 4, 196
 Кванталиани И. В. — № 1, 56
 Квеситадзе Э. Г. — № 3, 188
 Керкадзе Л. А. — № 4, 154
 Кикабидзе К. Г. — № 6, 372
 Кикнадзе Г. И. — № 3, 173
 Киласония Л. О. — № 5, 340
 Кирмелашивили Л. И. — № 6, 375
 Кипшидзе Н. Н. — № 6, 394
 Кобаладзе Т. А. — № 5, 323
 Кобахидзе Л. А. — № 4, 169
 Кометиани З. П. — № 2, 100; № 4, 159;
 № 5, 312



- Коничек И. — № 1, 61
Коничкова-Радохова М. — № 1, 61
Коркашвили Т. Ш. — № 5, 323
Корсантия Б. М. — № 3, 205
Кордзая Д. Д. — № 3, 162
Криалашвили Л. Г. — № 2, 110
Курашвили В. Е. — № 5, 328; № 6, 415
Курашвили Н. В. — № 2, 120
Курбанова И. М. — № 1, 50
Куридзе К. Ш. — № 3, 195
Кутателиадзе Т. Н. — № 5, 328
- Л**
Лазриев И. Л. — № 3, 173
Ломинадзе Т. А. — № 1, 56
Ломиташвили Т. В. — № 3, 188
Лукина Н. Ю. — № 2, 127; № 4, 196
- М**
Маисая И. И. — № 4, 169
Майсурадзе М. З. — № 2, 141
Майсурадзе Н. А. — № 6, 415
Мамаладзе Н. В. — № 4, 200
Мамиконян В. С. — № 5, 328
Марсагишивили Г. А. — № 1, 18
Марченко И. Д. — № 1, 64
Мачитадзе Т. Н. — № 6, 394
Мегрелишвили Ц. Г. — № 6, 421
Меликишвили М. Ш. — № 4, 205
Месхишвили И. И. — № 1, 11; № 2, 77
Мечков К. — № 4, 211
Мжавания И. А. — № 1, 5
Микадзе Г. В. — № 4, 205
Миркеладзе Д. Г. — № 1, 42
Милков В. — № 4, 211
Михельсон В. М. — № 4, 196
Муджири М. М. — № 2, 105
Мусеридзе Д. П. — № 1, 35
Мусхелишвили Л. В. — № 3, 178; № 5, 332
- Н**
Надарейшвили К. Ш. № 1, 11; № 2, 77; № 5, 293
Нацашвили Э. Я. — № 5, 345
Нергадзе С. Г. — № 2, 127; № 4, 196
- О**
Окрибелашвили Н. Д. — № 2, 95
Окуджава В. М. — № 1, 5; № 5, 317
Окуджава Н. М. — № 3, 205
Орджоникидзе З. В. — № 6, 421
Ортоидзе Т. В. — № 1, 64
Очерашвили И. В. — № 6, 372
- П**
Пагава К. И. — № 4, 154
Пирашвили К. Н. — № 1, 28
Пиромсанишвили М. А. — № 6, 421
Пирцхелани А. Г. — № 4, 200
Полянская И. С. — № 5, 340
Портной В. Н. — № 1, 18
Пхакадзе Г. А. — № 6, 375
Пхачиашвили С. Ш. — № 1, 46

- Р**
Раздолльский А. С. — № 1, 18
Русия Л. И. — № 3, 195
- С**
Салакая Р. Г. — № 6, 384
Салия Ц. Х. — № 6, 426
Самадашвили З. В. — № 3, 149; № 6, 372
Самхарадзе Н. Г. — № 5, 345
Санадзе Г. А. — № 1, 46; № 2, 115
Сандодзе В. Я. — № 1, 18
Сванидзе И. К. — № 1, 35
Силагадзе Д. Г. — № 1, 28
Симонидзе М. Ш. — № 3, 195
Симония Г. Г. — № 2, 131
Собчинская Н. М. — № 1, 42
Соломония Д. Г. — № 1, 42
Сургуладзе Т. Т. — № 4, 205
Схиртладзе А. Д. № 2, 141
Схиртладзе М. Т. — № 6, 415
- Т**
Тевзадзе Н. Н. — № 6, 389
Тогошвили Р. Г. — № 2, 120
Тойндзе Н. Ш. — № 6, 421
Топурния И. В. — № 1, 28
Тотибадзе Н. К. — № 3, 167
- У**
Урушадзе З. Д. — № 2, 135
- Х**
Харадзе Д. П. — № 6, 375
Хачапуридзе Г. Г. — № 2, 127; № 4, 198
Хецуруни Н. Г. — № 2, 124
Хечинашвили Г. Н. — № 4, 190
Хундадзе М. Л. — № 1, 22
- Ц**
Цаишвили Ц. С. — № 1, 35
Цакадзе Л. Г. — № 2, 100; № 4, 159; № 5, 312
Цикаришвили Н. В. — № 6, 380
Цинцадзе М. А. — № 2, 127
Цинцадзе О. В. — № 6, 384
- Ш**
Шабуришвили Т. Ш. — № 2, 95
Шарикадзе М. З. — № 1, 56
Шныров В. Л. — № 6, 426
- Ч**
Чанишвили Т. Г. — № 4, 179
Чаикветадзе Б. Г. — № 5, 317
Челидзе Л. Н. — № 5, 357
Челидзе Л. Т. — № 4, 174
Челидзе П. В. — № 1, 28
Читая Т. П. — № 5, 293
Чхенидзе М. О. — № 6, 384
Чхенидзе Н. И. — № 6, 408
- Э**
Эдилашвили Л. А. — № 6, 375
- Я**
Язловский В. В. — № 5, 340

Известия АН ГССР, серия биологическая
(на русском, грузинском и английском языках)

Корректор Д. Р. Арчадзе

Сдано в набор 14.07.89; Подписано в печать 15.11.89. УЭ 04479.

Формат бумаги 70×108²/16. Бумага № 1. Высокая печать.

6,7 ус.-печ. л. 7,23 кр.-отт. 5,5 уч.-изд. л.

Тираж 1000 экз. Заказ 1997.

Цена 85 коп.

გამომუშავობა „მეცნიერება“, თბილისი, 380060, კუტუზოვის ქ. 19.
Издательство «Мецнериба», Тбилиси, 380060, ул. Кутузова, 19

საქართველოს სსრ მეცნიერება, გეოდეზიის სტანდა, თბილისი, 380060, კუტუზოვის ქ., 19
Типография АН Грузинской ССР, Тбилиси, 380060, ул. Кутузова, 19

Цена 85 коп.

665/4

Индекс

